

radio und fernsehen

Zeitschrift für Radio · Fernsehen · Elektroakustik und Elektronik

Bauanleitung: Abstimmbarer
Pentodenmultivibrator

PREIS DM 2,00 · 11. JAHRGANG

VERLAGSPOSTORT LEIPZIG · FÜR DBR BERLIN

JANUAR 1962

1

10 JAHRE
radio und fernsehen



VEB VERLAG TECHNIK · BERLIN



AUS DEM INHALT

Nachrichten und Kurzberichte	2
Dr.-Ing. P. Neidhardt Nach der „Apfel“-Röhre nun die „Bananen“-Röhre für Farbfernseh-Bildwiedergabe?	4
Inge Bornemann Technologische Sonderprobleme bei Bildröhren für das Farbfernsehen	7
N. Pudollek Farbfernsehen, Teil 3 und Schluß	10
Rolf Anders 50-Hz-Generator für das Tonbandgerät BG 23	13
Dipl.-Ing. H. Albrecht Berechnung gegengekoppelter Transistoren mit Vierpolmatrizen	14
Dipl.-Phys. U. Tarnick und Ing. W. Denda Kurzschlußprüfungen an Transistoren	16
Hagen Jakubaschk Batterie lose Transistorenempfänger	17
Halbleiterinformationen (28) Germanium-pnp-Flächentransistoren OC 825, OC 826 und OC 827	19
Siegmar Henschel Verstärkerumschalter zur Sichtbarmachung zweier Vorgänge mit einem Einstrahloszillografen	21
Gotthard Werner Bauanleitung: Abstimmbare Pentodenmultivibrator	24
Peter Fahrenberg Berechnung eines einfachen Siebgliedes mit hohem Siebfaktor	27

VEB VERLAG TECHNIK

Verlagsleiter: Dipl. oec. Herbert Sandig
Berlin C2, Oranienburger Straße 13/14.
Telefon 42 00 19, Fernverkehr 42 33 91, Fern-
schreiber 0114 41 Technikammer Berlin (Technik-
verlag), Telegrammadr.: Technikverlag Berlin
radio und fernsehen
Verantw. Redakteur: Dipl.oec. Peter Schäffer
Redakteure: Adelheid Blodszun, Ing. Karl Bel-
ter, Ing. Horst Jancke, Ing. Oswald Orlik
Veröffentlicht unter ZLN 5227 der DDR

Alleinige Anzeigenannahme:

DEWAG-WERBUNG BERLIN, Berlin C2,
Rosenthaler Str. 28/31 u. alle DEWAG-Betriebe
in den Bezirksstädten der Deutschen Demo-
kratischen Republik. Gültige Preisliste Nr. 1
Druck: Tribüne Druckerei Leipzig III/18/36
Alle Rechte vorbehalten. Auszüge, Referate und
Besprechungen sind nur mit voller Quellen-
angabe zulässig.
Erscheint zweimal im Monat, Einzelheft 2,—DM

OBSAH

Oznámení a zprávy	2
Dr.-Ing. P. Neidhardt Po obrazovce pro barevnou televizi typu „apple“ nyní obrazovka typu „banana“?	4
Inge Bornemann Zvláštní technologické problémy u obrazovek pro barevnou televizi	7
N. Pudollek Barevná televize (část 3 a závěr)	10
Rolf Anders 50-Hz-generátor pro magnetofón BG 23	13
Dipl.-Ing. H. Albrecht Výpočet tranzistorových stupňů se zápornou zpětnou vazbou pomocí čtyřpólových matic	14
Dipl.-Phys. U. Tarnick a Ing. W. Denda Zkratové zkoušky tranzistorů	16
Hagen Jakubaschk Tranzistorové přijímače bez napájecích zdrojů	17
Informace o polovodičích (28) Germaniové plošné tranzistory typu p-n-p: OC 825, OC 826, OC 827	19
Siegmar Henschel Elektronický přepínač pro účely zobrazení dvou záznamů na jednopaprskové obrazovce	21
Gotthard Werner Stavební návod: laditelný multivibrátor s pentodami	24
Peter Fahrenberg Výpočet jednoduchého filtračního členu s velkým filtračním činitelem	27

Bestellungen nehmen entgegen

Deutsche Demokratische Republik: Sämtliche Postämter, der örtliche Buchhandel, die Beauftragten der
Zeitschriftenwerbung des Postzeitungsvertriebes und der Verlag
Deutsche Bundesrepublik: Sämtliche Postämter, der örtliche Buchhandel und der Verlag
Auslieferung über HELIOS Literatur-Vertriebs-GmbH, Berlin-Borsigwalde, Eichborndamm 141—167

Ausland:

Volksrepublik Albanien: Ndermarja Shetnore Botimeve, Tirana
Volksrepublik Bulgarien: Direktion R. E. P., Sofia, 11 a, Rue Paris
Volksrepublik China: Guozi Shudian, Peking, 38, Suchou Hutung
Volksrepublik Polen: P.P.K. Ruch, Warszawa, Wilcza 46
Rumänische Volksrepublik: Directia Generala a Postei si Difuzarii Presei Politic Administrative C. F. R. Bukarest
Tschechoslowakische Sozialistische Republik: Orbis Zeitungsvertrieb, Praha XII, Stalinova 46 und
Bratislava, Leningradská ul 14
UdSSR: Die städtischen Abteilungen „Sojuspechatij“, Postämter und Bezirkspoststellen
Ungarische Volksrepublik: „Kultura“ Könyv és hírlap külkereskedelmi vállalat, P. O. B. 149, Budapest 62
Für alle anderen Länder: VEB Verlag Technik, Berlin C2, Oranienburger Straße 13/14

СОДЕРЖАНИЕ

Известия и краткие сообщения	2
Д-р техн. наук П. Нейдхард После «яблочного» кинескопа теперь «банановый» кинескоп для цветного телевидения?	4
Инге Борнеман Специальные технологические проблемы кинескопов для цветного телевидения	7
Н. Пудоллек Цветное телевидение, ч. 3-я и окончание	10
Рольф Андерс Генератор с частотой 50 гц для магнитофона BG 23	13
Диплом-инж. Г. Альбрехт Матричный расчет транзисторов с отрицательной обратной связью	14
Диплом-физик У. Тарник и инж. В. Денда Испытание транзисторов при коротком замыкании	16
Гаген Якубашк Безбатарейные транзисторные приемники	17
Информация о полупроводниковых приборах (28) Германиевые плоскостные транзисторы р-п-р-типа OC 825, OC 826 и OC 827	19
Сигмар Хеншель Усилитель-коммутатор для наблюдения двух процессов на однолучевом осциллографе	21
Готхард Вернер Самодельный настраиваемый мультивибратор на пентоде	24
Петер Фаренберг Расчет простого фильтра с большим коэффициентом фильтрации	27

CONTENTS

Information and Reports

Dr.-Ing. P. Neidhardt
**Colour Television Picture Reproduction:
 After the "Apple" Tube now
 the "Banana" Tube?** 4

Inge Bornemann
**Some Special Technological Problems
 of Colour Television Picture Tubes** 7

N. Pudollek
Colour Television (Part 3 and End) 10

Rolf Anders
**50-c/s-Generator
 for the Tape Recorder BG 23** 13

Dipl.-Ing. H. Albrecht
**The Calculation of a
 Transistorized Negative Feedback Circuit
 Using Four-Pole Matrix Calculus** 14

Dipl.-Phys. U. Tarnick and
 Ing. W. Denda
Short-Circuit Tests As Applied to Transistors 16

Hagen Jakubaschk
Transistorized Receivers Without Battery 17

Semiconductor Informations (28)
**Germanium pnp Junction Transistors
 OC 825, OC 826 and OC 827** 19

Siegmar Henschel
**Amplifier Change-Over Arrangement
 To Make Two Processes Visible on a
 Single-Ray Oscillograph** 21

Gothard Werner
**Instruction for Construction:
 Tunable Pentode Multivibrator** 24

Peter Fahrenberg
**Calculation of a Simple Smoothing Filter
 With High Filtering Factor** 27



Titelbild:

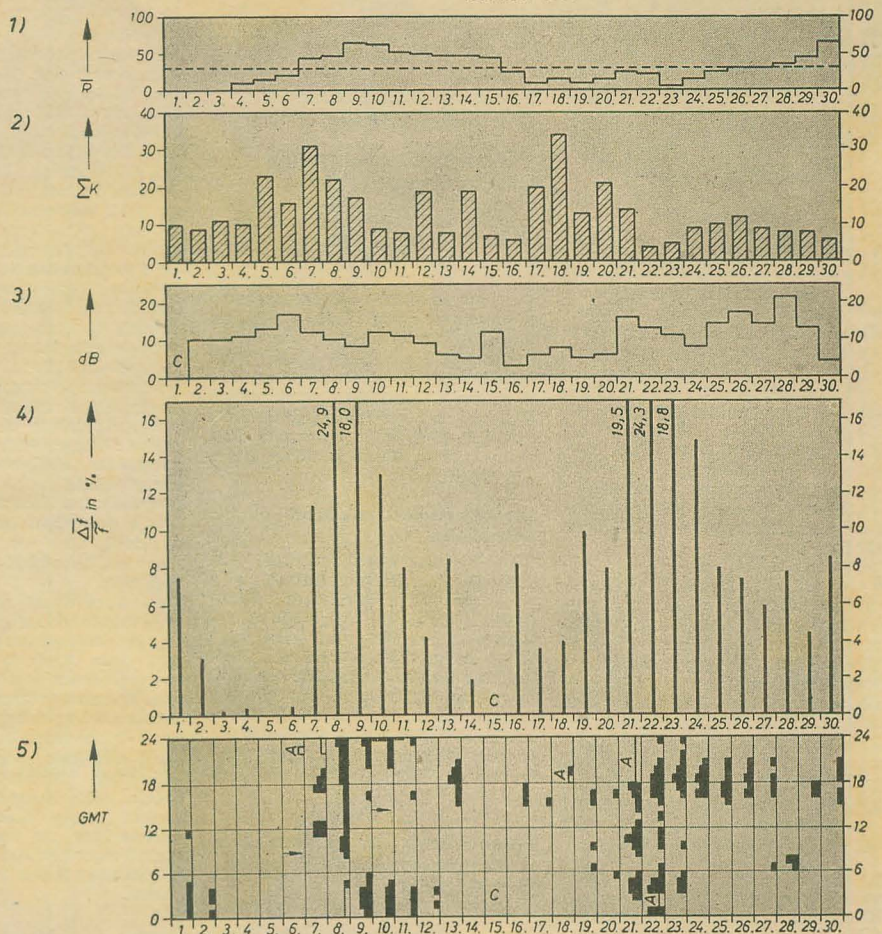
Unser
 Fräulein Titelbild
 blätterte bei die-
 sem Schnapp-
 schuß in zehn
 Jahrgängen
 radio und
 fernsehen.
 Welche Erinne-
 rungen uns dabei
 kamen, lesen Sie
 auf Seite 6.

Foto: H. Blunck

Die KW-Ausbreitung im Nov. 1961 und Vorschau für Januar 1962

Herausgegeben vom Heinrich-Hertz-Institut der Deutschen Akademie der Wissenschaften zu Berlin

November 1961

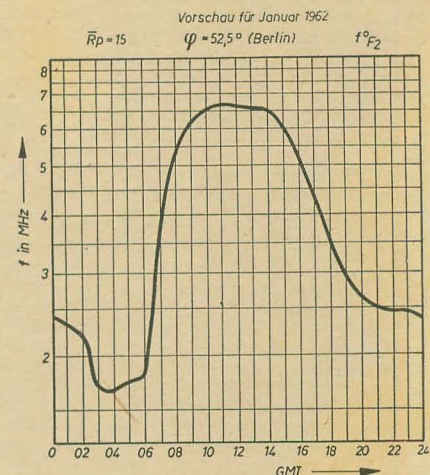


- 1) Sonnenfleckenzahlen (Zürich)
- 2) Tagessumme der erdmagnetischen Kennziffern (Wingst)
- 3) Mittagsdämpfung auf 3,86 MHz
 C = Geräte störung, A = Abdeckung, F = Streuung
- 4) Tagesmittel des relativen Abfalls der F_2 -Grenz-
 frequenzen (Juliusruh/Rügen)
 $\Delta f = \bar{f} - f_m$ für $\bar{f} < f_m$ $\Delta f = 0$
 \bar{f} = vorhergesagte Grenzfrequenz
 f_m = gemessene Grenzfrequenz
- 5) relativer Abfall der F_2 -Grenzfrequenzen (Juliusruh/R.)
 bezogen auf den vorhergesagten Wert

$\frac{\Delta f}{f}$ = 18...29 %
 = 30...39 %
 = 40...49 %
 = 50 % und darüber

- Mägel-Dellinger-Effekt bzw. Dämpfungseinbrüche (Neustrelitz/Juliusruh)
- plötzliche erdmagnetische Unruhe oder Schwankungsamplitude des Erdmagnetfeldes $A \geq 60 \gamma$ bezogen auf eine Stunde

□ Streuecho □ Abdeckung durch E-Schicht



Im nächsten Heft finden Sie unter anderem...

Germaniumdioden als veränderliche Widerstände in Spannungsteilern ●

Tobitest II — ein Prüfgerät mit ungewöhnlicher Technologie ●

Drei Bauanleitungen für die Werkstatt ●

Logische Schaltungen ●

Grenzfrequenz und Anstiegszeit mehrstufiger RC-Verstärker ●

Nachrichten und Kurzberichte

▼ Ein großes, allerdings nicht schwenkbares Radioteleskop mit einer horizontalen Ausdehnung von 130 m ist beim astronomischen Hauptobservatorium der Akademie der Wissenschaften der UdSSR in Pulkowo bei Leningrad für Messungen im Bereich von 3...30 cm in Betrieb.

▼ Als Neuheit gibt es in den USA Stereo-FM-Empfänger, bei denen sich der Stereozusatz automatisch einschaltet, wenn der empfangene Sender von Mono auf Stereo übergeht.

▼ Ein amerikanischer Weltraumversuch mußte vorzeitig abgebrochen werden. Ein Raumkörper, in dem sich ein Schimpanse befand, sollte nach einer dreimaligen Erdumkreisung über dem Atlantik niedergehen. Schon nach der zweiten Umkreisung wurde jedoch eine Erhöhung der Temperatur in der Kabine festgestellt. Darauf mußten die Bremsraketen gezündet werden. Die Kapsel mit dem Schimpansen konnte aus dem Wasser geborgen werden.

▼ Einen transistorisierten Allwellenempfänger für Netzanschluß brachte die österreichische Firma Minerva mit ihrem Typ „Vanguard Alltransistor“ heraus. Es handelt sich dabei um einen vollwertigen Heimempfänger in großem, modernem Gehäuse, der mit Ausnahme der Abstimm-anzeige ganz auf Röhren verzichtet und daher keine „Anheizzeit“ mehr braucht. Ein eingebauter Netzgleichrichter liefert die Gleichstromversorgung der Transistoren und nimmt aus dem 220-V-Netz nur eine Leistung von 20 W auf.

▼ Die Firma Graetz teilte uns bezüglich unserer Veröffentlichungen „Der neue Joker 1034 von Graetz“ und „Wir lernten kennen: Graetz-Joker 1034“ im Heft 21 (1961) mit, daß inzwischen der fehlende Diodenschluß in die Geräteserie eingebaut wurde. Sie benutzt jetzt einen fünfpoligen Normstecker, bei dem die Kontakte eins und vier über einen Widerstand von 100 kΩ mit dem NF-Koppelkondensator am Hochpunkt des Lautstärkereglers verbunden sind.

▼ Berichtigung: Heft 20 (1961): Der Elko zwischen Potentiometerschleifer und Masse im Bild 4b auf S. 638 muß umgekehrt gepolt sein.

Heft 21 (1961): Im Bild 3 auf Seite 657 muß es auf der negativen Seite der Abszisse für $\omega = 0$ anstelle von $-R_N$ richtig $R_V - R_N$ heißen. Weiterhin ist in der Gleichung (3) auf derselben Seite der Zähler des Imaginärteiles nicht $(\omega C_0 R_N)^2$, sondern $\omega C_0 R_N^2$. Auf Seite 682 muß die Gleichung (2) richtig heißen: $U_X = U_E \cdot \left(\frac{R_V}{R_N} + 1\right)$ und (5) heißt richtig:

$R_X = R_N \cdot \left(\frac{U_M}{U_E} + 1\right)$. In der Tabelle auf S. 684 ist in der linken Spalte, vorletzte Rubrik die Angabe „ohne ohmschen Teiler“ in „mit ohmschem Teiler“ abzuändern.

Röntgenprüfung durch Ultraschallprüfung ersetzt

Die Mitglieder der Arbeitsgruppe zerstörungsfreie Werkstoffprüfung in der Abteilung Technologie des halleischen Zentralinstituts für Schweißtechnik haben bei der Prüfung der Schweißnähte eines Hochofenzugpanzers in der Maxhütte Unterwellenborn erstmalig in größerem Maßstab die bisher übliche Röntgenprüfung durch die Ultraschallprüfung ersetzt. Dadurch konnten 5000 DM an reinen Prüfungskosten eingespart und die Arbeiten sechs Tage vor dem festgesetzten Termin abgeschlossen werden.

Ultraschall verkürzt Film- entwicklung

Die Ultraschallbehandlung von Filmen im Entwicklerbad soll, wie ein amerikanischer Fachmann berichtet, die Entwicklungszeit um 90% verkürzen, das Korn feiner halten und den Entwickler länger brauchbar machen. Der Entwickler wird nur für 5 s je Entwicklungsminute mit Ultraschall behandelt. Ein Spezialgerät wurde für diesen Zweck konstruiert.

Entwicklung des ersten Ma- gneten unter Ausnutzung der Supraleitfähigkeit

Der neue Magnet enthält Wicklungen eines supraleitenden Drahtes. Es handelt sich dabei bekanntlich um Werkstoffe mit der Eigenschaft, jeden elektrischen Widerstand bei Temperaturen in der Nähe des absoluten Nullpunktes (-273°C) zu verlieren. Sobald er einmal in Betrieb genommen ist, wird er von elektrischem Strom ohne Leistungsverlust durchflossen.

Noch vor wenigen Jahren waren Supraleiter eine Laboratoriumsmerkwürdigkeit. Wissenschaftler vertraten die Ansicht, daß aus ihnen starke Magneten nicht hergestellt werden könnten, weil der durch ihre Ströme von ihnen erzeugte Magnetismus ihre Supraleitfähigkeit zerstört. Im vergangenen Jahr haben Mitarbeiter von den Bell Telephone Laboratories nachgewiesen, daß gewisse Supraleiter ihre magnetischen Eigenschaften auch in starken Magnetfeldern behalten. Der hier besprochene Westinghouse-Magnet hat nur die Größe eines Pfannkuchens und das Gewicht von 500 Pond, erzeugt jedoch ein doppelt so starkes Magnetfeld wie ein bis zur Sättigung des Eisens betriebener herkömmlicher Eisenkern-Elektromagnet von der Größe eines Automobils und einem Gewicht von 20 t. Ein solcher Eisenkernmagnet brauchte zum Betrieb ein eigenes Kraftwerk mit ununterbrochener Lieferung von 100 000 Watt oder mehr. Demgegenüber wird der neue Supraleit magnet mit einem gewöhnlichen Automobilakkumulator betrieben. Die vom Akku ständig abgegebene Leistung beträgt nur wenige Watt, mit denen die ge-

ringen Leistungsverluste in den Zuleitungsdrähten ausgeglichen werden.

Der supraleitende Magnet erzeugt eine Flußdichte von 43 000 Gauß ($= 4,3 \text{ Wb/m}^2$). Er hat keinen Eisenkern.

Der supraleitende Magnet enthält Draht von der Länge einer halben Meile und dem Durchmesser eines Nähfadens. Der Draht ist eine Legierung aus den beiden supraleitenden Metallen Niobium und Zirkonium. Etwa 5000 Windungen des fadenähnlichen Drahtes sind auf eine Spule oder ein Solenoid von 5 cm Durchmesser, 3,8 cm Länge und einem „Loch im Pfannkuchen“ von 1,27 cm gewickelt. Die Spule ist in ein Gefäß mit flüssigem Helium getaucht, das sie auf einer Temperatur von etwa -267°C erhält. Die zur Kühlung der Spule erforderliche Energie beträgt nur einen Bruchteil derjenigen, die zur Erzeugung eines vergleichbaren Magnetfeldes mit einem normalen Elektromagneten benötigt wird.

Ogleich der Draht, mit dem die Spule gewickelt ist, nur dreimal so dick wie ein menschliches Haar ist, überträgt er einen Strom von 20 A.

Zur Herstellung der Legierung und Einführung in den komplizierten Metallbearbeitungsprozeß mit dem Ziel der Herstellung eines Drahtes von $10/1000$ Zoll mußten Spezialverfahren entwickelt werden. Legierungen auf Niobium-Zirkonium-Basis sind nicht die einzigen zur Verfügung stehenden Werkstoffe. Manche haben noch bessere magnetische Eigenschaften, sind jedoch noch schwieriger zu bearbeiten. Die Metallurgie der aussichtsreichsten Materialien wird zur Zeit untersucht.

Wettervoraussage mit Rechenautomaten

Erstmals in der ČSSR wurde im Institut für Informationstheorie und Automation der tschechoslowakischen Akademie der Wissenschaften (CSAV) mit Hilfe eines Rechenautomaten versuchsweise eine Wettervorhersage errechnet. Unter Verwendung der Angaben aerologischer Sonden und auf Grund eines theoretischen Modells der Atmosphäre wurde der Höhenverlauf der isobarischen 500-Millibar-Fläche berechnet und damit die Vorhersage des Druckfeldes sowie der Windrichtung und der Windgeschwindigkeit in ungefähr 5,5 km Höhe ermöglicht. Die Übereinstimmung der ersten Ergebnisse mit dem tatsächlichen Verlauf der berechneten Größen war gut. An der Ausarbeitung der

Methodik der Berechnungen beteiligten sich Mitarbeiter des Laboratoriums für Meteorologie der CSAV, der mathematisch-physikalischen Fakultät der Karlsuniversität in Prag und des mathematischen Instituts der CSAV. Die Versuche gehen weiter.

Technische Mitteilungen T 9

Das Institut für Halbleitertechnik Teltow gab die Technischen Mitteilungen T 9 heraus. Die Mitteilung gibt die Ergebnisse von Laboruntersuchungen über das Verhalten des Transistors OC 872 als Mischer im Mittelwellenbereich wieder. Besonders wertvoll sind die angegebenen Meßschaltungen zur Messung der Kurzschlußmischsteilheit, des Eingangskurzschlußwiderstandes unter den dynamischen Bedingungen des Oszillator-Mischbetriebes sowie des entsprechenden Parameters auf der Ausgangsseite. Die Schaltungen sind auch zur Untersuchung des Diffusions-Legierungstransistors OC 880 — OC 883 (P 401 — P 403) im Mittelwellenbereich geeignet.

RAFENA-Informationen für den Fernsehkundendienst

In den „Informationen Nr. 16“ ist ein einführender Artikel in die Farbfernsehtechnik zu finden, der, wie uns von RAFENA mitgeteilt wurde, in den folgenden Heften fortgesetzt werden soll. In dieser Mitteilungsreihe wird die Funktion und Wirkungsweise eines Farbfernsehempfängers beschrieben.

In einem weiteren Beitrag wird auf die vom VEB RAFENA-Werke eingerichteten Fernsehlehrgänge eingegangen, wobei darauf hingewiesen wird, daß ein großer Teil der Lehrgangsteilnehmer das Lehrgangsziel nicht erreicht. Eine bessere Vorbereitung ist deshalb notwendig. Damit jeder Interessierte sich selbst überprüfen kann, ob er die Voraussetzung besitzt, sind 21 Kontrollfragen dem Beitrag beigelegt worden. Nach einigen technischen Hinweisen zur TV-Reparaturpraxis findet man zwei interessante Antennenbeiträge, wobei der erstere die Probleme beim Bau von vertikal polarisierten Antennen behandelt. Der zweite Antennenbeitrag beschäftigt sich mit der Blitzschutzterdung bei Antennenanlagen.

Mit einem Rückblick auf die Erfolge während der Leipziger Frühjahrsmesse sowie mit einem mit netten Bildern bereicherten Bericht über die Reise einiger Fernsehspezialisten des VEB RAFENA-Werke nach Kairo endet dieses Heft.

Allen Leserinnen und Lesern wünscht

radio und fernsehen

ein friedliches, glückliches

und erfolgreiches Jahr

1962

Transistor-Kleinstfunkgeräte – einige Schlußfolgerungen

In radio und fernsehen 24 (1960) S. 763, 10 (1961) S. 299 und 16 (1961) S. 494 hatten wir über die Leistungen der sozialistischen Arbeitsgemeinschaft „Transistor-Kleinstfunkgeräte“ berichtet, aber auch über die Schwierigkeiten, die sich ihr in den Weg stellten. Jetzt sind die Dinge zu einem gewissen prinzipiellen Abschluß gekommen, über den wir unsere Leser informieren zu müssen glauben. Zunächst: Die Arbeitsgemeinschaft wurde zum 12. Jahrestag unserer Republik mit dem Titel: Brigade der sozialistischen Arbeit ausgezeichnet. Diese Auszeichnung wurde von der VVB Braunkohle Cottbus (als dem hauptsächlichsten Bedarfsträger) mit der ausdrücklichen Befürwortung der VVB Rundfunk und Fernsehen vorgenommen. Damit sind die Leistungen der Arbeitsgemeinschaft von der VVB gebührend anerkannt worden. Mit einigen leitenden Wirtschaftsfunktionären des VEB Stern-Radio Sonneberg wurden Diskussionen geführt, in denen eine gewisse Annäherung der Standpunkte, wenn auch noch keine vollständige Übereinstimmung, erreicht wurde. Vor allem aber gelang es, für das wichtigste Problem: die Fertigung der Geräte, wenigstens eine prinzipielle Lösung zu finden. Denn im Laufe des vergangenen Jahres stellte sich heraus, daß das Kombinat Schwarze Pumpe keineswegs der einzige Bedarfsträger für die Kleinstfunkgeräte ist — auch in ihrer jetzigen Form als volltransistorisierter Sender und röhrenbestückter Netzempfänger. Viele andere Bedarfsträger, jeder von volkswirtschaftlich erheblicher Bedeutung, meldeten ihre Wünsche an, darunter andere Großbaustellen unserer Republik, Tagebaue, Werften, Stahlwerke usw. Um diesen Wünschen auch nur einigermaßen nachkommen zu können, müßten wenigstens einige Hundert Stück produziert werden. Der VEB Stern-Radio Sonneberg erklärt, diese Produktion nicht übernehmen zu können. Dafür hat sich die PGH Funkmechanik Freiberg bereit erklärt, diese Geräte zu fertigen — ungeachtet ihrer eigenen Entwicklung auf diesem Gebiete —, vorausgesetzt, daß sie von Sonneberg mit Material, vor allem mit bestimmten Halbfabrikaten, unterstützt wird. Das sagte wiederum der Werkleiter des VEB Stern-Radio Sonneberg zu, und der Hauptdirektor der VVB Rundfunk und Fernsehen erklärte, dem Werk eine entsprechende

Anweisung geben zu wollen. Obwohl diese Erklärungen, teils in mündlicher und teils in schriftlicher Form, bisher (d. h. bis Redaktionsschluß dieses Heftes) nur dem verantwortlichen Redakteur der Zeitschrift radio und fernsehen gegenüber abgegeben wurden und direkte Verhandlungen der Beteiligten noch nicht begonnen haben, halten wir jedoch das Problem damit im Prinzip für gelöst, auch wenn die konkreten Einzelheiten von den Wirtschaftsfunktionären noch festgelegt werden müssen. Wir haben uns davon überzeugen können, daß die PGH Funkmechanik Freiberg durchaus in der Lage ist, die Geräte zu fertigen, ohne daß ihre Dienstleistungen für die Bevölkerung auf dem Reparatursektor darunter leiden müßten.

Dabei muß jedoch ganz klar ausgesprochen werden, daß durch alle diese Maßnahmen nur ein Teil des allerdringlichsten Bedarfes unserer Volkswirtschaft befriedigt werden kann. Es sei noch einmal wiederholt, daß alle Anstrengungen der Arbeitsgemeinschaft „Transistor-Kleinstfunkgeräte“ im Verein mit dem VEB Stern-Radio Sonneberg und der PGH Funkmechanik Freiberg nur Überbrückungsmaßnahmen sein können. Die Ausrüstung unserer Baubetriebe, Tagebaue, Bergwerke, Werften, und aller anderen Bedarfsträger unserer Industrie mit UKW-Funksprengeräten ist und bleibt die Aufgabe der VVB Nachrichten- und Meßtechnik bzw. des VEB Funkwerk Dresden, die so schnell wie möglich mit DDR-eigenen Bauelementen entsprechende Geräte entwickeln und in die Fertigung überleiten müssen. Die Notwendigkeit von Überbrückungsmaßnahmen leitet sich aus der Tatsache her, daß sich diese Bauelemente, vor allem die für derartige Geräte benötigten Transistoren, selbst noch in der Entwicklung befinden.

Wir haben dieses Thema deshalb im ersten Leitartikel dieses Jahres aufgegriffen, weil einige grundsätzliche Probleme unseres Industriezweiges, Fragen der Leitungstätigkeit, des Vorrangs der Bauelemente, der Störfreimachung unseres Industriezweiges, der Ergänzung der Planungssystematik durch die Initiative der technischen sozialistischen Gemeinschaftsarbeit usw., in ihm konkret eine Rolle spielen. Die Notwendigkeit der Planung von Forschung und Entwicklung braucht

heute nicht mehr bewiesen zu werden, sie wird allgemein eingesehen. Der Techniker fordert heute aber von den Planungsorganen unserer Volkswirtschaft, wirklich den technisch-ökonomischen Gesetzen des Industriezweiges entsprechend zu planen, also z. B. den Vorlauf der Bauelemente in Forschung, Entwicklung und Fertigung zu sichern — sonst kann eben Funkwerk Dresden keine modernen volltransistorisierten Funksprengeräte entwickeln. Andererseits wäre es natürlich Unsinn, wollte man die Entwicklung eines derartigen Gerätes mit importierten Bauelementen vornehmen, die dann im entscheidenden Moment der Aufnahme der Fertigung evtl. gar nicht oder mit solchen Verzögerungen geliefert würden, daß der gesamte Planablauf nicht nur bei dem Fertigungsbetrieb, sondern — was in diesem Fall sich volkswirtschaftlich noch bösser auswirken würde — bei den Bedarfsträgern gestört würde.

Unser Beispiel zeigt aber noch etwas anderes. Auf dem Gebiet der Forschung und Entwicklung ist es genau so wenig wie auf anderen Gebieten möglich, die gesamte Mannigfaltigkeit des Lebens im Plan zu erfassen. Es ist ein ökonomisches Gesetz des Sozialismus, daß die Planung von oben durch die Initiative von unten ergänzt werden muß. Das ist an sich bekannt, und dem ist unter anderen durch die B-Pläne und durch die 5%-Klausel auch schon teilweise Rechnung getragen. Die große Rolle, die die technische sozialistische Gemeinschaftsarbeit in dieser Hinsicht spielen kann — es sei daran erinnert, daß die Arbeitsgemeinschaft „Transistor-Kleinstfunkgeräte“ eine Arbeitsgemeinschaft der KDT ist — wird durch unser Beispiel besonders augenfällig bewiesen. Hier entstand eine volkswirtschaftlich wichtige Aufgabe — zwischen Baukränen und Bauobjekt im Kombinat Schwarze Pumpe eine Funkverbindung herzustellen —, die in der notwendigen kurzen Zeitspanne nach der Plan-systematik nicht zu lösen war. Die technische sozialistische Gemeinschaftsarbeit erwies sich hier als die notwendige Ergänzung zur Plan-systematik, und das gibt ihr eine grundsätzliche Bedeutung für die sozialistische Wirtschaftsordnung, die von wirtschaftswissenschaftlicher Seite vielleicht noch eingehender untersucht werden sollte.

Schäffer

Nach der „Apfel“-Röhre nun die „Bananen“-Röhre für Farbfernseh-Bildwiedergabe?

Dr.-Ing. P. NEIDHARDT

Der folgende Beitrag behandelt eine interessante Variante einer Farbbildröhre. Die Farbbildröhrenentwicklung der DDR hat sich ebenso wie die der Sowjetunion bislang auf den Maskentyp konzentriert (radio und fernsehen 19 [1959] S. 599 ... 603). Die neue, gemeinsam von der englischen Firma Mullard und Philips entwickelte „Bananen“-Röhre arbeitet mit mechanischer Vertikalablenkung, stellt also, von der Seite der Elektronik her gesehen, einen Rückschritt dar, die aber in ihren Grundgedanken so interessant ist, daß wir die nachfolgenden Zeilen zum Abdruck bringen, um unsere Leser darüber zu informieren.

In der industriellen Fertigung spielt die Technologie der Produktionsverfahren eine bedeutende Rolle. Dies gilt besonders dort, wo konstruktiv schwierige Erzeugnisse zu fertigen sind. Ein Beispiel für den Versuch, aber auch für die dabei auftretenden Irrwege, technologisch zwar komplizierte, aber bei genügender Durcharbeit der auftretenden Probleme doch recht gut gangbare Wege der Fertigung (z. B. von Maskenröhren) umgehen zu wollen, ist seit langem die Farbbildröhrentechnik.

In der Sowjetunion, in den USA und in Japan — nicht zuletzt auch in der Deutschen Demokratischen Republik — hat man Farbbildröhren vom Maskentyp entwickelt, bei denen als farbsortierendes Element eine perforierte dünne Metallmaske vor dem Leuchtschirm wirkt. Es kann nach dem heutigen Stand der Dinge keinem Zweifel unterliegen, daß dies einstweilen die optimale Lösung darstellt. Kein anderer Typ erreicht derzeit mit vernünftigem Aufwand eine solche Qualität der Farbbildwiedergabe.

Der Röhrentechnik waren und sind z. T. heute noch technologische Verfahren ungeläufig, die auf fotochemischer und chemigrafischer Grundlage Leuchtstoffe und Metalle verarbeiten. So kommt es, daß man sich nur dort, wo man diese Verfahren beherrscht (in Deutschland war z. B. Leipzig schon immer ein weltbekanntes Zentrum der grafischen Technik), mit Erfolg an die Entwicklung produktionsreifer Maskenröhren gewagt hat. Wo das nicht der Fall war und man aus den verschiedensten Gründen Farbbildröhren einfach zum zukünftigen Produktionsprogramm zählen mußte, begann man andere Wege zu beschreiten. Das liegt durchaus im Interesse der Technik, aber es ist auch bemerkenswert, was schließlich dabei heraus kam.

In Amerika entwickelte man vor Jahren eine Farbbildröhre, der man, wohl aus der Erkenntnis, daß sie gegen die in vieler Hinsicht überlegene Maskenröhre (shadow-mask tube), die bereits bei der RCA in Produktion war, nicht konkurrieren konnte, scherzhaft den Namen „Apfel“-Röhre (apple-tube) gab. Es war schwer, hierfür eine deutsche Bezeichnung zu finden, die ihre Wirkungsweise etwa ebenso treffend wie der Name „Maskenröhre“ für den aussichtsreicheren Typ kennzeichnete. Die „Apfel“-Röhre wurde dann als „Rücksteuer“-röhre klassifiziert, was besagen sollte, daß eine Rückwärtssteuerung des Schreibstrahls über den Spurstrahl erfolgt. Niemand hat

„Apfel“- oder besser Rücksteuerröhren bisher in Produktion genommen.

Nach einem englischen in Hinsicht auf mangelnde Produktionsfähigkeit erfolglosen Versuch, aus der Maskenröhre (wahrscheinlich aus Patentgründen) eine Flachbildröhre zu machen (Gabor-Röhre mit magnetischem Kollimator und Strahlumlenkung) wird nun ein weiterer Versuch der englischen Firma Mullard Research Laboratories gemeinsam mit den holländischen Philips Research Laboratories bekannt, der sogar wieder auf mechanische Hilfsmittel zurückgreift und in gewisser Selbstironie ohne etwaige technische Gründe, dafür in Analogie zur „Apfel“-Röhre, die auch nach dem Urteil der Fachleute der sozialistischen Staaten und ihren Untersuchungsergebnissen (insbesondere ČSSR) vom Standpunkt der Produktionsfähigkeit und Anwendung in der elektronischen Schaltung als mißglückte Entwicklung bezeichnet werden muß, den Namen „Bananen“-Röhre trägt. Es mag zweckmäßig sein, unseren Lesern hierüber zu berichten, weil das Thema Farbbildwiedergabe international schon so viel Forschungsarbeit gekostet hat und auch das Thema „Landsche Zweifarben-theorie“ offenbar immer noch nicht zu den Akten gelegt ist, wie dies aus einem neueren Tagungsbericht (Institution of Electrical Engineers, London, 28. 9. 60, W. N. Sproson Journal Brit. I.R.E., Juni 1961, S. 537 ... 546) hervorgeht, von dem sich mancher Forscher

auch für die Farbbildwiedergabeverfahren (vergeblich) viel versprach.

Die Arbeitsweise der „Bananen“-Röhre

Der Grundgedanke dieser Entwicklung besteht darin, zwei Nachteile der bislang existierenden Farbbildröhren zu vermeiden:

1. die komplizierte Schirmstruktur, die entweder, wie bei der Maskenröhre, aus sehr vielen Leuchtstoffpunkten besteht oder aus einer großen Anzahl Leuchtstoffstreifen und z. T. Sekundäremissionsstreifen;
2. die komplizierten Anordnungen von Bauelementen in Farbbildröhren, die bei der Maskenröhre z. B. in der Aufhängung einer mit 350 000 Löchern perforierten Maske dicht vor dem Leuchtschirm in einem unmagnetischen Rahmen bestehen und natürlich auch durch die Mehrfach-Elektronenstrahlensysteme erzeugt werden.

Dieser Grundgedanke wird bei der „Bananen“-Röhre dadurch realisiert, daß man in der Röhre selbst auf eine Vertikalablenkung überhaupt verzichtet, d. h., die Röhre selbst schreibt kein erkennbares farbiges Fernsehbild, denn sie besitzt keinen Leuchtschirm, sondern parallele, benachbarte Leuchtstoffstreifen. Diese sind im Innern eines Glaszylinders, dessen Durchmesser etwa 50 mm beträgt, in axialer Richtung aufgetragen. Man ordnet Leuchtstoffstreifen mit rotem, grünem und

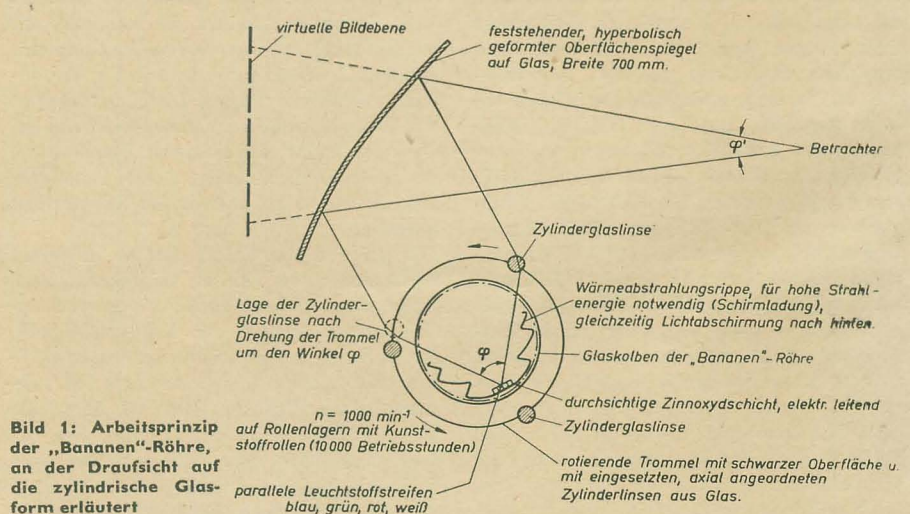


Bild 1: Arbeitsprinzip der „Bananen“-Röhre, an der Draufsicht auf die zylindrische Glasform erläutert

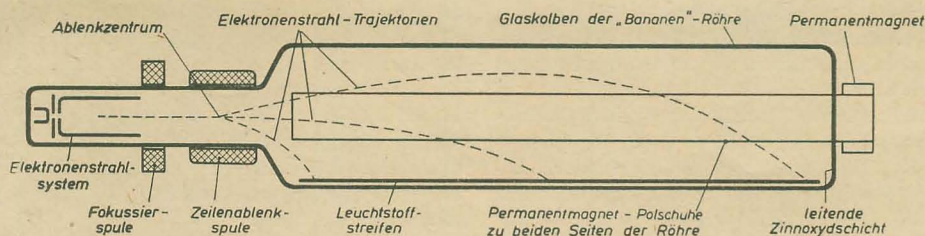


Bild 2: Arbeitsprinzip der „Bananen“-Röhre, an der Längssicht erläutert

blauem Leuchtstoff, und für eine gute Schwarzweiß-Wiedergabe einen weiteren Streifen mit weißem Leuchtstoff an, wobei jeder etwa 2 mm breit ist und eine Streifenlänge von 400 mm besitzt.

Die Wirkungsweise der „Bananen“-Röhre ist aus Bild 1 und Bild 2 erkennbar. Der Glaskolben der „Bananen“-Röhre trägt innen eine elektrisch leitende durchsichtige Zinnoxidschicht, die eine Äquipotentialfläche bildet. Im Fuß der Röhre befindet sich das Elektronenstrahlssystem, das mit einer Spannung von 25 kV bei einem Strahlstrom von 3 mA betrieben wird. Das System ist mit einer Fokussierspule magnetisch fokussiert und besitzt anschließend auf dem Hals nur eine Zeilenablenkspule, während die sonst übliche Bildablenkspule für die vertikale Richtung fehlt. Die Elektronenstrahlen werden unter dem Einfluß der Zeilenablenkspule und eines magnetischen Permanentfeldes auf die Leuchtstoffstreifen an der Innenwand der Röhre geleitet. Der Permanentmagnet sitzt am Röhrenende, dessen Zinnoxidschicht auf Ulterior-Potential liegt. Er wirkt mit Permanent-Magnetpolschuhen auf beiden Seiten der Röhre. Im Bild 2 sind die Elektronenstrahltrajektorien für kleinste und größte Auslenkung angedeutet. Da es sich um vier parallele, benachbarte Leuchtstoffstreifen Rot, Grün, Blau und Weiß handelt, wird für die farbige Bildwiedergabe eine vertikale Fleckwobbelung erforderlich, wenn Farbfernsehbilder wiedergegeben werden sollen, während sonst bei Schwarzweiß-Empfang diese Fleckwobbelung entfällt. Die Wobbelung wird durch ein entsprechendes Magnetfeld verwirklicht.

Aus Bild 1 ist zu erkennen, daß man die Leuchtstoffstreifen auf dem Innern einer Wärme-Abstrahlungsrippe angeordnet hat, die wegen der hohen Strahlenenergie und der dadurch auftretenden Schirmladung notwendig wird. Gleichzeitig dient diese Rippe als Lichtabschirmung nach hinten, sie gibt nämlich nur etwa einen Lichtaustrittswinkel von 120° frei. Unmittelbar um den Glaskolben der „Bananen“-Röhre herum rotieren drei zylinderförmige Glaslinsen, die auch etwa 400 mm lang sind. Auch sie sind im Bild 1 angedeutet. Es läßt sich leicht nachweisen, daß, wenn ein Lichtstrahl, in diesem Fall von einem der Leuchtstoffstreifen, die Glaszylinderlinse trifft, dann der Lichtaustritt bei einer rotierenden Bewegung des gesamten Glasstabes um die senkrechte Mittellinie des Glaskolbens der „Bananen“-Röhre parallel zu sich selbst in den verschiedenen Stellungen erfolgt.

Die zylindrischen Glaslinsen sind in einer Trommel mit schwarzer Oberfläche eingesetzt, die ihrerseits auf Rollenlagern mit Kunststoffrollen wegen der Geräuschkämpfung mit einer Umdrehungszahl von $n = 1000 \text{ min}^{-1}$ rotiert.

Diesen Kunststoffrollenlagern wird eine Betriebsdauer von 10 000 Stunden nachgesagt. Offenbar wurden sie speziell für die Zwecke der „Bananen“-Röhre entwickelt.

In einiger Entfernung von der Röhre, mit der um sie herum rotierenden Trommel mit den drei Zylinderlinsen, befindet sich ein feststehender, in einer Richtung hyperbolisch geformter Oberflächenspiegel aus Glas. Dieser lenkt die Lichtstrahlen so um, daß dem Betrachter ein virtuelles Bild vollkommen rechteckiger Form erscheint. Im Gegensatz zu den sonstigen Fernsehbildern besitzt das mit Hilfe der „Bananen“-Anordnung reproduzierte Schwarzweiß- oder Farbbild keine runden Ecken. Die Zeilenablenkung erfolgt mittels der Ablenkspule und dem Permanentmagnet in Richtung der Leuchtstoffstreifen, und diese werden mechanisch-optisch bei geeigneter Wahl der Trommeldrehzahl auf dem Oberflächenspiegel zu einem vollrechteckigen Fernseh- bzw. Farbfernsehbild auseinandergezogen.

Eigenschaften der „Bananen“-Röhre

Auch die „Bananen“-Röhre besitzt natürlich außer der Tatsache, daß es sich eigentlich gar nicht um eine echte Bildröhre handelt, weil sie ja allein gar kein Bild schreiben kann und daher einer mechanischen Anordnung bedarf, einige technische Kompliziertheiten. Wenn man von der Notwendigkeit, einen sehr formkonstanten Oberflächenspiegel hyperbolischer Form herzustellen, als Schwierigkeit in fertigungstechnischer Hinsicht absieht, bleibt eine sehr wesentliche komplizierte Eigenart des Erfindungsgedankens, die geräuschlose Trommelrotation. Die Drehgeschwindigkeit muß außerordentlich konstant sein, wenn das Bild keine Verzerrungen in der vertikalen Richtung bekommen soll. Dies ist wohl die größte Schwierigkeit im Zusammenhang mit der „Bananen“-Röhre überhaupt. Man hat daher die Trommel mit einem großen mechanischen Trägheitsmoment versehen und benutzt eine aus einer kleinen Lampe und einem Fototransistor bestehende Lichtsirene zur Steuerung des Induktionsmotors. Dazu bedarf es einer besonderen Verstärkerstufe.

Die Betrachtung des auf dem hyperbolischen Spiegel entstehenden Bildes erfolgt gegen einen dunklen Hintergrund. Der hierbei interessierende Vorteil gegenüber den echten Farbbildröhren ist der, daß kein Raumlicht auf den Schirm fällt und demzufolge die Farben keine Entsättigung erfahren. Es treten lediglich geringe optische Verluste durch Verwendung des Spiegels ein.

Die Firma Mullard gibt einige interessante Vergleiche für das Kontrastverhältnis einer Anordnung mit „Bananen“-Röhre und eines Farbfernsehempfängers mit Maskenröhre an (Tabelle 1).

Tabelle 1: Kontrastverhältnisse bei „Bananen“- und Maskenröhre

Umgebungslicht	„Bananen“-Anordnung	Maskenröhre
keins, Dunkelheit	40 : 1	25 : 1
4 Footlambert (1,37 msb) entspr. 100-W-Lampe, 183 cm vom Empf. entf.	32 : 1	7 : 1
16 Footlambert (5,48 msb) entspr. 100-W-Lampe, 92 cm vom Empf. entf.	19 : 1	4 : 1

Die Leuchtdichte eines Farbfernsehempfängers mit Maskenröhre beträgt etwa 3 msb. Die entsprechende Leuchtdichte für eine „Bananen“-Anordnung weist 40 Footlambert, entsprechend 13,7 msb auf. Dies ergibt, zusammen mit der geringeren Beeinträchtigung des betrachteten Farbfernsehbildes, eine gewisse Überlegenheit bei der Verwendung einer „Bananen“-Röhre.

Perspektiven der „Bananen“-Röhre

Zweifellos besteht bei allen Fernsehempfängern einschließlich der Farbfernsehempfänger die Tendenz, die Tiefe dieser Geräte möglichst klein zu halten. Man ist aus diesem Grunde zu komplizierten Anordnungen der Elektronenoptik übergegangen, die bekannte 110°-Ablenktechnik hat viel Entwicklungsarbeit gekostet. Da die „Bananen“-Röhre nur einen relativ kleinen Durchmesser hat und horizontal liegt, ist die Gehäusentiefe nur etwa ein Drittel so groß wie die eines Farbfernsehempfängers mit Maskenröhre. Ganz sicher ist dies ein Vorteil zugunsten des neuen Typs.

Viel wesentlicher sind dabei die Kosten, die die Herstellung des Empfängers erfordert. Von der Firma Mullard wird hierzu ein Vergleich nach Tabelle 2 gegeben.

Tabelle 2: Kostenvergleich

Empfängertyp	relative Kosten in beliebigen Einheiten
53-cm-Schwarzweiß-Empfänger der üblichen Technik	100
„Bananen“-Empfänger in Ausführung der jetzt möglichen Technik	280
„Bananen“-Empfänger in Ausführung zukünftig möglicher Technik	240
Farbfernsehempfänger mit Maskenröhre, heutige Technik	320

Obgleich bereits das Kostenverhältnis zwischen dem 53-cm-Farbfernsehempfänger und dem Schwarzweiß-Empfänger gleichen Formats offenbar zu ungünstig angegeben ist, wie dies beispielsweise aus amerikanischen oder japanischen Preisverhältnissen hervorgeht, erkennt man doch, daß der „Bananen“-Empfänger in der heutigen Technik nicht wesentlich billiger als der Farbfernsehempfänger mit Maskenröhre ist. Wenn man andererseits voraussetzt, daß der „Bananen“-Empfänger durch eine Weiterentwicklung der Technik noch

preisgünstiger herzustellen sein wird, dann ist nicht einzusehen, warum dies nicht auch für den Farbfernsempfänger mit der Maskenröhre gelten soll. Sicherlich weist aber der „Bananen“-Empfänger verschiedene technische Schwächen auf, die sich erst vollends übersehen lassen, wenn bezüglich seines Betriebes eine ähnliche Summe von Erfahrung vorliegt, wie dies bei den Empfängern mit Maskenröhre der Fall ist. Die Schwierigkeiten der Konvergenzeinstellung der heutigen Empfänger mit Farbbildröhren vom Maskentyp sind nicht zu unterschätzen, aber auch diese Neuentwicklung der Firmen Mullard und Philips hat einige große Schwächen. Ungleichmäßigkeiten im Antriebsmechanismus führen zu einer Bildverzerrung in vertikaler Richtung. Die Herstellung kratzfester Zylinderlinsen der nötigen Transparenz ist ebenfalls recht schwierig, die Füllung mit Wasser wäre wegen der

Ausdehnungsschwierigkeiten einigermaßen problematisch. Die Befestigung der zylindrischen Glaslinsen in der rotierenden Trommel ist sehr kritisch. Die Herstellung eines verzerrungsfreien Oberflächenspiegels hyperbolischer Form in benötigter Größe ist ebenfalls ein nicht zu unterschätzendes Problem, besonders in fertigungstechnischer Hinsicht. Der Schutz der Reflektoroberfläche könnte nur durch geeignete Lackschichten besonders großer Härte erfolgen, aber dabei entsteht die Gefahr der Doppelbilder. Demgegenüber steht die Möglichkeit, einwandfreie Schwarzweiß-Bilder mit einem Farbfernsempfänger widerzugeben, wie sie die Maskenröhre nicht liefert.

In der Technik ist es sehr häufig so, daß unkonventionelle Erfindungsgedanken erst durch eine weitere zusätzlich in Anwendung kommende Idee wertvoll werden. Es mag also

nicht ausgeschlossen sein, daß der jetzt noch der „Bananen“-Röhre anhaftende Nachteil der Anwendung einer Mechanik durch an sich bekannte Prinzipien der Elektro-Optik verbessert wird und daß z. B. eine Trennung der Ablenkvorgänge in einen elektronenoptischen und einen elektrooptischen Vorgang zu einem neuen billigeren und besseren Erzeugnis „Farbbildröhre“ führt.

Literatur

- [1] Anonym: A new technique for colour television; Engineering, 9 (1961) pp. 814, 815
- [2] Anonym: Banana tube colour television display; Wireless World, Juli (1961) pp. 351, 352
- [3] Dr. P. Schagen, B.A. Eastwell, K. G. Freeman, H. Howden, R. N. Jackson und B. R. Overton; Banana-tube; Proc. Inst. Electr. Eng., vol. 108, part B, 1961

10 JAHRE radio und fernsehen

Wir blättern in alten Jahrgängen

Mit diesem Heft beginnt der 11. Jahrgang von radio und fernsehen. Eine Zeitschrift ist mit zehn Jahren noch verhältnismäßig jung, trotzdem wollen wir dieses kleine Jubiläum zum Anlaß für einen kurzen Rückblick nehmen und gleichzeitig einige Worte in eigener Sache sagen.

Im Juli 1952 erschien im Fachbuchverlag Leipzig das erste Heft der damaligen „Deutschen Funk-Technik“. Von vielen erwartet und begrüßt, da in der DDR auf diesem Gebiet bis dahin nur die „Nachrichtentechnik“, aber kein populär-technisches Blatt herausgegeben wurde. Der Start begann bei monatlichem Erscheinen mit einer Auflage von 7000 Exemplaren. Besonders der in Fortsetzungen veröffentlichte Lehrgang „Funktechnik“ von Dipl.-Ing. Raschkowitsch, die Röhreninformationen von Fritz Kunze, Gerätebeschreibungen und Reparaturhinweise — waren doch zu der Zeit weder Röhrentaschenbücher noch richtige Reparaturunterlagen für die Servicewerkstätten eine Selbstverständlichkeit — fanden viele Interessenten, so daß sich 1954 bei der Übernahme vom Verlag Die Wirtschaft, Berlin, die Auflage bereits mehr als verdoppelt hatte.

Aber 1954 wechselte nicht nur der Name des Verlages, auch der seinerzeit etwas unglücklich gewählte Titel „Deutsche Funk-Technik“

wurde in radio und fernsehen geändert. Gleichzeitig wurde aus der Monats- eine Halbmonatszeitschrift mit dem neuen Untertitel „Zeitschrift für Radio, Fernsehen, Elektroakustik und Elektronik“. Damit waren das Themengebiet und die Aufgabenstellung wesentlich weiter gesteckt worden. Die im Rahmen der Profilierung der Verlage 1960 erfolgte Übernahme in den VEB Verlag Technik brachte keine grundsätzliche Änderung der Aufgabenstellung. Sie ermöglichte aber durch den nun vollzogenen Zusammenschluß und den sich daraus ergebenden engeren Kontakt mit der wissenschaftlichen Zeitschrift „Nachrichtentechnik“ eine bessere Niveaubegrenzung.

So vielgestaltig die Anforderungen sind, die von den zahlreichen sehr unterschiedlichen Interessentengruppen unseres umfassenden Leserkreises an radio und fernsehen gestellt werden, so vielseitig, so unterschiedlich in Niveau und Thematik muß infolgedessen der Inhalt unserer Hefte sein. Wir müssen, solange z. B. keine Elektronikzeitschrift oder ähnliches existiert, Gebiete wie Kernphysik usw. mitbehandeln, die zugegebenerweise ausgesprochene Randgebiete für uns darstellen, über die unsere Leser aber vorerst in keiner anderen Zeitschrift etwas finden. Und erwarten die Techniker, Meister, Mechaniker und

Ingenieure der Industrie und der Handwerksbetriebe von uns Veröffentlichungen über Erfahrungen, Methoden und Neuerungen der in- und ausländischen Industrie, so dürfen wir darüber keineswegs den großen Leserkreis der Amateure vergessen, der hauptsächlich Bauanleitungen in radio und fernsehen sucht.

Wie groß das Interesse unserer Bezieher an derartigen Veröffentlichungen ist, zeigte die steile Auflagenentwicklung, nachdem wir diesem Wunsch mit mindestens einer Bauanleitung in jedem Heft entsprachen. Aber auch durch die Fortsetzungsreihen Transistortechnik und Halbleiterinformationen und nicht zuletzt durch unsere Berichterstattung über Neuheiten und die Technik des befreundeten und des kapitalistischen Auslands konnten wir viele neue Freunde gewinnen, so daß wir beim Eintritt in den 11. Jahrgang die Auflagenhöhe von etwa 30000 Exemplaren registrieren können. Davon gehen allein über 5500 Exemplare jeder Nummer ins Ausland.

Wenn unsere Zeitschrift mit dieser guten Bilanz jetzt ihr zweites Jahrzehnt beginnt, so möchten wir nicht versäumen, allen unseren Autoren für ihre freundliche und vielfach schon jahrelange Mitarbeit zu danken. Aber besonders danken wir unseren Lesern für ihre Anregungen, kritischen Hinweise, für den Kontakt, den sie mit uns hielten, sei es durch Zuschriften oder auch nur durch ihren Bezug unserer Zeitschrift.

Auch beim neuen Jahrgang werden uns die Schwierigkeiten der Themenbegrenzung nicht abgenommen. Wir werden uns aber nach bestem Können bemühen, die uns gestellten Aufgaben zur größtmöglichen Zufriedenheit zu erfüllen. Unsere Leser bitten wir auch weiterhin um eine rege Mitarbeit, die für das Gelingen der nächsten Jahrgänge unerlässlich ist. In diesem Sinne grüßt Sie Ihre

**Redaktion
radio und fernsehen**

Technologische Sonderprobleme bei Bildröhren für das Farbfernsehen

INGE BORNEMANN

Im folgenden Beitrag, der eine ergänzende Mitteilung zum Artikel von H. Müller-Rux, „Technologische Betrachtung der Farbfernsehbiröhre-Maskentyp“, radio und fernsehen 9 (1959) S. 599 ... 603, darstellt, werden der prinzipielle Aufbau und die Wirkungsweise einer Farbbildröhre vom Maskentyp kurz behandelt, um auf bestimmte technologische Fragen, die bei der Herstellung einer Farbbildröhre zu lösen sind, einzugehen. Vor allem werden solche Probleme erörtert, die sich wesentlich von denen der Produktion von Schwarzweiß-Bildröhren unterscheiden. Hierzu gehören Fragen der Beschirmung, der Maskenherstellung und der vakuumdichten Lötung.

Die Rolle der Technologie in der speziellen Technik der Farbbildröhren

Das Farbfernsehen wird auf Grund einer folgerichtigen Entwicklung eines Tages das Schwarzweiß-Fernsehen in vielen technischen Bereichen ablösen und stellt demnach einen Zweig der „Neuen Technik“ dar. Der Zeitpunkt und der Erfolg bei der Einführung einer neuen technischen Errungenschaft werden durch die Vollkommenheit des kompliziertesten und zahlenmäßig meist auftretenden Teils des betrachteten technischen Gebiets bestimmt. Beim Farbfernsehen ist dies die Farbbildröhre. Aus diesem Grunde ist es notwendig, die Technologie für die Massenproduktion besonders gut durcharbeiten, was bereits im Labor zu beginnen hat. Bei der Behandlung nur einiger besonders interessanter Sonderprobleme der Farbbildröhrenentwicklung wird augenfällig, wie komplex die moderne Elektronik sein kann.

Von den zahlreichen Konstruktionsmöglichkeiten für eine Farbbildröhre hat sich im internationalen Maßstab bis jetzt nur das Maskenprinzip durchgesetzt. Hierbei erfolgt die Farbsortierung mit einer Lochmaske, die sich im Abstand von wenigen Millimetern fest eingebaut vor dem Bildschirm befindet. Als Farbsortierung wird die Zuordnung jeweils der drei Elektronenstrahlen zu den in Punktform tangierend auf dem Bildschirm befindlichen drei Leuchtstoffen bezeichnet. Da die drei Elektronenstrahlen in einem geringen Winkel zueinander geneigt im Hals der Röhre angeordnet sind, treffen sie auf Grund der Parallaxe durch ein und dasselbe Maskenloch drei verschiedene Stellen auf dem Schirm. Aus diesem Grunde beträgt die Anzahl der Leuchtstoffpunkte den dreifachen Wert der Anzahl der Maskenlöcher. Der Aufbau der drei Elektronenstrahlensysteme unterscheidet sich nicht voneinander, sie sind fest und gemeinsam auf einem Preßsteller montiert. Der Leuchtstoffpunkt-Durchmesser muß sehr niedrig gehalten werden, da die Punktgröße bei normalem Beobachterstand unter der Grenze des Auflösungsvermögens des menschlichen Auges liegen muß, damit durch Addition der Farbeindrücke der roten, grünen und blauen Punkte im menschlichen Auge das farbige Bild entsteht.

Das Problem der Beschirmung

Besondere Schwierigkeiten bildet die Notwendigkeit, die drei Elektronenstrahlen in ihrem physikalischen Verhalten einander anzugleichen und andererseits ein einwandfreies Zusammenarbeiten der Strahlen herbeizuführen.

Zu diesen Problemen gehört unter anderem die Forderung, daß die drei Elektronenstrahlen in der Maskenebene zusammentreffen, d. h. konvergieren müssen. Hierzu dienen statische Konvergenzmagnete und Konvergenzspulen [1], [2].

Während die Konvergenzmagnete die Aufgabe haben, die nicht abgelenkten Strahlen zur Konvergenz zu bringen, ändern sich die Verhältnisse, wenn die Strahlen abgelenkt werden, so daß eine zusätzliche sogenannte dynamische Konvergenzeinrichtung notwendig wird. Die hierfür verwendeten Konvergenzspulen haben den Sinn, die Wirkungen zweier Faktoren, die durch den sich bewegenden Strahl verursacht werden, weitgehend zu kompensieren:

1. Durch die nur schwache Krümmung des Kolbenbodens und der Maske ist die Entfernung vom Ablenkzentrum im Röhrenhals zur Schirmmitte und zum Schirmrand unterschiedlich.
2. Die Elektronenstrahlen beschreiben keine geradlinige Bahn, da sie durch das Ablenkkfeld beeinflußt werden, so daß mit steigendem Ablenkwinkel ebenfalls die Weglänge der Elektronenstrahlen zunimmt.

Da sich die Polschuhe innerhalb des Röhrenhalses befinden und jeweils im Abstand von 120° fest an dem Dreistrahlensystem montiert sind, ist eine Verschiebung der drei Elektronenstrahlen nur in radialer Richtung zur Röhrenachse hin möglich. Da mit dieser Bewegungsrichtung jedoch nicht immer alle drei Strahlen zur Konvergenz gebracht werden können, ist mit einem weiteren Permanent-

magneten, dem sogenannten Blaulagemagnet, die zusätzliche Bewegung des blauen Strahls in tangentialer Richtung möglich.

Auf dem Röhrenhals, zwischen Konvergenzspulen und Blaulagemagnet, befindet sich der Farbreinheitsmagnet, der die Neigung der drei Elektronenstrahlen zueinander in einem kleinen Bereich nachzustellen gestattet.

Durch die zahlreichen Magnetfelder, die auf die Elektronenstrahlen einwirken, sind Konvergenz und Farbreinheit stark miteinander gekoppelt, so daß eine Veränderung einer Größe stets eine Änderung der anderen notwendig nach sich zieht. Die Wechselwirkung zwischen dem Aufbau des Elektronenstrahlensystems und den zahlreichen Magnetfeldern ist der Tabelle zu entnehmen.

Die drei Elektronenstrahlen, die durch diese zahlreichen Magnetfelder beeinflußt werden, treten jeweils gemeinsam durch ein Maskenloch und treffen auf dem Schirm drei verschiedenartige Leuchtstoffpunkte, nämlich rote, grüne und blaue Punkte. Diese Leuchtstoffpunkte weisen den gleichen Durchmesser auf, sind in einem gleichseitigen Dreieck angeordnet und tangieren. Da die Leuchtstoffpunkte etwa einen Durchmesser von 0,4 mm besitzen, befinden sich auf der Fläche eines 53-cm-Farbbildschirms über 1 Million dieser Punkte. Um einen einheitlichen Farbeindruck zu erzielen, sind nur sehr kleine Toleranzen der Durchmesserabweichung zulässig. Dies erfordert eine Spezialtechnologie zur Herstellung eines Farbbildschirms.

Es gibt hierfür zahlreiche Varianten, jedoch liegt ihnen allen die gleiche Methode zugrunde. Eine lichtempfindliche Polyvinylalkohol- oder

Tabelle

Aufbau des Elektronenstrahlensystems und Einwirkung der einzelnen elektrischen und magnetischen Felder

Elektronenstrahl	Einwirkung
Katode (0 V)	Strahlaustritt
Wehneltzylinder (Steuergitter) 0 bis — 150 V	Strahlstromsteuerung
Schirmgitter (1. Anode) 150 bis 600 V	Strahlbeschleunigung und tangentiale Justierung des „blauen Elektronenstrahls“ durch Blaulagemagnet
2. Anode (Fokussieranode) 1 bis 4 kV	Justieren des Strahltriplets mittels Farbreinheitsmagnet und Bildung einer Elektronenlinse zusammen mit 3. Anode
3. Anode (Ultoranode auf gleichem Potential wie Maske und Schirmaluminisierung) 15 bis 23 kV	statische Strahlfokussierung und Herstellung der statischen Konvergenz sowie der dynamischen Konvergenz
Weg zum Schirm	Ablenkung in horizontaler und vertikaler Richtung durch Magnetfelder der Ablenkspulen

Gelatineschicht wird gleichmäßig über den Kolbenboden verteilt und durch die Maske hindurch belichtet. Die vom Licht getroffenen Stellen erfahren eine Umwandlung, was zum Unlöslichwerden führt. Dadurch können die nicht belichteten Stellen ausgewaschen (entwickelt) werden, und man erhält ein erstes Punktraster. Auf diesem Punktraster wird nach einem der im folgenden beschriebenen Verfahren der Leuchtstoff fixiert.

Als lichtempfindliche Schichten können mit Bichromat sensibilisierte Gelatine- oder Polyvinylalkohollösungen verwendet werden. Gelatinelösungen haben den Nachteil, daß sie bei Zimmertemperatur erstarren und daß infolgedessen, um eine gleichmäßige Schicht zu erhalten, der Kolbenboden und die Lösung erwärmt werden müssen. Ferner handelt es sich bei der Gelatine um ein Naturprodukt, das je nach dem Ausgangsrohprodukt unterschiedliche Eigenschaften besitzt (Quellfähigkeit, Viskosität, Bindefestigkeit, Klebkraft u. a.). Polyvinylalkohol dagegen weist als Kunststoff eine nahezu stets gleiche Qualität auf.

Die Fixierung des Leuchtstoffs kann recht unterschiedlich vorgenommen werden. Im folgenden sollen einige Methoden stichwortartig erläutert werden:

1. Es wird eine Suspension von Leuchtstoff in einer wäßrigen Polyvinylalkohollösung hergestellt, die mit Bichromat sensibilisiert wird. Die Suspension wird auf den Kolbenboden gegossen, durch eine Drehbewegung gleichmäßig verteilt und der Überschuß abgeschleudert. Während der Drehbewegung trocknet die Schicht. Anschließend wird belichtet, und beim Entwicklungsprozeß wird die an den unbelichteten Stellen vorhandene Suspension entfernt.
2. Eine lichtempfindliche Polyvinylalkohollösung wird durch Schleudern gleichmäßig über den Kolbenboden verteilt. Auf die noch feuchte Schicht wird der trockene Leuchtstoff gesprüht, der Schirm wird getrocknet, belichtet und entwickelt.
3. Eine lichtempfindliche Polyvinylalkohollösung wird durch Schleudern gleichmäßig über den Kolbenboden verteilt und getrocknet. Die Schicht wird belichtet und danach mit einer Leuchtstoffsuspension übergossen, die sich gleichmäßig absetzt. Die vom Licht getroffenen Stellen haben ihre Löslichkeit verloren und quellen auf, während die nicht getroffenen Stellen gelöst werden. Beim anschließenden Trocknen wird der Leuchtstoff an den gequollenen Stellen so fest zum Haften gebracht, daß beim nachfolgenden Entwickeln nur der auf den nicht belichteten Stellen liegende Leuchtstoff fortgewaschen wird.
4. Der Leuchtstoff wird wie bei Schwarzweiß-Bildröhren gesettelt und seine Haftung am Glas durch Binder- und Koagulatorlösungen herbeigeführt. Nach dem Trocknen wird der Schirm mit einer lichtempfindlichen Polyvinylalkohollösung gleichmäßig übergossen, der Überschuß abgeschleudert und die Schicht getrocknet. Anschließend wird sie belichtet und entwickelt. Die nicht belichteten Stellen werden fortgewaschen.

Alle vier geschilderten Verfahren, so einfach die Arbeitsgänge auch scheinen mögen, besitzen ihre speziellen Schwierigkeiten. Hierzu

gehört z. B. die Herstellung einer Leuchtstoffsuspension in einer Polyvinylalkohollösung, die so entmischungstabil ist, daß durch Schleudern eine gleichmäßige Schicht auf den Kolbenboden aufgetragen werden kann. Mit diesem Problem hängt eng die Frage der Körnigkeit des Leuchtstoffes zusammen. Es werden z. T. sehr große Kornfeinheiten benötigt, die für bestimmte Leuchtstoffe nur durch spezielle Präparationsbedingungen und nicht durch Mahlprozesse zu erreichen sind.

Bei den oben erwähnten Beschirmungsverfahren wurde jeweils nur die Herstellung einer Leuchtstoffschicht geschildert. Zur Fertigstellung eines kompletten Schirms müssen die beschriebenen Arbeitsgänge stets noch zweimal wiederholt werden mit dem einzigen Unterschied, daß die Belichtung relativ zum Schirm-Masken-Komplex von einer anderen Stelle her erfolgt.

Ein Sonderproblem der Beschirmung ist die Belichtung. Hierzu gehören Fragen der Lampenform, der Lampengröße und der Lampenart (Spektrum und Intensität), wenn davon abgesehen wird, daß eine „Belichtung“, d. h. eine Härtung der lichtempfindlichen Schicht, auch mit Elektronenstrahlen möglich ist. Im allgemeinen werden jedoch Quecksilberlampen für Belichtungszwecke verwendet, wobei nicht nur die UV-Strahlen eine härtende Wirkung ausüben.

Wie aus Bild 1 zu ersehen ist, hat die Abmessung der wirksamen Lichtfläche einen wesentlichen Einfluß auf die Größe der Leuchtstoffpunkte. Hierbei ist natürlich vorauszusetzen, daß der Maskenlochdurchmesser, der Abstand Schirm — Maske und der Abstand Belichtungsebene — Schirm feste Werte einnehmen. Der Zusammenhang aller Größen ist Gleichung 1 zu entnehmen.

$$M = \frac{R(1-q) - B}{q} \quad (1)$$

Die Intensität der Lampe darf einen bestimmten Wert nicht unterschreiten, da das $(I \cdot t = K)$ -Gesetz bei bichromatsensibilisierten

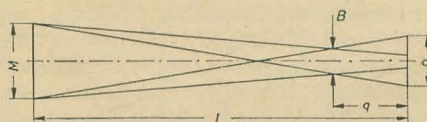


Bild 1: Geometrischer Zusammenhang zwischen den Durchmessern der Lichtquelle, des Maskenlochs und des Leuchtstoffpunktes
 M = Durchmesser der Lichtquelle,
 B = Durchmesser des Maskenlochs,
 R = Durchmesser des Leuchtstoffpunktes, q = Abstand Schirm — Maske, l = Abstand Lichtquelle — Schirm

Schichten nur bis zur Grenze $t_{\max} \sim 10$ min gilt. Bei höheren Belichtungszeiten treten als störende Begleiterscheinungen Dunkelreaktionen auf.

Ferner ist es zur Erzielung eines gleichmäßigen Schirms notwendig, daß die Ausleuchtung über den gesamten Kolbenboden weitgehend konstant ist. Eine geringe Intensitätsabnahme läßt sich aus mehreren Gründen schwer vermeiden, jedoch sollte sie 30% nicht überschreiten. Größere Intensitätsunterschiede machen sich in Form zu kleiner Punkte oder im Extremfall nicht haftender Punkte bemerkbar.

Die Forderungen nach einer intensiven Lichtquelle und nach einer gleichmäßigen Lichtverteilung lassen sich mit Hilfe des sogenannten „Lichtleiter“-prinzips weitgehend erfüllen. In diesem speziellen Fall handelt es sich um einen besonders geschliffenen Quarzstab, der das Licht auf seiner breiten Seite eintreten und an seiner schmalen leicht mattierten und zugespitzten Seite gesammelt austreten läßt. An den zylindrisch-konischen Wandflächen erfolgt mehrfache Totalreflexion (Bild 2). Zur weitgehenden Ausnutzung der gesamten Strahlungsmenge der Lampe ist es zweckmäßig, den Lichtbogen der Lampe in dem ersten Brennpunkt eines Halbrotaations-Ellipsoidspiegels anzuordnen und im zweiten Brennpunkt die Eintrittsfläche des Lichtleiters. Um einen besseren Wirkungsgrad zu erzielen, kann die Eintrittsfläche des Lichtleiters halbzylindrisch geschliffen werden.

Die Technologie der Maske

Die Güte des Farbbildschirms hängt zum großen Teil von der Qualität der Maske ab, da die Leuchtstoffpunkte praktisch eine Projektion der Maskenlöcher darstellen und dadurch Maskenfehler auch auf dem Schirm bemerkt werden. Zu Maskenfehlern gehören unter anderem:

1. Verschmutzung von Maskenlöchern
2. unregelmäßige Durchmesserabweichungen der Löcher
3. unterschiedliche Tiefe des zylindrischen Teils
4. unterschiedliche Aufweitung des konischen Teils
5. unregelmäßig ausgebrochene Lochränder

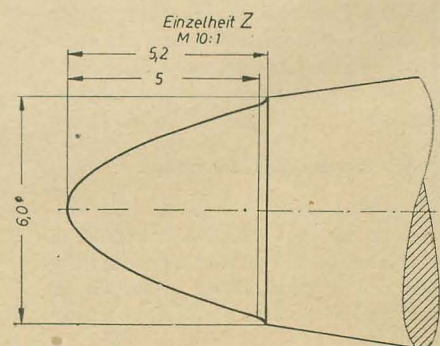
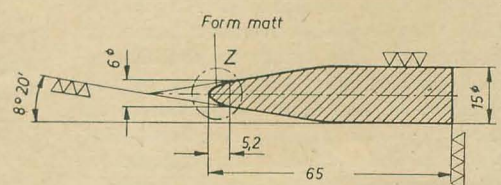


Bild 2: Quarzstabform

Da die Leuchtstoffpunktgeometrie auf dem Schirm unter anderem wesentlich durch den Abstand der Maske von dem Schirm beeinflusst wird, wirken sich Maskendeformationen, z. B. Beulen, sehr aus, da sie ebenfalls Ursache für eine Abstandsänderung sind. Während sich geringe Abstandsunterschiede zwischen Kolbenboden und Maske, die teilweise durch Radiusschwankungen der Kolbenböden bedingt und bereits vor der Beschirmung vorhanden sind, vernachlässigen lassen, wirken sich Verformungen der Maske, nachdem diese bereits zur Belichtung verwandt worden ist, außerordentlich nachteilig aus. Die Folgen sind deutlich sichtbare Farbfehler an der fertigen Röhre. Ähnliche Effekte treten dann auf, wenn die Maske ihre Lage in der fertigen Röhre ändert. Gründe hierfür können Verformung der Maske durch Temperatureinwirkungen oder mechanisch und thermisch nicht stabile Aufhängung der Maske sein. Die Güte der Maske wird demnach durch die Qualität der Maskenlöcher und durch die Festigkeit der Maske bestimmt. Der Herstellungsgang der Masken ist stichwortartig folgender:

1. Herstellung einer Rastervorlage auf einer Filmgrundlage (schwarze Punkte auf durchsichtigem Grund)
2. Kopieren der Rastervorlage auf das Maskenblech (Punkte zeigen blankes Metall; Zwischenräume sind mit einer ätzbeständigen Schicht bedeckt)
3. Ätzen der kopierten Maskenbleche

Die Herstellung der Rastervorlage erfordert eine sehr große Sorgfalt, da sämtliche, bei diesem Arbeitsgang auftretenden Fehler durch die Kopie auf die Maske und von dort auf den Schirm übertragen werden. Wesentlich für einen guten Raster sind gleichmäßige Größe, gute Deckung und Schärfe der Punkte sowie Schleierfreiheit des gesamten Rasters.

Um diese Forderungen zu erfüllen, erwies sich die Verwendung eines in Glas gravierten Strichrasters mit einem Linienverhältnis von 1:1 als am günstigsten (Bild 3). Unter einer Drehung von 30° wurde eine Aufnahme des Strichrasters auf einen Film gemacht. Nach einer weiteren Drehung des Strichrasters um 120° wurde auf dem gleichen Film eine zweite Belichtung durchgeführt, und als Ergebnis zeigte sich ein Rhombenraster (Bild 4). Das Rhombenraster wurde als Aufnahmeraster in eine Reproduktionskamera eingespannt und durch eine Spezialblende hindurch in der Aufnahmeebene auf eine zweite fotografische Platte projiziert. Das Ergebnis sind in guter Annäherung runde Punkte (Bild 5).

Vor dem Kopieren der Rastervorlage auf das Maskenblech wird dasselbe mit einer lichtempfindlichen Schicht bedeckt. Anschließend erfolgt dann die Belichtung durch das auf dem Blech liegende Raster hindurch mit einer Kohlebogenlampe. Beim Entwickeln werden die nicht belichteten Stellen gelöst und zurück bleiben die fest auf dem Blech haftenden, durch das Licht gehärteten und daher ätzbeständigen Stellen.

Als optimale Querschnittsform der Maskenlöcher wurde die Kombination eines zylindrischen und konischen Teils festgelegt. Hierfür ist es jedoch erforderlich, daß beide Blechseiten kopiert und geätzt werden. Voraussetzung dabei ist, daß die vorder- und rückseitige Kopie absolut zur Deckung gebracht werden, was nur durch eine besondere Vorrichtung und

die Anfertigung zweier spiegelbildlicher Rastervorlagen möglich ist.

Aber auch dann, wenn die absolute Deckung beider Kopien gesichert ist, ergeben sich während des Ätzens weitere Schwierigkeiten. Da das Ätzbad das Bestreben hat, nicht nur in der Tiefe, sondern auch in der Breite zu ätzen, muß die Ätzung der Vorder- und der Rückseite mehrmals unterbrochen werden. Die Platte wird nach einem kurzzeitigen Ätzen abgespült



Bild 3: Liniengravurraster

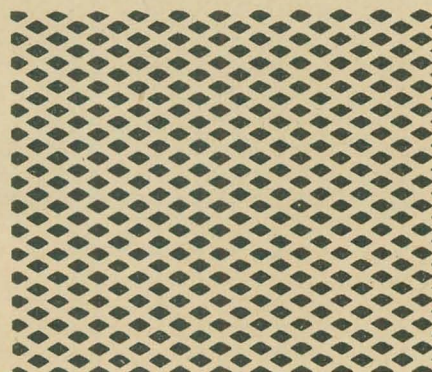


Bild 4: Rhombenraster

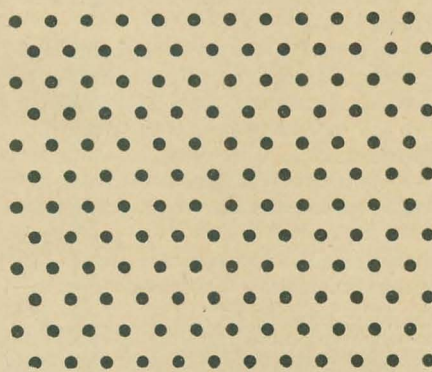


Bild 5: Punktraster

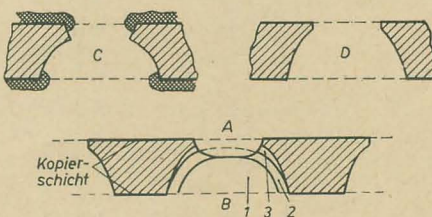


Bild 6: Schematische Darstellung des Ätzprozesses
A = einseitige Anätzung, zylindrischer Teil, B = Durchätzung, konischer Teil, 1 = erste, 2 = zweite, 3 = dritte Ätzabtragung, C = Durchätzung bei Abdeckung der Kanten, D = fertige Ätzung

und getrocknet und danach mit einem festen Gewebe gut ausgerieben. Dadurch werden Ätzrückstände entfernt, und beim erneuten Ätzen kann das Ätzmittel das Metall gleichmäßig angreifen.

Die Vorder- und die Rückseite werden nacheinander geätzt, wobei die jeweils nicht zu bearbeitende Seite mit einem ätzfesten Schutzlack versehen ist. Nach der erfolgten Durchätzung wird dieser Schutzlack abgelöst und ein an der Übergangsstelle vom zylindrischen zum konischen Teil vorhandener Grat durch nochmaliges kurzes Ätzen entfernt. Hierbei werden die Kanten und ein Teil der Seitenflächen der Löcher durch eine säurefeste Schicht geschützt, die vor dem letzten Ätzgang aufgebracht wird (Bild 6). Vor der weiteren Verarbeitung der fertiggeätzten Maske wird auch diese Schutzschicht entfernt.

Probleme der Glastechnik

Ein weiteres technologisches Problem bei der Herstellung von Farbbildröhren ist die Verbindung von Kolbenkonus und Kolbenboden. Das für Schwarzweiß-Bildröhren angewandte Verfahren der Flammenverschmelzung ist nicht zu benutzen, da die Verbindung erst dann erfolgen kann, wenn sich die Leuchtstoffe bereits auf dem Kolbenboden befinden und die Maske im Kolbenboden befestigt ist. Beide Teile sind jedoch wärmeempfindlich und verhindern die Anwendung der zur Verschmelzung der Glasteile in ihrer Nähe notwendigen Temperaturen.

Zur Lösung dieses Problems wurde ein neuer Werkstoff entwickelt, sogenannter „Vitrokeramzement“. Mit diesem Material ist die Herstellung einer vakuumdichten Verbindung zwischen Glasboden und Glaskonus bei Temperaturen unterhalb des Transformationspunktes des Glases möglich.

Vitrokeramzement stellt eine Weiterentwicklung der bekannten Glaslote dar und steht hinsichtlich seiner Eigenschaften zwischen Glas und Keramik. Während Glaslot stets in einer Glasphase vorliegt, d. h. ein nichtlineares Ausdehnungsverhalten mit einem ausgeprägten Maximum in der AK-Kurve besitzt, erfolgt bei Vitrokeramzement oberhalb einer bestimmten Temperatur eine Umwandlung von der Glasphase in eine kristalline Phase. Verbunden mit dieser Umwandlung ist eine wesentliche Eigenschaftsänderung. So liegt der Erweichungspunkt der kristallinen Phase um wenigstens 100 °C höher als der der Glasphase, und die Kurve des Ausdehnungsverhaltens zeigt einen nahezu linearen Verlauf. Dadurch ist eine spannungsfreie Verlötung von Glasteilen möglich. Auf Grund der Erhöhung des Wiedererweichungspunktes des Vitrokeramzements können verlötete Vakuumgefäße, z. B. Farbbildröhren, einer erneuten Wärmebehandlung, wie dies beim Pumpprozeß notwendig ist, ohne Schwierigkeiten ausgesetzt werden. Es besteht dabei nicht die Gefahr, daß die Lötnaht zu erweichen beginnt, durch den Pumpprozeß herausgedrückt und aufgebläht wird und dadurch zu undichten Stellen führt. Ein weiterer Vorteil der Lötnahte ist ihre große Beständigkeit gegenüber Luftfeuchtigkeit und Chemikalien. Selbst Flußsäure und Chromschwefelsäure, in der Röhrenindustrie zur Säuberung von Röhren oft verwendete Chemikalien, haben eine kaum meßbare Einwirkung. Nur sollen möglichst 10 % ige Salpetersäure und Natronlauge nicht über

längere Zeit mit Vitrokeramzement-Nähten in Berührung kommen.

Wichtig für die Art einer Vitrokeramzement-Verbindung ist die Festlegung und Einhaltung eines bestimmten Heizzyklusses.

Das Vitrokeramzementpulver wird mit einer Binderlösung zu einer zähflüssigen Paste angerührt, um ein Auftragen auf die zu verbindenden Flächen zu ermöglichen. Während des Verlötvorganges wird als erstes der Binder, eine organische Verbindung, ausgeheizt. Danach erfolgt ein Sintern des Vitrokeramzements. Oberhalb der Sintertemperatur beginnt die Kristallisation, deren Geschwindigkeit wesentlich von dem weiteren Wärme-prozeß abhängig ist. Die Temperaturkurve hat auch auf die Art des Ausdehnungsverhaltens des Vitrokeramzements einen wesentlichen Einfluß, da hiervon der Anteil der Restglasphase abhängt. In Abhängigkeit von der Vitrokeramzementsorte und dem Ausdehnungs-

koeffizienten des Glases muß daher die Temperaturkurve für die Verlotung genau festgelegt werden.

Bei der für die Verlotung von Farbbildröhren verwendeten Vitrokeramzementsorte muß die Temperatur bei 450 °C eine halbe Stunde gehalten werden. Hochheiz- und Abkühlgeschwindigkeit richten sich dagegen im wesentlichen nach Größe und Form des Glasgefäßes. Nach der Verlotung besitzt die Naht eine weißliche und undurchsichtige Farbe.

Literatur

- [1] I. Bornemann: „Die Farbbildröhre vom Maskentyp“, Wiss. Zeitschrift der Hochschule für Elektrotechnik Ilmenau 2/3 (1959) S. 191 ... 195
- [2] I. Bornemann: „Perspektiven von Farbbildröhren mit nur einem Elektronenstrahl-system im Vergleich zur Dreistrahl-

Maskenröhre“, Nachrichtentechnik 10 (1960) S. 305 ... 308

- [3] J. Möbius: „Ablenkprobleme eines Farbfernsehempfängers mit einer Dreifarben-Maskenröhre“, Nachrichtentechnik 10 (1960) S. 546 ... 550

- [4] D. Wildgrube: „Die Elektronik der Farbfernsehempfänger“, Nachrichtentechnik 7 (1959) S. 323 ... 327

- [5] S. H. Kaplan: „Control of Fluorescent Screen Dot Size for Color TV“, Journ. SMPTE, vol. 65, No. 8, August 1956, S. 407 ... 410

- [6] H. Röder: „Die Chemigrafie als technologi-sches Verfahren in der Röhrentechnik des Fernsehens“, Nachrichtentechnik 11 (1961) S. 496 ... 498

- [7] I. Bornemann: „Ein neuer Werkstoff für Spezialzwecke insbesondere der Vakuum-technik — Vitrokeramzement“, Nachrichtentechnik 11 (1961) S. 488 bis 492

Farbfernsehen Teil 3 und Schluß

N. PUDOLLEK

Die Modulation des Farbhilfsträgers

Zwei voneinander völlig unabhängige Signale lassen sich erst dann mit einem einzigen Träger übermitteln, wenn für beide Signale unterschiedliche Modulationsarten gewählt werden. Eine Möglichkeit wäre beispielsweise die Verwendung von Amplituden- und Frequenzmodulation. Ein solches Verfahren, unter der Bezeichnung FAM-System, wurde von den Philips-Forschungslaboratorien in Eindhoven untersucht. Beim NTSC-Farbfernsehsystem werden die beiden Farbdifferenzsignale als Amplituden- und Phasenmodulation des Farbhilfsträgers mit Trägerunterdrückung über-tragen.

Die Modulation geschieht auf folgende Weise: Zwei um 90° phasenverschobene Spannungen des Farbhilfsträgers werden mit je einem Farbdifferenzsignal amplitudenmoduliert. Dazu werden zwei Modulatoren wie im Bild 24 zusammen-geschaltet. Zum besseren Verständnis soll die Vektordarstellung im Bild 25 dienen. Bei der Amplitudenmodulation der um 90° versetzten Trägerwellen Ω_0 und Ω_{90} mit den Farbdifferenzsignalen $\omega(E_R' - E_Y')$ und $\omega(E_B' - E_Y')$ entstehen die Seitenbandvektoren $\Omega_0 \pm \omega(E_R' - E_Y')$ und $\Omega_{90} \pm \omega(E_B' - E_Y')$. Dabei drehen sich die Vektorpaare jedes Trägers gegeneinander. (Der Einfachheit halber wurde hier angenommen, daß die Modulationsfrequenzen $(E_R' - E_Y')$ und $(E_B' - E_Y')$ sinusförmig sind). Die Resultierende eines Vektorpaares fällt mit dem Träger stets in eine Richtung. Die Trägerzeiger ändern da-durch ständig ihre Länge. Für die beiden Trägerwellen läßt sich wiederum ein gemein-samer Vektor, die Resultierende R, bilden. In Abhängigkeit von den Modulationsspannungen ändert sich nun die Länge und die Rich-tung der Resultierenden R, und man erhält praktisch eine Phasen- und Amplituden-modulation des Trägers. Wie bereits erwähnt,

erfolgt die Modulation des Farbhilfsträgers mit Trägerunterdrückung, d. h. es werden ledig-lich die Seitenbänder, nicht aber der Träger selbst übertragen. Moduliert wird durch mul-tiplikative Mischung in einer Mehrgitterröhre. Moduliert man wie im Bild 26 über das Brems-gitter einer Pentode, so entsteht an der Anode ein Signalmisch aus dem videofrequenten Farbdifferenzsignal $(E_R' - E_Y')$, den Träger-schwingungen Ω_{90} und den beiden Seitenband-schwingungen $\Omega_{90} \pm \omega(E_R' - E_Y')$. Es liegt also hier eine ganz normale Amplituden-modulation vor.

Wollte man nun eine der Komponenten, in diesem Falle den Träger, unterdrücken, so wäre die Anwendung einer Filterschaltung, auch mit extrem steilen Flanken, nur dann sinnvoll, wenn die tiefste Modulationsfrequenz noch einen genügend großen Abstand zum Träger besitzt. Bei den Farbdifferenzsignalen ist das aber nicht der Fall.

Einen Farbhilfsträgermodulator mit Träger-unterdrückung, wie er in den USA Verwen-dung findet, zeigt Bild 27. Es handelt sich hier um einen sogenannten Doppel-Gegentak-modulator (doubly balanced modulator). Zwei Hexoden, R₀₁ und R₀₂, werden eingangsseitig in Gegentakt betrieben. Das videofrequente Farbdifferenzsignal gelangt über eine Phasen-umkehrschaltung gegensinnig an die durch eine Diodenklemmschaltung einwandfrei schwarz-gesteuerten Steuergitter der Hexoden. Eine exakte Schwarzpegelhaltung ist unbedingt notwendig, da das Farbdifferenzsignal sowohl positive als auch negative Werte annehmen kann.

Die Anoden der Hexoden besitzen einen gemein-samen Arbeitswiderstand, so daß sich die Farbdifferenzsignale wegen ihrer Gegenpha-sigkeit am Ausgang aufheben. Das gleiche ge-schieht auch mit der Farbhilfsträgerspannung, die über einen Gegentaktransformator auf die

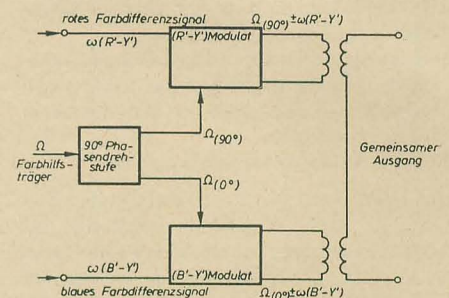


Bild 24: Grundsätzlicher Aufbau eines Farbmodulators

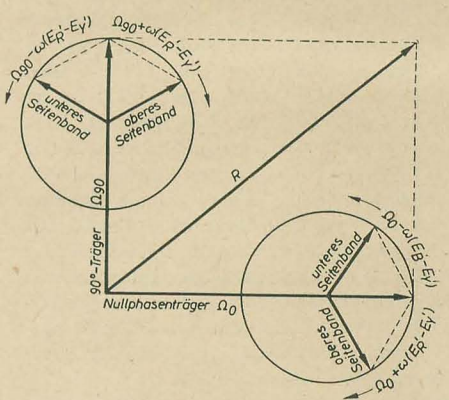


Bild 25: Vektordarstellung der zweifachen Amplitudenmodulation

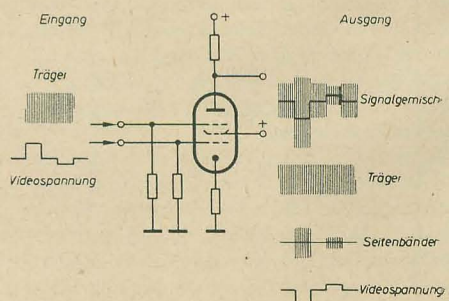


Bild 26: Bremsgittermodulation

dritten Gitter der Hexoden gegeben wird. Am Ausgang dieses Modulators entstehen dann nur noch die beiden Seitenbänder. Dazu muß natürlich eine vollkommen symmetrische Arbeitsweise des Modulators Voraussetzung sein. Darin liegt ein Nachteil dieser Schaltung begründet. Es ist schwierig, neben einem exakten Nullabgleich die notwendige Linearität der Modulationskennlinien mit Verstärkerröhren zu erreichen. In dieser Beziehung ist eine Ringmodulatorschaltung nach Bild 28 günstiger. Die Farbdifferenzsignale werden wieder über einen Gegentakverstärker dem Modulator zugeführt. Sie werden über die Mittelanzapfungen der Transformatorwicklungen L_1 und L_2 in die Diagonalen des Ringmodulators eingespeist. Die Farbhilfsträgerschwingungen, über L_2 eingekoppelt, übernehmen die Funktion einer Schaltspannung, indem während der

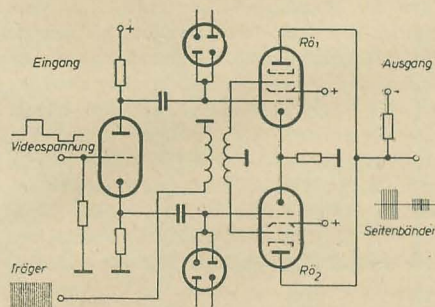


Bild 27: Doppelgegentaktmodulator mit Trägerunterdrückung

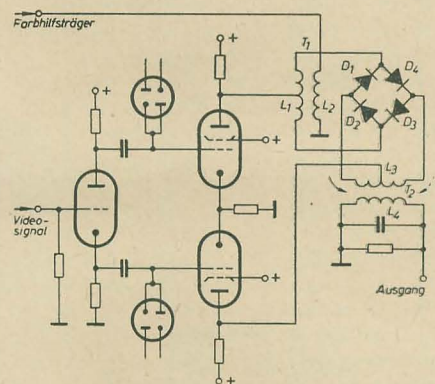


Bild 28: Ringmodulator in Gegentaktschaltung

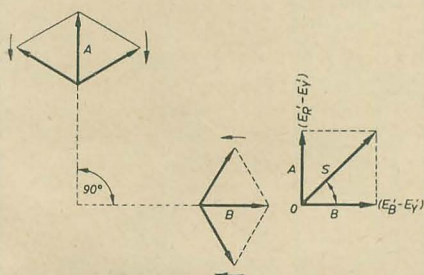


Bild 29: Vektordarstellung der Farbhilfsträgermodulation mit Trägerunterdrückung

ersten Halbwelle z. B. D_1 und D_2 und in der zweiten D_3 und D_4 geöffnet werden. Davon abhängig muß das videofrequente Farbdifferenzsignal durch den linken bzw. rechten Teil der Primärwicklung des Ausgangstransformators T_2 laufen. Am Sekundärkreis mit L_4 ent-

stehen dann nur die Seitenbänder einer trägerfrequenten Schwingung, deren Amplituden dem videofrequenten Signal proportional sind. Die Vektordarstellung des modulierten Farbhilfsträgers mit Trägerunterdrückung zeigt Bild 29. Werden die resultierenden Seitenbandvektoren A und B auf die entgegengesetzte 90-Grad-Achse projiziert, so läßt sich für beide Vektoren ein gemeinsamer Bezugspunkt 0 finden. Die Resultierende zwischen A und B bildet den Vektor S, der dem modulierten Farbhilfsträger mit Trägerunterdrückung entspricht. Dieses Signal erhält man am gemeinsamen Ausgang des Modulators nach Bild 24. Wie man aus der Vektordarstellung ersieht, ist die Länge und Richtung des modulierten Signales nun unmittelbar durch die Farbdifferenzsignale bestimmt. Die Länge entspricht der geometrischen Summe aus $(E_R' - E_Y')$ und $(E_B' - E_Y')$

$$S = \sqrt{(E_R' - E_Y')^2 + (E_B' - E_Y')^2}$$

Betrachtet man die (B-Y)-Achse als Bezugsrichtung, so kann die Richtung des resultierenden Zeigers S durch den Winkel φ ausgedrückt werden:

$$\tan \varphi = (E_R' - E_Y') / (E_B' - E_Y')$$

Der Vektor S dreht sich mit der Kreisfrequenz des Farbhilfsträgers $\Omega = 2 \cdot \pi \cdot 4,4296875 \text{ MHz}$ um den Bezugspunkt 0. So kann man letztlich für die modulierte Ausgangsspannung schreiben

$$u_F = S \cdot \sin(\Omega t + \varphi)$$

Für jeden Farbwert des Farbdreiecks läßt sich nun ein ganz bestimmter Vektor ermitteln, wenn man die (B-Y)- und (R-Y)-Achse in das Dreieck einzeichnet. Die Achsen schneiden sich im Weißpunkt. In diesem Punkt gibt es dann keine Farbinformation. Es bleibt lediglich das Helligkeitssignal E_Y übrig, z. B. wenn ein ganz normales Schwarz-Weißbild mit Grauwerten übertragen wird. Der Farbhilfsträger kann dann im Helligkeitskanal des Empfängers keine Perlschnurstörung verursachen, da er bei fehlender Farbinformation zu Null wird. Hierin liegt der Vorteil der Trägerunterdrückung begründet.

Bild 30 zeigt ein sogenanntes Farbphasendiagramm. Es enthält eine Reihe von Vektoren für Farben, die im allgemeinen als Teststreifen für das Farbfernsehen Verwendung finden. Am Umfang dieses Diagramms ist der Spektralfarbenzug angedeutet. Die Länge eines Vektors entspricht der jeweiligen Farbsättigung, während der Farbton durch dessen Richtung bzw. den Phasenwinkel bestimmt ist. Bei einer vollen Umdrehung des Farbvektors ($\varphi = 0 \dots 360^\circ$) wird das gesamte Farbdreieck oder der ganze Farbkreis durchlaufen. Das Farbphasendiagramm ist nicht nur eine theoretische Darstellungsweise der Farbübertragung mit Hilfstäger, der Farbvektor besitzt tatsächlich diese Amplituden- und Phasenverhältnisse unter Bezugnahme auf die (B-Y)-, bzw. (R-Y)-Achse, die mit speziellen Meßgeräten für das Farbfernsehen, wie z. B. mit einem Vektorskop, abgebildet werden können. So hätte beispielsweise der Farbvektor für Grün mit beliebiger Sättigung einen Phasenwinkel von 209° , für Rot dagegen 70° . Betrachtet man den Vektor für Purpur, so ersieht man aus Bild 30, daß er sich zwischen den positiven Teilen der (B-Y)- und (R-Y)-Achsen befindet. Fällt man das Lot

von der Vektorspitze auf die Koordinatenachsen, so lassen sich die Anteile von B-Y und R-Y ablesen. Der Vektor von Purpur hat einen Phasenwinkel von 61° . Damit liegt das Verhältnis der Farbdifferenzspannungen fest. Die absoluten Beträge der Farbdifferenzspannungen bestimmen dann die Farbsättigung.

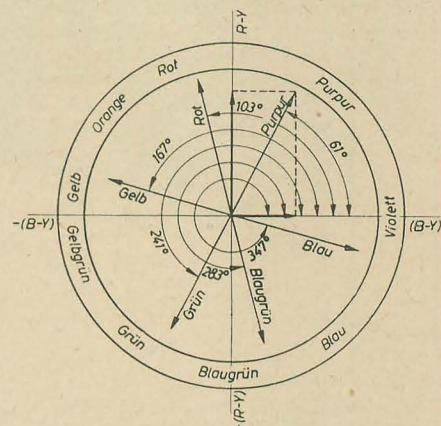


Bild 30: Farbphasendiagramm mit den Vektoren einiger Testfarben

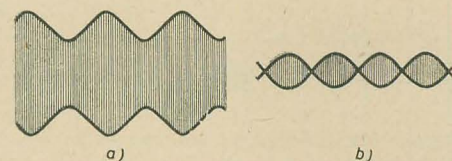


Bild 31: Ausgangsspannung eines AM-Modulators, a) ohne, b) mit Trägerunterdrückung

Die Demodulation des Farbhilfsträgersignales

Im Bild 31 ist das Oszillogramm am Ausgang eines AM-Modulators dem eines Gegentaktringmodulators mit Trägerunterdrückung gegenübergestellt. Die Hüllkurve am Ausgang des AM-Modulators enthält die unverfälschte Modulationsspannung. Grundsätzlich anders sieht es bei der Kurve mit unterdrücktem Träger aus. In der Hüllkurve läßt sich nun die Modulationsspannung nicht mehr in der ursprünglichen Form nachweisen. Aus diesem Grunde kann für die Demodulation des Farbhilfsträgers kein gewöhnlicher AM-Detektor angewendet werden. Erst, wenn im Empfänger dem trägerlosen Farbsignal wieder ein Träger zugesetzt wird, kann eine Demodulation vorgenommen werden. Derartige Demodulationschaltungen sind unter der Bezeichnung Synchrondetektor bekannt. Es ist völlig gleichgültig, ob der Träger wie bei einem normalen AM-Sender direkt übertragen wird, oder ob er erst im Empfänger erzeugt werden muß. Wichtig ist nur, daß der bei der Demodulation zugesetzte Träger mit der Trägerfrequenz im Sender phasenstarr verkoppelt ist. In einem Farbfernsehempfänger nach dem NTSC-System erzeugt man in einer Quarzoszillatorstufe die Trägerfrequenz. Der Oszillator wird vom Sender her synchronisiert.

Der Farbdemodulator läßt sich ohne weiteres mit einem Modulator vergleichen. Hier wird ebenfalls durch multiplikative Mischung am Bremsgitter einer Mehrgitterröhre moduliert. Den prinzipiellen Aufbau eines Farbdemodulators zeigt Bild 32. An das Steuergitter der Hexode wird das trägerlose Farbsignal an-

gelegt, während über das dritte Gitter die Trägerspannung zugesetzt wird. Der Demodulationsvorgang läßt sich mathematisch ausdrücken, wenn man die Eingangsspannung am Steuergitter wieder mit

$$u_F = S \cdot \sin(\Omega t + \varphi)$$

bezeichnet. Der zugesetzte Träger hat, wie schon erwähnt, als Bezugsphase die (B—Y)-Achse, also $\varphi = 0$. Man kann den zugesetzten

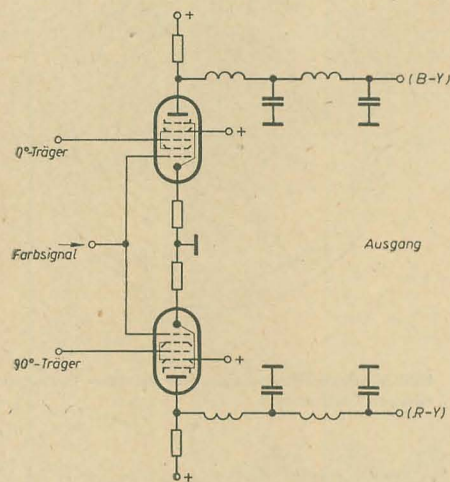


Bild 32: Prinzipschaltbild eines Farbdemodulators

Träger dann mit $\sin \Omega t$ bezeichnen. In der Hexode erfolgt eine multiplikative Mischung, nämlich:

$$S \cdot \sin(\Omega t + \varphi) \cdot \sin \Omega t$$

Bei Anwendung der Additionstheoreme erhält man daraus

$$S \cdot 0,5 \cdot \cos \varphi - 0,5 \cos(2\Omega t + \varphi)$$

Mit

$$\cos \varphi = \frac{B - Y}{S}$$

entsteht als Demodulationsprodukt das Farbdifferenzsignal $0,5(B - Y)$ und eine Spannung $0,5 \cdot S \cdot \cos(2\Omega t + \varphi)$, die sich um die doppelte Farbhilfsträgerfrequenz 2Ω gruppiert.

An der Anode entsteht also neben dem Farbdifferenzsignal ein Paar von Seitenbändern um den doppelten Träger herum, das für die weiteren Stufen des Empfängers unerwünscht ist. Zur Beseitigung dieser Seitenbänder schaltet man dem Demodulator ein Tiefpaßfilter nach, das gerade noch die Farbdifferenzspannung hindurchläßt.

Für die Wiedergewinnung des zweiten Differenzsignals R—Y wird analog zum Modulator in einem zweiten Demodulator ein um 90° phasenverschobener Träger verwendet. Hier entstehen ebenfalls Seitenbänder um die doppelte Farbhilfsträgerfrequenz herum, so daß auch beim (R—Y)-Demodulator ein Tiefpaßfilter notwendig ist.

Es wird jetzt

$$S \cdot \sin(\Omega t + \varphi) \text{ mit } \sin(\Omega t + 90^\circ)$$

multipliziert. Für $\sin(\Omega t + 90^\circ)$ kann man auch schreiben $\cos \Omega t$ und es wird

$$S \cdot \sin(\Omega t + \varphi) \cdot \cos \Omega t = 0,5 \cdot S \cdot \sin \varphi + 0,5 \cdot S \cdot \sin(2\Omega t + \varphi)$$

Mit $\sin \varphi = \frac{R - Y}{S}$ erhält man das rote Farbdifferenzsignal $0,5 \cdot (R - Y)$. Wie aus der mathematischen Darstellung hervorgeht, geht bei dem Demodulationsvorgang durch die Bildung der Seitenbänder um den doppelten Träger ein Teil der Energie der Farbinformation verloren. Dieser Verlust kann durch nachgeschaltete Verstärker sehr leicht ausgeglichen werden.

Der Aufbau einer Farbfernsehanlage bei Verwendung eines Farbhilfsträgers ist im Bild 33 wiedergegeben. Hier fällt die große Ähnlichkeit im Aufbau des Modulators und des Demodulators auf. Beide Teile haben praktisch die gleiche Aufgabe, nämlich die videofrequenten Farbdifferenzsignale im Frequenzspektrum zu versetzen. Dies sollen die Frequenzbänder im Übertragungsspektrum, die an die einzelnen Stufen gezeichnet wurden, veranschaulichen.

Den Modulatoren werden die in der Bandbreite begrenzten Farbdifferenzsignale zugeführt. Der (R—Y)-Modulator setzt das videofrequente Farbsignal in zwei Seitenbänder um den unterdrückten Träger herum um. Das gleiche geschieht im (B—Y)-Modulator, jedoch 90° phasenverschoben. Das Helligkeitssignal belegt den gesamten Übertragungskanal von $0 \dots 5$ MHz, in den die modulierten Farbsignale eingeschachtelt werden. Auf der Empfängerseite werden die Farbsignale über einen Bandpaßverstärker von den tiefen Frequenzen des Helligkeitssignales getrennt und den Demodulatoren zugeführt. Der (R—Y)-Demodulator setzt die Seitenbänder des geträgerten Farbsignales zu einem Teil in das videofrequente Farbdifferenzsignal R—Y und zum anderen in die zwei Seitenbänder um den doppelten Träger um. Das gleiche erfolgt im (B—Y)-Demodulator. Nach Durchlaufen der Tiefpaßfilter bleiben dann die videofrequenten Farbsignale übrig.

Bei der Übertragung der Farbsignale ist es sehr wichtig, daß sich die beiden Kanäle für

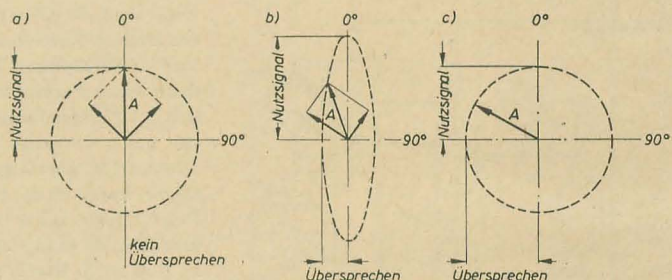


Bild 34: Vektordarstellung des Demodulationsvorganges, a) bei gleichlangen Vektoren, b) bei einseitiger Bandbegrenzung und c) bei Einseitenbandübertragung

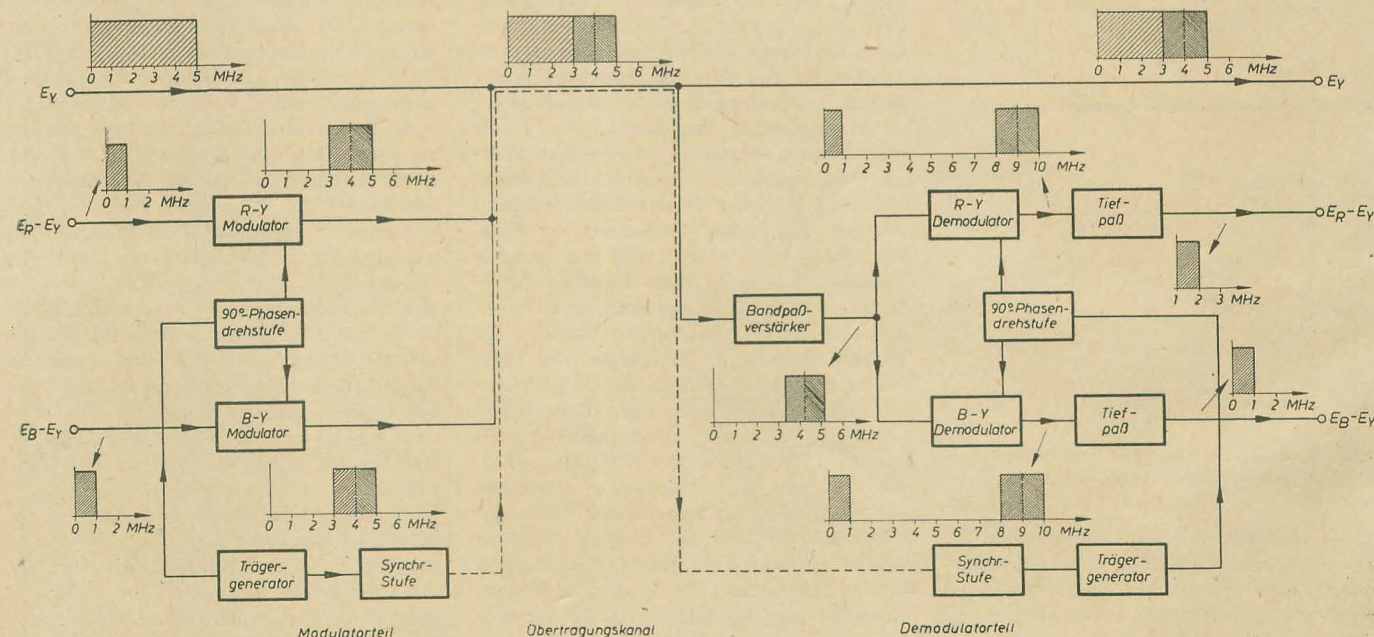


Bild 33: Farbfernsehsystem unter Anwendung eines Farbhilfsträgers

50-Hz-Generator für das Tonbandgerät BG 23

ROLF ANDERS

Leider ist in einigen Orten der DDR das Gleichstromnetz noch nicht restlos gegen ein Wechselstromnetz ausgetauscht. Für Bewohner dieser Gegenden ist es praktisch unmöglich, ein Tonbandgerät zu betreiben. Es sei denn, sie machen von der Möglichkeit der Wechselstromerzeugung mittels Wechselrichter oder Umformer Gebrauch.

Der Betrieb über einen Zehnhacker ist aber wegen der genügend bekannten Kontaktschwierigkeiten kaum zu empfehlen. Umformer gibt es zwar zum Preise von etwa 350 DM für Rundfunkempfänger vom VEB Elektromotorenwerk Hartha. Dieser Typ nimmt bei einer Leistung von $N_{ab} = 112 \text{ W}$ eine Leistung von $N_{zu} = 278 \text{ W}$ auf. Das entspricht einem Wirkungsgrad von $\eta = 0,4$. Trotz Drosselentstörung des Umformers waren mit einem solchen Typ HF-Störungen im FM- und AM-Bereich zu verzeichnen. Hinzu kommt das Laufgeräusch des Umformers, so daß es praktisch unmöglich ist, im Wohnraum, in dem das Rundfunk- bzw. Tonbandgerät betrieben wird,

ein solches Aggregat aufzustellen. Um also lediglich ein Tonbandgerät zu betreiben, ist ein Umformer bedeutend unwirtschaftlicher als ein Röhrengenerator. Beim Röhrengenerator kommt neben seiner relativen Wirtschaftlichkeit noch der Vorteil hinzu, daß er keinerlei Wartung bedarf, keine mechanisch bewegten Teile besitzt (kein Laufgeräusch) und keinerlei HF-Störungen hervorruft. Er kann unmittelbar neben dem Tonbandgerät aufgestellt werden.

Ein Preisvergleich zwischen einem industriell gefertigten Umformer und dem nachfolgend für den Selbstbau beschriebenen 50-Hz-Generator dürfte kaum real sein, denn der Amateur wird meist vorhandenes Material verwenden bzw. verbilligtes Material aus der „Einkaufsquelle“ Berlin oder Leipzig beziehen.

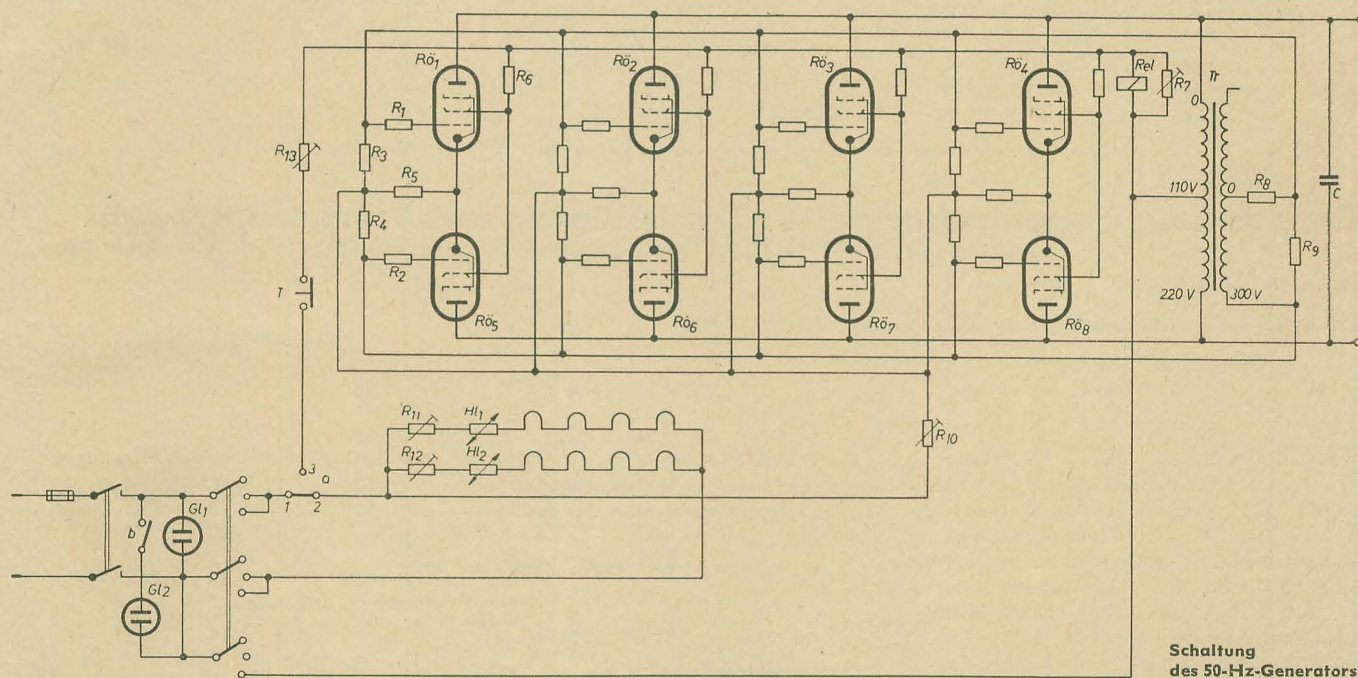
Schaltung

Die Schaltung des nachfolgenden Generators entspricht weitgehend der in radio und

fernsehen 6 (1956) von Herrn Hempel veröffentlichten Schaltung eines 50-Hz-Generators für Plattenspieler. Auch im vorliegenden Gerät wurde von der selbstschwingenden Endstufe Gebrauch gemacht. Die Belastungsabhängigkeit einer solchen Schaltung stört hier genauso wenig wie bei dem obengenannten Generator. Die Frequenzkonstanz ist bei dieser Schaltung sogar besser als bei einem versuchsweise aufgebauten Gerät mit Oszillator.

Bei der Wahl der Röhren wurde der Typ UL 84 verwendet. Er ist erstens sehr preisgünstig (für 9,50 DM) in der obengenannten Einkaufsquelle angeboten worden und gestattet zweitens gegenüber den P-Röhren eine ökonomisch günstigere Gestaltung des Heizkreises. Wie aus der Schaltung hervorgeht, arbeiten jeweils vier Röhren parallel. Mit dieser Schaltung wird eine Leistung bis max. 50 VA erzeugt. Das Tonbandgerät BG 23 benötigt etwa 35 VA.

Der Trafo sollte für 100 VA ausgelegt sein. Beim Mustergerät war ursprünglich ein Typ von 60 VA eingesetzt. Der Streubereich dieses Trafos gestattete es jedoch nicht, den Generator unmittelbar neben dem BG 23 aufzustellen. Mit dem 100-VA-Typ trat neben weit geringerer Erwärmung (ursprünglich etwa 60 °C)



(Fortsetzung von Seite 12)

R—Y und B—Y nicht gegenseitig beeinflussen. Das würde zur Folge haben, daß sich in Abhängigkeit von der Farbhilfsträgeramplitude S, also der Farbsättigung, auch der Farbtön ändert. Diesen Fall bezeichnet man als Neben- oder Übersprechen der Farbkanäle. Ein Nebensprechen kann dann entstehen, wenn bei der Übertragung der Seitenbänder, wie sie in den Modulatoren erzeugt werden, durch Bandbegrenzung ein Seitenband mehr gedämpft wird als das andere. Dazu soll die Vektordarstellung im Bild 34 betrachtet werden.

Solange die beiden Seitenbandvektoren glei-

che Längen besitzen, fällt, wie erwähnt, die Resultierende A immer mit der Richtung der Trägerschwingung zusammen. Bei unterschiedlichen Längen liegt die Resultierende aus den Seitenbandvektoren in einer anderen Richtung als der Trägerzeiger. Die Resultierende A bewegt sich dann nicht mehr auf einer Kreisbahn, sondern beschreibt eine Ellipse. Es liegt jetzt keine reine Amplitudenmodulation mehr vor, der Träger wird auch phasenmäßig verändert.

Den Demodulationsvorgang kann man sich so vergegenwärtigen, daß durch die zugesetzten Farbhilfsträger ein Achsenkreuz gebildet wird. Der resultierende Vektor A, auf diese Achsen projiziert, ergibt das gewünschte Farbsignal.

Im ersten Falle, bei gleichlangen Seitenbandvektoren, ist die Resultierende A gleich dem (R—Y)-Signal, da an der um 90° versetzten Achse keine Spannung entsteht. Im zweiten Falle erfolgt ein Nebensprechen, da allein durch das (R—Y)-Signal auch im (B—Y)-Kanal eine Spannung entsteht. Bei einer reinen Einseitenbandübertragung würde ein vollständiges Übersprechen eintreten. Ein Nebensprechen tritt natürlich nicht nur durch eine amplitudenmäßige Beeinflussung eines Seitenbandvektors auf. Phasenfehler im Übertragungsweg haben ähnliche Auswirkungen. Nicht zuletzt diese Tatsache macht das gesamte NTSC-System sehr empfindlich gegen Phasenfehler.

eine bedeutende Einschränkung des Streubereiches auf (noch etwa 30 cm!). Die Werte der verwendeten Widerstände sind bei allen Röhrenstufen gleich:

R_1 und R_2	1,6 k Ω
R_3 und R_4	500 k Ω
R_5	200 Ω
R_6	1 k Ω
R_8	500 k Ω
R_9	100 k Ω

Mit dem Vorwiderstand $R_{10} = 100 \Omega$ wird die Spannung am Ausgang (220 V ~) eingestellt. Mit R_{11} und R_{12} werden die Heizströme auf 100 mA eingestellt. Ihre Dimensionierung richtet sich je nach der Größe der verwendeten Heißeiter. Heißeiter sind in dieser Schaltung zwar nicht notwendig, wurden aber trotzdem angebracht, um die Dimension der Vorwiderstände klein zu halten. Als Netzschalter wurde ein dreipoliger Stufenschalter mit drei Schaltstellungen verwendet. Dadurch ist es möglich, durch Abschalten des Anodenstromes bei längeren Betriebspausen die Stromaufnahme des Gerätes auf 200 mA herabzusetzen, was nicht zuletzt der Lebensdauer der Röhren zugute kommt.

Der Schwingkondensator C wurde mit 2 μ F/350 V als optimal befunden. Es genügt, die Frequenz mit einem auf einem Industriergerät bespielten Band nach Gehör einzustellen, wo-

bei eine Vergrößerung von C eine Verringerung der Frequenz und eine Verkleinerung von C eine Erhöhung der Frequenz zur Folge hat.

Der vorliegende Generator darf nicht ohne Belastung betrieben werden, da sonst die Schirmgitter überlastet werden. Im einfachsten Falle könnte man den Geräteschalter vom BG 23 kurzschließen und das Gerät fest an den Generator anschließen. Eine andere Möglichkeit wäre, in jede Schirmgitterleitung einen niederohmigen Widerstand (etwa 100 Ω , 0,25 W) einzulöten. Wird der Generator versehentlich ohne Belastung betrieben, so verbrennt die Kohleschicht des Widerstandes.

Beide Wege erschienen jedoch als unelegant, und die Sicherheit der Röhren wurde auf folgende Weise gewährleistet.

In die Zuleitung zu den Schirmgittern wurde ein Rundrelais mit einem Wicklungswiderstand von 80 Ω geschaltet.

(Relaisbestückung: 1 \times Umschaltkontakt
1 \times Einschaltkontakt)

Im Normalfall (belasteter Ausgang) fließt vom Netzschalter über den Relaiskontakt a, der sich in Stellung 1/2 befindet, der Heiz- und Katodenstrom. Der Schirmgitterstrom fließt über die Relaiswicklung und den Parallelwiderstand R_7 (etwa 10 Ω). Hierbei muß R_7 so eingestellt werden, daß das Relais noch nicht anspricht. Wenn jedoch der Ausgang

geöffnet wird oder bei Inbetriebnahme geöffnet ist, steigt der Schirmgitterstrom sofort um sein Mehrfaches an. Das Relais zieht an und schaltet mit Relaiskontakt a in Stellung 1/3. Heiz- und Katodenstrom sind unterbrochen. Das Relais bekommt nun über Taste T (im ungedrückten Zustand geschlossen) und über Vorwiderstand R_{13} (2,2 k Ω) seinen Strom. Mit Kontakt b wird Glühlampe GL_2 an die Netzspannung gelegt und gibt somit optisches Signal für den Bedienenden. Nachdem der Ausgang nun wieder belastet ist, wird Taste T gedrückt, das Relais fällt ab, Kontakt a stellt sich in Stellung 1/2, Katoden- und Heizstrom fließen wieder; Kontakt b öffnet, die Glühlampe erlischt. Bei einer anderen Dimensionierung der Relais kann es durchaus möglich sein, daß Taste T entfallen kann, da das Relais eventuell bei Belastung des Ausgangs abfällt.

Über den Anschluß eines Tonbandgerätes an einen mit Gleichstrom betriebenen Allstromempfänger soll hier nicht näher eingegangen werden. Eine solche Anschaltung ist durchaus möglich, jedoch muß sie unbedingt berührungssicher durchgeführt werden, was mitunter einen Eingriff ins Tonbandgerät zur Folge hat. (Kurzschlußgefahr über Erdleitung beachten!) Ein nach angegebener Schaltung gebauter Generator arbeitet seit mehreren Monaten einwandfrei.

Berechnung gegengekoppelter Transistoren mit Vierpolmatrizen

Dipl.-Ing. H. ALBRECHT

Mitteilung aus dem Institut für Fernmelde- und HF-Technik, Universität Rostock

In den Abhandlungen über die Berechnung von Transistorschaltungen bedient man sich ständig der verschiedensten Parameter, die den Transistor als Vierpol kennzeichnen. Man beschränkt sich jedoch fast immer auf die ausgeschriebenen Vierpolgleichungen, ohne von dem Vorteil, daß die Vierpolkoeffizienten eine Matrix bilden, Gebrauch zu machen. Diese Eigenschaft kann jedoch sehr vorteilhaft für die Berechnung von komplizierten Schaltungen benutzt werden, z. B. für die Berechnung des gegengekoppelten Transistors, wie nachstehend vom Verfasser gezeigt wird. Von den möglichen vier Arten der Gegenkopplung sollen hier nur zwei näher betrachtet werden: Stromgegenkopplung bei nicht überbrücktem Emittorwiderstand und Spannungsgegenkopplung über einen Kollektor-Basiswiderstand.

Reihen-Stromgegenkopplung

Das Ziel ist, die h-Parameter der Zusammenschaltung von Transistor und Emittorwiderstand nach Bild 1 bzw. 2 zu berechnen, so daß diese als neuer Transistor mit anderen Eigenschaften aufgefaßt werden kann.

Da die beiden Teilvierpole am Eingang und Ausgang in Reihe geschaltet sind, benötigt man die Vierpolparameter der beiden Schalt-

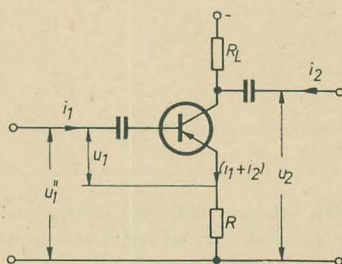
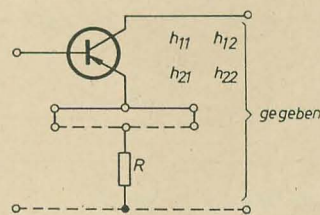


Bild 1: Transistor mit Stromgegenkopplung

Bild 2: Schaltung nach Bild 1, aufgeteilt in zwei Vierpole



elemente in der Widerstandsform, allgemein:

$$u_1 = z_{11}i_1 + z_{12}i_2$$

$$u_2 = z_{21}i_1 + z_{22}i_2$$

$$\text{als Matrix: } \begin{pmatrix} u_1 \\ u_2 \end{pmatrix} = \begin{pmatrix} z_{11} & z_{12} \\ z_{21} & z_{22} \end{pmatrix} \begin{pmatrix} i_1 \\ i_2 \end{pmatrix}$$

Die Parameter für den Transistor liegen aber immer in der h-Form vor, allgemein:

$$u_1 = h_{11}i_1 + h_{12}u_2$$

$$i_2 = h_{21}i_1 + h_{22}u_2$$

Die Zählweise für Ströme und Spannungen des Vierpols geht aus Bild 3 hervor.

Aus den h- und z-Gleichungen ergeben sich

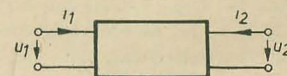


Bild 3: Zählweise für Ströme und Spannungen am Vierpol

durch Umstellung und Koeffizientenvergleich folgende Zusammenhänge:

$$z_{11} = \frac{h_{11}}{h_{22}}; \quad z_{12} = \frac{h_{12}}{h_{22}}; \quad z_{21} = -\frac{h_{21}}{h_{22}}; \quad z_{22} = \frac{1}{h_{22}}; \quad |z| = \frac{h_{11}}{h_{22}}$$

mit

$$|z| = z_{11}z_{22} - z_{12}z_{21}; |h| = h_{11}h_{22} - h_{12}h_{21}$$

bzw. umgekehrt:

$$h_{11} = z_{11} - \frac{z_{12}z_{21}}{z_{22}} = \frac{|z|}{z_{22}}; h_{12} = \frac{z_{12}}{z_{22}};$$

$$h_{21} = -\frac{z_{21}}{z_{22}}; h_{22} = \frac{1}{z_{22}}; |h| = \frac{z_{11}}{z_{22}}$$

Diese Gleichungen gelten zunächst für den Transistor allein. Für den Emitterwiderstand als Vierpol (Bild 4) läßt sich sofort ableiten:

$$u_1 = u_2$$

$$u_1 = (i_1 + i_2) R$$

$$u_2 = (i_1 + i_2) R$$

Daraus folgt:

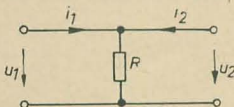
$$z'_{11} = R \quad z'_{12} = R$$

$$z'_{21} = R \quad z'_{22} = R$$

Es ist streng darauf zu achten, daß bei der praktischen Anwendung der Vierpol-Matrizen gleiche Zählrichtungen für Spannungen und Ströme eingehalten werden.

Die z'' -Parameter der Reihenschaltung von Transistor und Emitterwiderstand ergeben

Bild 4:
Emitterwiderstand
als Vierpol



sich nun einfach durch Addition der einzelnen z -Parameter:

$$z''_{11} = \frac{|h|}{h_{22}} + R; \quad z''_{12} = \frac{h_{12}}{h_{22}} + R;$$

$$z''_{21} = -\frac{h_{21}}{h_{22}} + R; \quad z''_{22} = \frac{1}{h_{22}} + R$$

Nach den Regeln für die Umwandlung $z \rightarrow h$ erhält man damit bereits die gewünschten h'' -Parameter für die Zusammenschaltung, wobei $h_{22}R = n$ gesetzt wurde:

$$h''_{11} = h_{11} + \frac{n}{h_{22}} \cdot \frac{(1 + h_{21})(1 - h_{12})}{1 + n}$$

$$h''_{12} = \frac{h_{12} + n}{1 + n}$$

$$h''_{21} = \frac{h_{21} - n}{1 + n}$$

$$h''_{22} = \frac{h_{22}}{1 + n}$$

Einfachere Näherungsformeln für die neuen Parameter ergeben sich, wenn man bedenkt, daß stets $n \ll 1$; $h_{12} \ll 1$ und $h_{21} \gg 1$ sein wird. Damit erhält man:

$$h''_{11} \approx h_{11} + Rh_{21}; \quad h''_{12} \approx h_{12} + Rh_{22};$$

$$h''_{21} \approx h_{21}; \quad h''_{22} \approx h_{22}$$

$$|h''| = |h|$$

Parallel-Spannungsgegenkopplung

Beide Vierpole, der Transistor und der Gegenkopplungswiderstand, liegen jetzt am Eingang und am Ausgang parallel (s. Bilder 5 und 6). In diesem Fall ermittelt man die Parameter der Gesamtschaltung über die Leitwert-Matrizen. Es gilt allgemein:

$$i_1 = y_{11}u_1 + y_{12}u_2$$

symbolisch: $||i|| = ||y|| \cdot ||u||$

$$i_2 = y_{21}u_1 + y_{22}u_2$$

Durch Vergleich mit den Transistor-Gleichungen in Hybridform oder Widerstandsform ermittelt man

$$y_{11} = \frac{1}{h_{11}}; \quad y_{12} = -\frac{h_{12}}{h_{11}}; \quad y_{21} = \frac{h_{21}}{h_{11}};$$

$$y_{22} = \frac{|h|}{h_{11}} \text{ bzw. } h_{11} = \frac{1}{y_{11}}; \quad h_{12} = -\frac{y_{12}}{y_{11}}; \quad h_{21} = \frac{y_{21}}{y_{11}};$$

$$h_{22} = \frac{|y|}{y_{11}}$$

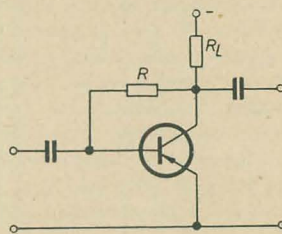


Bild 5: Transistor mit Spannungsgegenkopplung

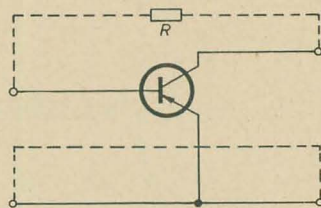


Bild 6: Schaltung nach Bild 5, aufgeteilt in zwei Vierpole

Für den Rückkopplungsvierpol ergibt sich (s. Bild 7) mit $i_1 + i_2 = 0$.

$$i_1 = \frac{u_1}{R} - \frac{u_2}{R}$$

$$i_2 = -\frac{u_1}{R} + \frac{u_2}{R}$$

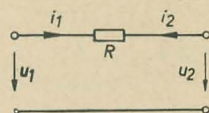


Bild 7: Rückkopplungsvierpol

Daraus folgt

$$y'_{11} = \frac{1}{R}; \quad y'_{12} = -\frac{1}{R}$$

$$y'_{21} = -\frac{1}{R}; \quad y'_{22} = \frac{1}{R}$$

Für die Parallelschaltung erhält man dann die Koeffizienten

$$y''_{11} = \frac{R + h_{11}}{R h_{11}}; \quad y''_{12} = -\frac{R h_{12} + h_{11}}{R h_{11}};$$

$$y''_{21} = \frac{R h_{21} - h_{11}}{R h_{11}}; \quad y''_{22} = \frac{R |h| + h_{11}}{R h_{11}}$$

bzw. mit

$$m = \frac{h_{11}}{R}$$

$$h''_{11} = \frac{h_{11}}{1 + m}; \quad h''_{12} = \frac{h_{12} + m}{1 + m};$$

$$h''_{21} = \frac{h_{21} - m}{1 + m}$$

$$h''_{22} = h_{22} + \frac{1}{R} \frac{(1 - h_{12})(1 + h_{21})}{1 + m}$$

Unter Beachtung von $m \ll 1$, $h_{12} \ll 1$, $h_{21} \gg 1$ ergeben sich die Näherungen

$$h''_{11} \approx h_{11}; \quad h''_{12} \approx h_{12} + \frac{h_{11}}{R}; \quad h''_{21} \approx h_{21};$$

$$h''_{22} \approx h_{22} + \frac{h_{21}}{R} \quad |h''| = |h|$$

Spannungsbedarf und Widerstände

Um den gegengekoppelten Transistor bis zu dem gleichen Kollektorwechselstrom auszusteuern, der beim nichtgegengekoppelten Transistor zulässig war, müssen Eingangsspannung bzw. Eingangsstrom erhöht werden. Für den nichtgegengekoppelten Transistor ergibt sich

$$i_2 = u_1 \frac{h_{21}}{h_{11} + R_L |h|}$$

mit R_L = Lastwiderstand oder Außenwiderstand.

Bei Stromgegenkopplung über einen Emitterwiderstand wird

$$i''_2 = u''_1 \frac{h''_{21}}{h''_{11} + R_L |h''|} = i_2$$

Setzt man die errechneten Parameter h'' ein, so folgt

$$\frac{u''_1}{u_1} = 1 + \frac{R}{R_L} \cdot \frac{R_L h_{21}}{h_{11} + R_L |h|} = 1 + k |g_u|$$

mit k = Kopplungsfaktor $\frac{R}{R_L}$ und g_u = Spannungsverstärkung ohne Gegenkopplung.

Bei Spannungsgegenkopplung erhält man für gleichen Kollektorstrom auch die gleiche Eingangsspannung:

$$u''_1 = u_1$$

Der Eingangsstrom jedoch wird größer. Es ist

$$i_2 = i_1 \frac{h_{21}}{1 + h_{22}R_L}$$

Bildet man i'_1 und setzt die entsprechenden Koeffizienten ein, so folgt analog

$$\frac{i'_2}{i_1} = 1 + k' g_i$$

mit

$$k' = \frac{y}{Y_L}$$

= Kopplungsfaktor

und g_i = Stromverstärkung ohne Gegenkopplung. Ganz ähnlich leitet man für den Eingangswiderstand bei Stromgegenkopplung ab:

$$R''_e = R_e (1 + k |g_u|)$$

und bei Spannungsgegenkopplung für den Leitwert:

$$Y''_e = Y_e (1 + k' g_i)$$

Für die Ausgangswiderstände lassen sich die Formeln nicht in dieser Weise vereinfachen. Man erhält bei Stromgegenkopplung

$$R''_a = R_a \left(1 + \frac{R h_{21}}{h_{11} + R g} \right)$$

und bei Spannungsgegenkopplung

$$Y''_a = Y_a \left(1 + \frac{Y h_{21}}{h_{22} + |h| Y_g} \right)$$

mit R_g = Generator-Innenwiderstand = $\frac{1}{Y_g}$ und $R = \frac{1}{Y}$

Die abgeleiteten Gleichungen gelten entsprechend für Kollektor- und Basisschaltung bei Anwendung der zugehörigen Parameter. Es sei noch darauf hingewiesen, daß die Schaltungsberechnung mit Vierpolmatrizen auf jede beliebige Zusammenschaltung von Vierpolen, d. h. Schaltelementen oder Netzwerken, bei denen keine Eingangs- oder Ausgangsströme bzw. -spannungen zu Null werden, mit Vorteil angewandt werden kann.

Kurzschlußprüfungen an Transistoren

Dipl.-Phys. U. TARNICK und Ing. W. DENDA

Mitteilung aus dem VEB Halbleiterwerk Frankfurt (Oder)

Die elektrischen Messungen, die während des Produktionsvorganges bei verschiedenen Fertigungsstufen an unfertigen Bauelementen durchgeführt werden, dienen zur Feststellung etwaiger Fehlerquellen in bestimmten Arbeitsgängen der Fertigung und zur Beseitigung des Ausschusses. Bei mechanischen Arbeitsgängen werden außerdem noch Sichtkontrollen eingeschoben, bei denen mechanische Fehler erkannt werden.

Der Legierungsvorgang

Der erste Arbeitsgang der Transistorfertigung ist das Auflegieren der Emitter- und Kollektorperlen. Die gesäuberten Kristallplättchen durchwandern mit den Emitter- und Kollektorperlen in Graphitformen einen Durchlauf-ofen. Dabei findet ein Einlegieren der Perlenmetalls in das Germanium statt. Jetzt hängt aber die Wirksamkeit des Transistors entscheidend von der Schichtdicke des nicht legierten Germaniums zwischen den beiden Legierungsfronten ab (Bild 1). Diese Basis-schicht soll möglichst dünn sein. Es fällt nun ein gewisser Prozentsatz von Durchlegierungen an, die sich dann wegen des Fehlens von Sperrschichten als Kurzschlüsse zwischen Emitter und Kollektor bemerkbar machen. Der günstigsten Legierungstemperatur entspricht erfahrungsgemäß ein ganz bestimmter Anteil an Durchlegierungen. Auf diese Weise kann auf Grund der gemessenen Kurzschlüsse die genaue Legierungstemperatur eingeregelt werden.

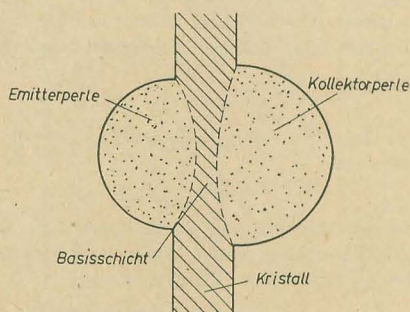


Bild 1: Die Legierungsübergänge im Kristall



Bild 2: Ersatzschaltbild der Emitter-Kollektor-Strecke

Methoden der Kurzschlußmessung

Die legierten Plättchen werden zu Fünfergruppen auf einen gemeinsamen Basisblechstreifen gelötet. Nach dem Einlöten der Elektrodenanschlüßdrähte in die Perlen werden die Transistorelemente einer Kurzschlußmessung unterzogen. Die einfachste Methode besteht darin, mit einem handelsüblichen Ohmmeter den Widerstand zwischen Kollektor- und

Emitteranschluß zu messen. Dieses Verfahren hat jedoch einen Nachteil. Die Emitter-Kollektor-Strecke stellt zwei gegeneinander gepolte Gleichrichter dar (Bild 2). Nun kann durch eine Verschmutzung, die auf der Kristalloberfläche sitzt und später durch das Sperrschichtätzen beseitigt wird, die Sperrwirkung in der einen Richtung beeinträchtigt sein, ohne daß eine Durchlegierung vorliegt. In einem solchen Falle würde bei ungünstiger

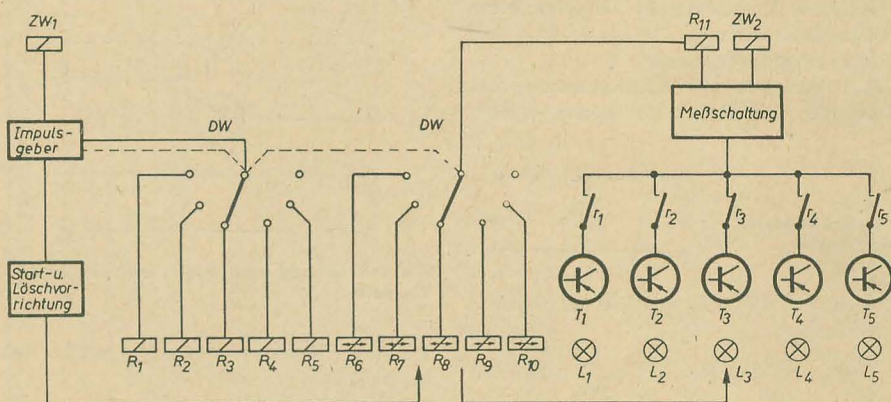


Bild 3: Blockschaltchema des Kurzschlußprüfautomaten

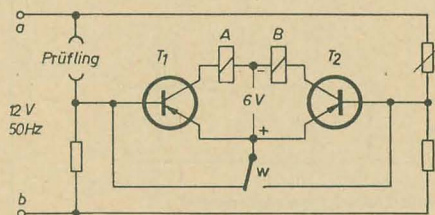


Bild 4: Wechselstrombrücke zur Kurzschlußmessung

Polung des Ohmmeters ebenfalls ein sehr niedriger Widerstand gemessen werden. Eine Durchlegierung äußert sich jedoch darin, daß die Emitter-Kollektor-Strecke in beiden Richtungen niederohmig ist.

Kurzschlußprüfautomat

Es wurde im HWF für die runde Bauform (OC 824 ... 829) ein Kurzschlußprüfautomat gebaut, der diese Besonderheit berücksichtigt. Die Prüflinge $T_1 \dots T_5$ (Bild 3) sind über ihren gemeinsamen Basisblechstreifen miteinander verbunden. Dieser Basisblechstreifen wird in eine Kontaktiervorrichtung gelegt. Dabei gelangen die Anschlußdrähte, die in den Emitter- und Kollektorperlen senkrecht zum Basisblech nach oben und unten ausgerichtet sind, zwischen je zwei Kontaktbolzen. Durch eine Hebelbewegung werden alle zehn Anschlußdrähte gleichzeitig von den Kontaktbolzen eingespannt. Bei diesem Einspannvorgang wird über eine Startvorrichtung ein Impulsgeber im Prüfautomaten ausgelöst. Der Impulsgeber schaltet im Takt von etwa 0,7 s

einen Drehwähler DW, der nacheinander die Relais $R_1 \dots R_5$ betätigt. Über diese Relais werden die Prüflinge der Reihe nach an die Meßschaltung gelegt. Nach dem Durchschalten der fünf Prüfobjekte, d. h. wenn der DW einen Umlauf beendet hat, bleibt die Automatik stehen, und die Prüflinge können aus der Kontaktiervorrichtung entfernt und durch neue ersetzt werden.

Fällt ein Prüfling aus, so wird dieser Kurzschluß vom Zählwerk ZW_2 registriert. Außerdem wird das Relais R_{11} erregt, das über den Drehwähler DW ein dem fehlerhaften Prüfling zugeordnetes Selbsthalterelais $R_6 \dots R_{10}$ betätigt. Dieses wiederum bringt eine Anzeigelampe, $L_1 \dots L_5$, zum Aufleuchten, die sich an

Aus

Nachrichtentechnik

Technisch-wissenschaftliche Zeitschrift für Elektronik · Elektroakustik · Hochfrequenz- und Fernmeldetechnik

Heft 12 (1961)

■ Frequenzstabilisierung eines Klystrongenerators im 4-GHz-Bereich

■ Frequenzumsetzung mit einer Wanderfeldröhre

■ Ferritbelastete Mikrowellenstrahler

■ Die Hornparabolantenne

■ Über den Nachweis höherer Schwingungsformen in Hohlleitern mit Hilfe des Strahlungsfeldes

Heft 1	Seiten 1... 32
Heft 2	Seiten 33... 64
Heft 3	Seiten 65... 96
Heft 4	Seiten 97... 132
Heft 5	Seiten 133... 164
Heft 6	Seiten 165... 196
Heft 7	Seiten 197... 228
Heft 8	Seiten 229... 264
Heft 9	Seiten 265... 296
Heft 10	Seiten 297... 328
Heft 11	Seiten 329... 360
Heft 12	Seiten 361... 392
Heft 13	Seiten 393... 424
Heft 14	Seiten 425... 456
Heft 15	Seiten 457... 492
Heft 16	Seiten 493... 524
Heft 17	Seiten 525... 556
Heft 18	Seiten 557... 588
Heft 19	Seiten 589... 620
Heft 20	Seiten 621... 652
Heft 21	Seiten 653... 688
Heft 22	Seiten 689... 720
Heft 23	Seiten 721... 752
Heft 24	Seiten 753... 784

radio und fernsehen

Halbmonatszeitschrift für

Radio · Fernsehen · Elektroakustik · Elektronik

VEB VERLAG TECHNIK BERLIN C 2



JAHRESINHALTSVERZEICHNIS

1961

10. Jahrgang

SACHWÖRTERVERZEICHNIS

A

Amateurfunk

HF-Baustein für einen Amateur-Doppelsuperhet 15; 56; 86
 Allwellenempfang mit handelsüblichen Tastensätzen . . . 470
 Eine moderne Amateurstation für das 2-m-Band. 599

Amplitudenmodulation

Schwankt bei der Amplitudenmodulation die Amplitude des Trägers? 694

Antennen

Leipziger Frühjahrsmesse 1961, Antennen 251
 Welche Spannung gibt eine Antenne ab? 343
 Bemerkungen zu den Begriffen „Welligkeit“ oder „Stehwellenverhältnis“ 397
 Die fachgemäße Errichtung von Antennen 421
 Mindestquerschnitte für Blitzschutzterder aus verzinktem Stahl 422
 Die Vorgänge in der Antennenenergieleitung 594
 Leipziger Herbstmesse 1961, Antennen 614

Versuche mit einer logarithmisch-periodischen Breitbandantenne 739

Aufgaben und Lösungen

58; 122; 253; 310

Ausbildung

Schmalspur oder Fläche? . . 135
 „Schmalspur oder Fläche“: Stellungnahmen und Diskussion 395
 Die Berufsausbildung zum Funkmechaniker 560

Auslandstechnik

Bulgarien
 II. Internationale Messe Brno 1960
 Fernsehen 112
 Meßtechnik und Elektronik 118
 China
 Leipziger Frühjahrsmesse 1961
 Röhren 248
 Halbleiter 250
 ČSSR
 Die Volksrepublik Ungarn und die ČSSR in Leipzig. 104
 II. Internationale Messe Brno 1960 112

Leipziger Frühjahrsmesse 1961
 Fernsehen 233
 Meßtechnik und Elektronik. 241
 Röhren 248
 Kommerzielle Nachrichtentechnik 274
 Einiges über den tschechoslowakischen TV-Empfänger
 „Lotos“ 563
 Die XXX. Internationale Messe in Poznań 1961
 Fernsehgeräte 624
 Rundfunkgeräte 625
 Elektroakustische Geräte . 626
 Geräte der Kommerziellen Nachrichtentechnik, Elektronik und Meßtechnik . . 628
 Bauelemente 631
 Der tschechoslowakische TV-Empfänger „Lotos“. 703

Dänemark

Elektronisches Chronometer, Typ MSM 1 76
 Leipziger Frühjahrsmesse 1961
 Meßtechnik und Elektronik . 246
 Die XXX. Internationale Messe in Poznań 1961
 Geräte der Kommerziellen Nachrichtentechnik, Elektronik und Meßtechnik . . 630
 Schwebungssumme, Typ HO 32 776

Frankreich

Klirrarmer Generator aus Frankreich. 17
 Zerhacker für Meßzwecke . . 30
 Leipziger Frühjahrsmesse 1961
 Fernsehen 234
 Elektroakustik 239
 Meßtechnik und Elektronik 246
 Röhren 249
 Halbleiter 250
 Bauelemente 251
 Kommerzielle Nachrichtentechnik 276
 Die XXX. Internationale Messe in Poznań 1961
 Geräte der Kommerziellen Nachrichtentechnik, Elektronik und Meßtechnik. . . . 630

Großbritannien

Leipziger Frühjahrsmesse 1961
 Fernsehen 234
 Meßtechnik und Elektronik 246
 Halbleiter 250
 Bauelemente 251
 Die XXX. Internationale Messe in Poznań 1961
 Geräte der Kommerziellen Nachrichtentechnik, Elektronik und Meßtechnik 630
 Zeilensystem und Farbfernsehen in England. 745

II. Internationale Messe Brno 1960, Elektroakustik	113
Wiedergabeentzerrung von Stereo-Schallplatten	139
Leipziger Frühjahrsmesse 1961, Elektroakustik	236
Bauanleitung: 15-W-NF-Verstärker	254
Bauanleitung: Ein NF-Verstärker guter Qualität.	280
Probleme der Messung des Frequenzganges eines Schallplattenabtasters	282
Die interessante Platte 286; 351; 412; 477; 684	
Wechselsprechen über Lichtnetz	286
Tonbandgerät mit Batterieantrieb	289
Wie verlängert man Mikrofonkabel?	314
Vierspur-Technik setzt sich durch	321
Eisenloser Gegentakt-AB-Verstärker mit den Transistoren OC 831	331
Bauanleitung: Ein ökonomischer Gegentaktverstärker	411
Einige Neuheiten der westdeutschen Industrie.	445
Bauanleitung: Stereo-Bandgerät für den Amateur 473; 501; 540	
Rundfunkübertragungsverfahren für Stereophonie 495; 552; 574	
4-W-Transistor-Stereoverstärker in gedruckter Schaltung	498
Motorola-Stereotechnik und ihre Baueinheiten.	500
Automatischer Plattenspieler „Ziphona A 30“	504
Wir lernen kennen: Automatischer Plattenspieler „Ziphona A 30“.	506
Bauanleitung für ein Tonbandabhörgerät.	507
Nebenstellenzusatz für Wechselsprechanlage	513
Leistungsfähiger Transistorverstärker für Kristallmikrofone	548
Selbstbau einer Kondensatormikrofonkapsel	550
Ein Mischpult für den Tonbandamateureur	576
Bauanleitung für einen 12-W-Gegentaktverstärker	586
Leipziger Herbstmesse 1961, Elektroakustik	617
Die XXX. Internationale Messe in Poznań 1961, Elektroakustische Geräte	626
Bauanleitung: Mischpult mit Transistorverstärker	638
Tonbandgerät „Tonmeister“ — selbst verbessert	645
Bauanleitung: Ein Nachhallgerät für den Tonbandamateureur 709	
Wann Vierspurtechnik?	717
Transistor-Mikrofonübertragungsanlage in Kleinstausführung	759
Bauanleitung: Miniatur-Transistor-NF-Verstärker	769
Die Studiomagnettontruhe MT 605	771

Elektronik

Stabilisierung von Wechselspannungen durch Glühlampen	18
Die Berechnung von Breitbandverstärkern nach dem Impulsverhalten	19
Linearverstärker in der Kerntechnik 24; 94; 161; 226; 293; 360	
Funktionsprinzipien der digitalen Spannungsmessung	27
Parametrische Resonanz und parametrische Verstärkung	54
Anwendungsmöglichkeiten von Silizium-Zenerdioden in der Elektronik	83
Ein elektronischer Flugzeitanalysator für die Spektroskopie langsamer Neutronen	91

Die Volksrepublik Ungarn und die ČSSR in Leipzig	104
Neue Geräte der sowjetischen Industrie	111
II. Internationale Messe Brno 1960, Elektronik	116
Verbesserung der Kurzzeitkonstanz elektronisch stabilisierter Netzgeräte	128
Modulationsvorgänge bei Eintaakt-, Gegentakt- und Ringmodulatoren	144
Elektronische Zeitschalter mit Transistoren	181
elgatron — ein Blitzgerät mit Transistoren	184
Bauanleitung: Elektronischer Zeitgeber für fotografische Zwecke	185
Dimensionierungsprobleme bei Leistungsstufen zur Erzeugung von Hochspannungen mit der Hochfrequenzmethode	187
Einfaches Klimagerät für Temperaturen zwischen —40 und +65 °C	194
Batteriegespeistes, digitales Meßgerät für radioaktive Strahlung	216
Aufbau, Wirkungsweise und Eigenschaften von Vakuumröhren-Zählrohren	219; 259
Leipziger Frühjahrsmesse 1961, Meßtechnik und Elektronik	239
Geregeltes Hochspannungsgerät hoher Konstanz	290
Der Skineffekt	304
Dimensionierung von Heißleiter-Widerstandskombinationen	306
Wir lernen kennen: Transistorblitzgerät „elgatron“	322
Synchronisation verschiedener Fotoblitzgeräte miteinander	323
Transistor-Schmitt-Trigger	340
Elektronische Messung und Registrierung von Temperaturen	347
Einfaches Demonstrationsmodell für Ziffernrechnautomaten	356
Erfolge der sowjetischen Elektronik	363
Moderne sowjetische Analogie-rechenmaschinen	379; 410
Wirkungsweise und Dimensionierung der Schmitt-Trigger-Schaltung	402
Impulsdichtemesser VA-D-40 mit verbesserter Schreiberanpassung	461
Probleme bei der Entwicklung eines elektronisch stabilisierten Netzgerätes mit Transistoren	482; 519; 545
Ein Transistor-Beta-Gamma-Radiometer	512
Transistorsteuerung für automatische Leuchter	515
Ein Halbleiterthermostat für thermoelektrische Messungen	516
Grundprinzipien der Molekularverstärker	561
Ein sägezahnmodulierter Impuls-generator für Linearitätsmessungen an Verstärkern	592
Amerikanischer „Waffel“-Empfänger	596
Leipziger Herbstmesse 1961, Elektronik	618
Die XXX. Internationale Messe in Poznań 1961, Elektronik	627
Ein Impulsformer für universelle Anwendungen	673
Elektrometrisches RICU-Meßgerät	681; 700
Phantastrom-Kippschaltung mit Röhren und Transistoren	696
Transistormultivibrator als periodischer Zeitschalter	741
Zur Dimensionierung von White-Katodenfolger-Schaltungen	746

Empfänger

siehe Rundfunk- bzw. Fernsehempfänger

F

Fachbücher

Wunsch, Laufzeitverzerrungen und Verzögerungsschaltungen	32
Hille, Fernsehen leicht verständlich	32
Shea, Transistortechnik	32
Ramo u. Whinnery, Felder und Wellen in der modernen Funktechnik	64
Lange, Schaltungen der Funkindustrie, Band III 3. US. Heft 2	
Zuzánek u. Deutsch, Československé miniaturní elektroniky 3. US. Heft 2	
Elseviers Fachwörterbuch für Verstärkung, Modulation, Empfang und Senden 3. US. Heft 2	
Der Transistor, Grundlagen und Kennlinien	96
Rothammel, UKW-Amateurfunk	131
Töpfer, Meßverfahren — leicht verständlich	131
Baranow, Radiometrie	164
Lennartz, Fernsehempfänger 3. US. Heft 5	
Tužek/Irmiler, Überlagerungs-empfänger, Gleichlauf — Abgleich — Reparatur	196
Krause, Signale aus dem Dunkeln	3. US. Heft 6
Winckel, Technik der Magnetspeicher	3. US. Heft 6
Gensel, Beiträge zur Theorie der Impulsverzerrungen in Schmalbandsystemen 3. US. Heft 8	
Kretzer, Handbuch für den Hochfrequenz- und Elektrotechniker, Band VI	296
Richter, Grundsicherungen der Radio-, Phono- und Fernsehtechnik	296
Ditl, Richtfunkverbindungen 3. US. Heft 9	
Dieminger, Ionosphäre und drahtloser Weitverkehr 3. US. Heft 9	
Skatschkow, Aufgabensammlung der Kernphysik	328
Muscher, Elektronische Zählgeräte für Kernstrahlung	328
Werner u. Barth, Kleine Fernseh-Reparatur-Praxis	328
Rothammel, Antennenbuch 3. US. Heft 10	
Friedrich, Tabellenbuch für die Elektrotechnik 3. US. Heft 10	
Vilbig, Lehrbuch der Hochfrequenztechnik, Band I 3. US. Heft 12	
Frügel, Impulstechnik	424
Kratzer/Franz, Transzendente Funktionen	424
Morgenroth, Alles hört auf UKW	3. US. Heft 13
Fischer/Blos, Transistor-Taschenempfänger — selbstgebaut 3. US. Heft 13	
Diefenbach, Fernseh-Service 3. US. Heft 13	
Ferner, Anschauliche Regelungstechnik	456
Richter, Meßpraxis	456
Kühne, Meß- und Schaltungspraxis für Heimton und Studio A Handbook for Telecommunication Engineers	3. US. Heft 15
Merkulow, Raketen fliegen zum Mond	555
Kühn, Streifzug durch die Technik	556
Seifert/Höppner, Können Maschinen denken?	556
Jakubasch/Scholz, Fernsehempfänger — selbstgebaut	588
Reck, Höchsthochfrequenztechnik und Amateurfunk	619
Schubert, Praktisches Radiobasteln III.	652
Krugmann, Transistoren	652
Lehmann, Einführung in die Hochfrequenzmeßtechnik	688
Fradin, Microwave Antennas	688

Bücher, Elektronik in Bildern 3. US. Heft 21	
Richter, Impulspraxis, Band I: Röhrenschaltungen 3. US. Heft 21	
Taeger, UKW- und Fernseh-Empfangsantennen	751
Lauterjung, Untersuchung symmetrischer Hochfrequenzleitungen	751
Apel, Elektronische Zähl-schaltungen	751
Hahn, Digitale Steuerungstechnik	752
Loos/Schmidt, Industrielles Fernsehen	784
Kment u. Kuhn, Technik des Messens radioaktiver Strahlung	3. US. Heft 24
Kayser, Untersuchung des Nachrichteninhalts von Flächenkonstrukturen unter besonderer Berücksichtigung der Schreibmaschinenschrift 3. US. Heft 24	

Fernsehbildröhren

Eine neue Flachröhre großen Bildformats — die Rückstrahl-bildröhre	137
Eine neue Bildröhre mit scharfen Ecken und 47 cm Diagonale	399

Fernsehempfänger

Wir lernen kennen: TV-Empfänger „Record 2“	14
Nachtrag zu: Ein TV-Empfänger — selbstgebaut	55
die ČSSR in Leipzig	104
Standard-Fernsehempfänger Typ AB und B	106
II. Internationale Messe Brno 1960, Fernsehen	112
TV-Empfänger Orion AT 611. 203	
Leipziger Frühjahrsmesse 1961, Fernsehen	232
Wir lernen kennen: TV-Empfänger „Orion“ AT 611	322
Sowjetischer TV-Empfänger „Wolna“	365
Interessante Schaltungseinheiten des sowjetischen TV-Empfängers „Rubin 102“	367
Newa — Ein neuer sowjetischer TV-Empfänger	436
Einige Neuheiten der westdeutschen Industrie.	445
Eines über den tschechoslowakischen TV-Empfänger „Lotos“	563
Leipziger Herbstmesse 1961, Fernsehen	614
Die XXX. Internationale Messe in Poznań 1961, Fernsehgeräte	624
Der tschechoslowakische TV-Empfänger „Lotos“	703
Probleme der Ersatzteilversorgung importierter TV-Empfänger	708
Verbesserung des TV-Empfängers „Alex“	772

Fernsehen

siehe auch Fernsehempfänger	
Einige Eigenschaften und Besonderheiten der UHF	4
Empfindlichkeitssteigerung bei TV-Empfängern	7
Bildaufzeichnungsverfahren	8
Mehrnormenempfang bei TV-Überreichweiten	10
Leipziger Frühjahrsmesse 1961, Fernsehen	232
Erfahrungen mit UHF-Fernsehen	256
Versorgung der Fernsehteilnehmer in gebirgigen Gegenden der DDR	263
TV-Überreichweitenbeobachtungen aus der UdSSR	364
Zwei Wege beim Bau von UHF-Fernsehsendern	368
Bauanleitung: Ein universelles Kleingerät für den Fernseh-service	370

Sowjetische industrielle Fernschanlagen	378
Neue UHF-Tuner und Konverter	398
Verringertes Rauschen bei UHF	435
Neue Röhren für TV-Empfänger	465
TV-Weitempfangsbeobachtungen	3. U.S. Heft 20
TV-Weitempfangsbeobachtungen 1961	720
Farbfernsehen	742; 780
Zeilensystem und Farbfernsehen in England	745

Filter

Elektrische Filter, Weichen und Entzerrer	49; 125
Nullstellen-Bandfilter mit stufenloser kombinierter Bandbreiten- und Nullstellenregelung	120

Funkempfangstechnik

HF-Baustein für einen Amateur-Doppelsuperhet 15; 56; 86	86
Allwellenempfang mit handelsüblichen Tastensätzen	470
Nachrichtenverbindungen schrumpfen zusammen	714

Funkmeßtechnik

Drahtlose Funkverbindungen durch Streuung an Meteorbahnen	29
Radarechos und deren Nachbildung	270; 319
Mikrowellen-Reflektoren in der äußersten Atmosphäre	314
Poznań—Kolberg, eine Meßstrecke bei 1200 MHz	391

G

Gedruckte Schaltungen

Die Anwendung von gedruckten Schaltungen durch den Amateur	385
Weichlötltechnik für gedruckte Schaltungen	434

Germaniumdioden

siehe Halbleiter

Gleichlauf

Der Gleichlauf des Empfangs- und Oszillatorkreises beim Überlagerungsempfänger	37
--	----

H

Halbleiter

Allgemeines	
Fachtagung Halbleiterbauelemente	13
Vorschau auf die Leipziger Frühjahrsmesse 1961, Halbleiter	103
NF-Varikaps aus der UdSSR.	105
Gallium-Arsenid für Halbleiter	126
Stabilisierung durch Siliziumwiderstände	150
Leipziger Frühjahrsmesse 1961, Halbleiter	247
Fachtagung Halbleiterbauelemente in der Impulstechnik	269
Halbleiterregler für Kraftfahrzeuge	285
Wärmeableitung bei Halbleiterbauelementen	415
Die Standardisierung auf dem Gebiet der Halbleitertechnik in der DDR	427
Einige Neuheiten der westdeutschen Industrie	445
Arbeitspunktstabilisierung bei Transistorendstufen mit Gefächengleichrichtern	481
Ein Halbleiterthermostat für thermoelektrische Messungen	516
Das Wichtigste über Germanium- und Siliziumgleichrichter	564; 607

Halbleiter mit veränderlicher Kapazität	603
Das Kühlproblem bei Halbleiterbauelementen mit großer Verlustleistung	610
Halbleiterkühlelemente	761

Dioden und ihre Anwendung

Anwendungsmöglichkeiten von Silizium-Zenerdioden in der Elektronik	83
Trägheitsarme Germaniumfotodioden des Typs FDM	111
Die Vierschichtdiode — Ein interessantes elektronisches Bauelement	462
Tunneldioden — Wirkungsweise und Anwendungen	656
Eine neue Tunneldiode	664

Transistoren und ihre Anwendung

s. a. Rundfunkempfänger und Bauanleitungen	
Transistortechnik 47; 123; 175; 257; 315; 383; 437; 517; 567; 635; 713; 763	
Neue Geräte der sowjetischen Industrie	111
Die Dimensionierung von Eintakt-A-Endstufen mit Transistoren	156; 177
Koppel- und Emitterkondensatoren in Transistorverstärkern	168
Transistorverstärker mit sehr hohem Eingangswiderstand	172
Elektronische Zeitschalter mit Transistoren	181
elgatron — ein Blitzgerät mit Transistoren	184
Der halbleiterstabilisierte Wienbrückengenerator	189
Zweibasistransistoren und ihre Anwendung	206
Transistorgrenzfrequenzen	267
Transistorblitzgerät „elgatron“	322
Eisenloser Gegentakt-AB-Verstärker mit den Transistoren OC 831	331
Reparaturen an Transistorgeräten	339
Transistor-Schmitt-Trigger	340
Transistorschaltungen mit erhöhtem Eingangswiderstand	374
Gegentakt-Schaltung mit Transistoren geringer Verlustleistung	381
Neue Silizium-Mesa-Transistoren	420
Interessante Transistoranwendungen	429
Probleme bei der Entwicklung eines elektronisch stabilisierten Netzgerätes mit Transistoren	482; 519; 545
4-W-Transistor-Stereoverstärker in gedruckter Schaltung	498
Ein Transistor-Beta-Gamma-Radiometer	512
Transistorsteuerung für automatische Leuchtfener	515
Multivibrator in inverser Schaltung für extreme Temperaturen	522
Probleme der Kühlung bei Transistoren	569
Einstellung des Arbeitspunktes von Transistoren	632
Dimensionierungshinweise zum Transistoraudion	637
Transistoren-Prüfgerät „transivar 1“	661
Transistoren in der Tonstudioteknik	665
Phantastron-Kippschaltung mit Röhren und Transistoren	696
Der Mesa-Transistor	733
Ultraminiaturtransistoren	736
Einige neue Transistoren sowjetischer Produktion	739
Vierschichttransistoren	762

Halbleiterinformationen

Germanium-Flächengleichrichter	11
--	----

Grenzdaten und Streuwerte der NF-Transistoren OC 810 bis OC 823	89
OC 830, Germanium-pnp-Flächentransistor	151
ZL 910/6	152; 210
Silizium-Leistungszenerdioden	152; 210
OY 120, OY 122, OY 123, Germanium-Leistungsgleichrichter	209; 288
OC 870, Germanium-pnp-Flächentransistor	287
OC 871, Germanium-pnp-Flächentransistor	288; 338
OC 872, Germanium-pnp-Flächentransistor	337
OC 835	OC 838, Germanium-pnp-Flächentransistoren
OA 625, Germanium-Spitzendiode	418
OA 645, OA 665, Germanium-Spitzendiode	479
OA 685, OA 705, Germanium-Spitzendiode	480
OA 720, Germanium-Golddrahtdiode	543
OA 721, OA 741, Germanium-Golddrahtdioden	544
O 4 A 657, Diodenquartett für Ringmodulatoren	597
OA 626, Videodiode	598
Allgemeine Einbauhinweise und vorläufige Lötvorschriften für Halbleiter	667
OA 780, Germanium-Golddrahtdiode	668
OC 824, OC 825, Germanium-pnp-Flächentransistoren	737

Hochfrequenz-Plasmafackel 419

K

Kabel und Leitungen

Koaxialkabel für Hochfrequenzzwecke aus der SU	60
Wie verlängert man Mikrofonkabel?	314

Kerntechnik

Linearverstärker in der Kerntechnik 24; 94; 161; 226; 293; 360	
Ein elektronischer Flugzeitanalysator für die Spektroskopie langsamer Neutronen	91
Batteriegespeistes, digitales Meßgerät für radioaktive Strahlung	216
Aufbau, Wirkungsweise und Eigenschaften von Vakutronic-Zählrohren	219; 259
Kerntechnische Messungen	
Die Maßeinheiten der Kernstrahlung	223
Rückstreuung der β -Strahlung	748
Geregeltes Hochspannungsgerät hoher Konstanz	290
Ein Transistor-Beta-Gamma-Radiometer	512
Elektrometrisches RICU-Meßgerät	681; 700
Radioaktive Isotope helfen Erzaufbereitung automatisieren	750

Kommerzielle Nachrichtentechnik

Drahtlose Funkverbindungen durch Streuung an Meteorbahnen	29
Vorschau auf die Leipziger Frühjahrsmesse 1961, Kommerzielle Nachrichtentechnik	101
II. Internationale Messe Brno 1960, Kommerzielle Elektronik	118
Radarechos und deren Nachbildung	270; 319
Leipziger Frühjahrsmesse 1961, Kommerzielle Nachrichtengeräte	274
Zwei Wege beim Bau von UHF-Fernsehsendern	368

Poznań—Kolberg, eine Meßstrecke bei 1200 MHz	391
Einige Neuheiten der westdeutschen Industrie	445
Sendermeßgerät mit speziellem Frequenzkonstanzmesser	454
Die XXX. Internationale Messe in Poznań 1961, Geräte der kommerziellen Nachrichtentechnik	627
Polnische Mikrowellenmeßanlagen	783

Kritische Bemerkungen

(redaktionelle Stellungnahmen)	
Wir lernten kennen:	
TV-Empfänger „Record 2“	14
Daisy 1032	78
Heimtongerät BG 23	110
Transistorblitzgerät „elgatron“	322
TV-Empfänger „Orion“ AT 611	322
Automatischer Plattenspieler „Ziphona A 30“	506
Trabant T 6	538
Graetz-Joker 1034	687
... und einige Gedanken zur Messe	253
Die interessante Platte 286; 351; 412; 477; 684	
Ein Witz?!	478
Wir und die Leserbriefe	539
Entschuldigung — April, April!	555
Probleme der Ersatzteilversorgung importierter TV-Empfänger	708
Offener Brief	718

L

Laufsprecher

siehe Elektroakustik

Leitartikel

Ein „an sich“ überflüssiger Leitartikel	35
Schmalspur oder Fläche?	135
Physik und Nachrichtentechnik	167
Die Grundvoraussetzung	231
Eine sozialistische Arbeitsgemeinschaft und gewisse „Leitungsmethoden“	299
Erfolge der sowjetischen Elektronik	363
„Schmalspur oder Fläche“: Stellungnahmen und Diskussion	395
Die Standardisierung auf dem Gebiet der Halbleitertechnik in der DDR	427
Einige Begriffsbestimmungen der Standardisierung in der Nachrichtentechnik	527
Über einige Probleme des „Bastelns“	559
Schein und Wirklichkeit	591
Der Vorrang der Bauelemente Exportqualität	623
	655

M

Magnetontechnik

siehe Elektroakustik

Magnetwerkstoffe

Ergänzung zum Beitrag: Weichmagnetische nichtmetallische Werkstoffe	41
---	----

Maßeinheiten, Normen

Die Maßeinheiten der Kernstrahlung	223
Englische Bezeichnungen für Wechselstromwiderstände	783

Meß- und Prüftechnik

siehe auch Kerntechnik	
Klirrarmer Generator aus Frankreich	17
Stabilisierung von Wechselspannungen durch Glühlampen	18

Funktionsprinzipien der digitalen Spannungsmessung . . .	27
Zerhacker für Meßzwecke . . .	30
Bauanleitung: Ein einfacher Zeitmarkengenerator . . .	43
Universelles HF-Meßgerät zur Messung mechanischer Schwingungen . . .	51
Das Impulsröhrenvoltmeter WLI-3 . . .	59
VHF/UHF-Meßgeräte mit austauschbaren Einschüben . . .	64
Elektronisches Chronometer, Typ MSM 1 . . .	76
Vorschau auf die Leipziger Frühjahrsmesse 1961, Meßtechnik . . .	99
Die Volksrepublik Ungarn und die CSSR in Leipzig . . .	104
II. Internationale Messe Brno 1960, Meßtechnik . . .	116
Bauanleitung für einen Rechteckwellengenerator . . .	146
Gleichstrom-Dehnungsmeßgerät mit Transistoren für Ohmsche Geber . . .	153
Schaltungserweiterung am „Oszi 40“ . . .	171
Der Halbleiterstabilisierte Wienbrückengenerator . . .	189
Mikrowellen-Leistungsmessung . . .	222
Leipziger Frühjahrsmesse 1961, Meßtechnik und Elektronik . . .	239
Meßverfahren zur Bestimmung des Modulationsgrades . . .	277
Probleme der Messung des Frequenzganges eines Schallplattenabtasters . . .	282
Bauanleitung: Scheinwiderstandsmeßgerät für den Tonfrequenzbereich mit direkter Winkel-Anzeige . . .	308
Elektronische Messung und Registrierung von Temperaturen . . .	347
Bauanleitung: Ein universelles Kleingerät für den Fernsehservice . . .	370
Wechselstrombrücke mit geradem Eingang und Ausgang Lichtblitzstroboskop für die Tonmeßtechnik . . .	432
Bauanleitung für einen Tastkopf . . .	443
Ein Röhrenprüfgerät zum Selbstbau . . .	448
Sendermeßgestell mit speziellem Frequenzkonstanzmesser . . .	454
Impulsdichtemesser VA-D-40 mit verbesserter Schreibereinstellung . . .	461
Bauanleitung: L-Meßgerät für Hochfrequenzspulen . . .	468
Ungarischer elektronischer Längenmesser . . .	523
Frequenzzeiger FZ 103 . . .	528
Fehlerortungsgerät FOG 101 . . .	531
Die Baustein-Gerätebauweise im Funkwerk Dresden . . .	535
Ein gegengekoppelter Gleichstrommeßverstärker . . .	572
Erfahrungen und Hinweise für den Bau eines einfachen Mehrzweckprüfgerätes in Kleinstausführung . . .	578
Ein sägezahnmodulierter Impulsgenerator für Linearitätsmessungen an Verstärkern . . .	592
Die XXX. Internationale Messe in Poznań 1961, Meßtechnik . . .	627
Die prinzipielle Wirkungsweise der Kompensations-schaltungen . . .	643
Tonimpulsgenerator für Messungen in der Fernschreibtechnik . . .	648
Hochfrequente Messung kleiner Flüssigkeitsstandunterschiede . . .	650
Transistoren-Prüfgerät „transivar 1“ . . .	661
Ein Impulsformer für universelle Anwendungen . . .	673
Schwebungssumme, Typ HO 32 . . .	776

Netz unabhängiges Universalprüfgerät . . .	777
Polnische Mikrowellenmeßanlagen . . .	783

Molekularelektronik

Grundprinzipien der Molekularverstärker . . .	561
Amerikanischer „Waffel“-Empfänger . . .	596

N

Nachrichtentechnik,

kommerzielle

siehe Kommerzielle Nachrichtentechnik

Nachrichten und Kurzberichte

2; 34; 66; 98; 134; 166; 198; 230; 266; 298; 330; 362; 394; 426; 458; 494; 526; 558; 590; 622; 654; 690; 722; 754

Neues aus der sowjetischen Elektronik

Das Impulsröhrenvoltmeter WLI-3 . . .	59
Koaxialkabel für Hochfrequenzzwecke aus der SU . . .	60
Neue elektrochemische Spannungsquellen . . .	373
Der Breitbandkettenverstärker UR-2 . . .	373
Transistorschaltungen mit erhöhtem Eingangswiderstand . . .	374
Sowjetische industrielle Fernscharanlagen . . .	378
Transistorsteuerung für automatische Leuchtfeuer . . .	515
Ein Halbleiterthermostat für thermoelektrische Messungen . . .	516
Versuche mit einer logarithmisch-periodischen Breitbandantenne . . .	739
Einige neue Transistoren sowjetischer Produktion . . .	739

P

Persönliches

Wilhelm Pieck an die deutschen Geistesschaffenden . . .	3
---	---

Phantastron

Phantastron-Kippschaltung mit Röhren und Transistoren . . .	696
---	-----

R

Radar

siehe Funkmeßtechnik

Referate

Einige Entwicklungsperspektiven der Fernschrundfunktechnik . . .	31
Neue Fortschritte in der Anwendung des Fotolithographischen Prozesses auf Halbleiterbauelemente und Mikrominiaturisation . . .	130
Störabstandswerte 3. US. Heft 8 . . .	688
Über die Möglichkeit des Nachrichtenempfangs von fremden Planetensystemen . . .	751

Reparaturpraxis

Aus der Reparaturpraxis 42; 127; 193; 264; 324; 367; 439; 524; 571; 642; 712; 778	
Reparaturdienst — Entwick- lung, Perspektiven und Pro- bleme	199
Wenn das Brummen stört . . .	309
Reparaturen an Transistorge- räten	339
Bauanleitung: Ein universelles Kleingerät für den Fernseh- service	370
Probleme der Ersatzteilversor- gung importierter TV-Emp- fänger	708

Röhren

Vorschau auf die Leipziger Frühjahrsmesse 1961, Röhren	102
Eine neue Flachröhre großen Bildformats — die Rückstrahlbildröhre . . .	137
Leipziger Frühjahrsmesse 1961, Röhren . . .	247
Röhreninformation PC 86 . . .	325; 389
Die neue Ziffernanzeigeröhre XN-1 . . .	388
Eine neue Bildröhre mit scharfen Ecken und 47 cm Diagonale . . .	399
UHF-Triode EC 88 und PC 88	400
Ein Röhrenprüfgerät zum Selbstbau . . .	448
Neue Röhren für TV-Empfänger . . .	465
Neue westdeutsche Abstimm-anzeigeröhren . . .	542
Röhreninformation EC 360, EC 86, PCF 82 . . .	675
Die Parallelschaltung von mehreren Röhren EC 360 . . .	677
Der Einfluß der Streuungen der Röhrenkennwerte auf die Eigenschaften von Rundfunkempfängern . . .	678; 715

Rundfunkempfänger

Der sowjetische Transistor-empfänger „Minsk“ . . .	36
Der Gleichlauf des Empfangs- und Oszillatorkreises beim Überlagerungsempfänger . . .	37
„Sternchen“ mit äußerer Stromquelle . . .	46
Der „schnurlose“ Empfänger — eine neue Entwicklungstendenz . . .	67
Eisenlose Endstufe mit 2 x EL 86 . . .	70
Erfurt IV — ein Rundfunk-empfänger mit eisenloser Endstufe . . .	73
UKW-Transistorempfänger „Daisy 1032“ . . .	77
Wir lernten kennen: Daisy 1032 . . .	78
Die Volksrepublik Ungarn und die CSSR in Leipzig . . .	104
Neue Geräte der sowjetischen Industrie . . .	111
II. Internationale Messe Brno 1960, Radio . . .	112
Transistor-Koffergerät „Stern 2“ . . .	142
Leipziger Frühjahrsmesse 1961, Radio . . .	235
Roller und Radio . . .	334
Bauanleitung für einen Transistortaschenempfänger . . .	335
Reparaturen an Transistor-geräten . . .	339
Netzanschluß für den Taschenempfänger „Sternchen“ . . .	382
Leistungsfähiger AM-Koffer-empfänger . . .	406
Einige Neuheiten der west-deutschen Industrie . . .	445
„Sternchen“ mit Flachbatterien . . .	476
Transistorkoffergerät „Trabant T 6“ . . .	537
Wir lernten kennen: Trabant T 6 . . .	538
Leipziger Herbstmesse 1961, Radio . . .	615
Die XXX. Internationale Messe in Poznań 1961, Rundfunkgeräte . . .	625
11-Kreis-UKW-Super im Gehäuse der „Minorette“ . . .	669
Der Einfluß der Streuungen der Röhrenkennwerte auf die Eigenschaften von Rundfunkempfängern . . .	678; 715
Der neue „Joker 1034“ von Graetz . . .	686
Wir lernten kennen: Graetz-Joker 1034 . . .	687
Die neuen typisierten Mittel-super der VVB RFT Rundfunk und Fernsehen . . .	723

Rundfunktechnik

siehe auch Rundfunkempfänger	
Gesichtspunkte zur Entwicklung leistungsfähiger AM-Kofferempfänger.	301; 344
Einige Hinweise zu Abschirmproblemen.	317
Praktische Hinweise zum Bau eines Synchrodetektors	584
Dimensionierungshinweise zum Transistoraudion. . . .	637

S

Send- und Empfangsanlagen

siehe Kommerzielle Nachrichtentechnik

Skineffekt

Der Skineffekt . . .	304
----------------------	-----

Standards, Standardisierung

Standard-Fernsehempfänger Typ AB und B . . .	106
Arbeitstagung: Standardisierung in der Elektroindustrie . . .	214
Die Standardisierung auf dem Gebiet der Halbleitertechnik in der DDR . . .	427
Einige Begriffsbestimmungen der Standardisierung in der Nachrichtentechnik . . .	527
Entwurf über Inhalt und Gliederung des einheitlichen Standardwerkes der Elektrotechnik der DDR . . .	699
Die neuen typisierten Mittel-super der VVB RFT Rundfunk und Fernsehen . . .	723

Stromversorgung

Stabilisierung von Wechselspannungen durch Glühlampen . . .	18
Elektrolytische Spannungsstabilisierung . . .	31
„Sternchen“ mit äußerer Stromquelle . . .	46
Nachlaufsteuerung zur Frequenz-Konstanthaltung bei Einankerumformern . . .	61
Verbesserung der Kurzzeitkonstanz elektronisch stabilisierter Netzgeräte . . .	128
Die Stabilisierung der Röhrenheizung mit einem Eisenwasserstoff-Widerstand . . .	148
Bauanleitung: Transistorgleichspannungswandler für den Amateur . . .	211
Gleichzeitige Ausnutzung eines Netztransformators in einer Zweiweg-Gleichrichterschaltung und zur Hochspannungsgewinnung . . .	314
Neue elektronische Spannungsquellen . . .	373
Netzanschluß für den Taschenempfänger „Sternchen“ . . .	382
„Sternchen“ mit Flachbatterien . . .	476
Probleme bei der Entwicklung eines elektronisch stabilisierten Netzgerätes mit Transistoren . . .	482; 519; 545
Magnetischer Spannungskonstanthalter . . .	508

Studiotechnik

Rundfunkübertragungsverfahren für Stereofonie	495; 552; 574
Transistoren in der Tonstudioteknik	665

T

Tagungen, Konferenzen, Vorträge

Fachtagung Halbleiterbauelemente . . .	13
Arbeitstagung: Standardisierung in der Elektroindustrie . . .	214

Fachtagung: Halbleiterbauelemente in der Impulstechnik	269
9. Jahrestagung der Elektrotechniker in Weimar	327
Verringertes Rauschen bei UHF	435
9. Jahrestagung der Elektrotechniker in Weimar	459
Einige Begriffsbestimmungen der Standardisierung in der Nachrichtentechnik	527
VI. Internationales Kolloquium der Hochschule für Elektrotechnik Ilmenau	534
7. Industrietagung der Hochschule für Elektrotechnik Ilmenau	547
Bericht über die IMEKO und IMIS in Budapest 1961	691

Technologie

Weichlöttechnik für gedruckte Schaltungen	434
Die Baustein-Gerätebauweise im Funkwerk Dresden	535

Transistoren

siehe Halbleiter

U

Übertragungstechnik

Elektrische Filter, Weichen und Entzerrer	49; 125
---	---------

Bemerkungen zu den Begriffen „Welligkeit“ oder „Stehwellenverhältnis“	397
Analytische Ergänzung zum Leitungsdiagramm	423

UKW-Technik

UKW-Transistorempfänger „Daisy 1032“	77
Eine moderne Amateurstation für das 2-m-Band	599
11-Kreis-UKW-Super im Gehäuse der „Minorette“	669

Unsere Leser schreiben

33; 97; 165; 229; 297; 361; 425; 493; 557; 621; 689; 753	
Wir und die Leserbriefe	539

V

Verordnungen

Die fachgemäße Errichtung von Antennen	421
Mindestquerschnitte für Blitzschutzleiter aus verzinktem Stahl	422

Verstärker und Verstärkertechnik

Die Berechnung von Breitbandverstärkern nach dem Impulsverhalten	19
--	----

Linearverstärker in der Kerntechnik	24; 94; 161; 226; 293; 360
Parametrische Resonanz und parametrische Verstärkung	54
Koppel- und Emitterkondensatoren in Transistorverstärkern	168
Transistorverstärker mit sehr hohem Eingangswiderstand	172
Leipziger Frühjahrsmesse 1961, Elektroakustik	236
Bauanleitung: 15-W-NF-Verstärker	254
Bauanleitung: Ein NF-Verstärker guter Qualität	280
Maximale Wechselstromleistung und Verlustleistung in Röhren- und Transistorverstärkern	311
Einige Hinweise zu Abschirmproblemen	317
Eisenloser Gegentakt-AB-Verstärker mit den Transistoren OC 831	331
Der Breitbandkettenverstärker UR-2	373
Gegentaktschaltung mit Transistoren geringer Verlustleistung	381
Bauanleitung: Ein ökonomischer Gegentaktverstärker	411
Ersatzschaltbilder von Verstärkern mit Elektronenröhren	412; 451; 487
4-W-Transistor-Stereoverstärker in gedruckter Schaltung	498

Breitbandverstärker mit Triodenkopplung	510
Leistungsfähiger Transistorverstärker für Kristallmikrofone	548
Grundprinzipien der Molekularverstärker	561
Ein gegengekoppelter Gleichstrommeßverstärker	572
Bauanleitung für einen 12-W-Gegentaktsverstärker	586
Ein sägezahnmodulierter Impulsgenerator für Linearitätsmessungen an Verstärkern	592
Bauanleitung: Mischpult mit Transistorverstärker	638
Bauanleitung für einen Transistorverstärker mit Ferritantenne	663
Bauanleitung: Miniatur-Transistor-NF-Verstärker	769

W

Wellenausbreitung

Mehrnormenempfang bei TV-Überreichweiten	10
Ausbreitungstheorien	273
TV-Überreichweitenbeobachtungen aus der UdSSR	364
TV-Weitempfangsbeobachtungen	3. US. Heft 20
TV-Weitempfangsbeobachtungen 1961	720

AUTORENVERZEICHNIS

A

Albrecht, H.

Analytische Ergänzung zum Leitungsdiagramm	423
--	-----

B

Banik, Arnold

Dimensionierung von Heißleiter-Widerstandskombinationen	306
---	-----

Bechtel, H.-J., und Hirsch, C.

Batteriegespeistes, digitales Meßgerät für radioaktive Strahlung	216
--	-----

Belter, K.

Fachtagung Halbleiterbauelemente	13
Wir lernten kennen: TV-Empfänger „Record 2“	14
Fehlerortungsgerät FOG 101	531

Bendel, Friedrich, und Langhans, Kurt

Kerntechnische Messungen	
Die Maßeinheiten der Kernstrahlung	223
Rückstreuung der β -Strahlung	748

Bless, Maximilian, und Irmeler, Rudolf

Die neuen typisierten Mittel-super der VVB RFT Rundfunk und Fernsehen	723
---	-----

Blodszun

Wir lernten kennen: Trabant T 6	538
---------------------------------	-----

Borowski, Günter

Einige Hinweise zu Abschirmproblemen	317
--------------------------------------	-----

Boffke, Ernst

Koppel- und Emitterkondensatoren in Transistorverstärkern	168
Transistorgrenzfrequenzen	267

Das Wichtigste über Germanium- und Siliziumgleichrichter	564; 607
Einstellung des Arbeitspunktes von Transistoren	632

Breifeld, Heinz

Transistorkofferggerät „Trabant T 6“	537
--------------------------------------	-----

Brückner, Freimut

Der Gleichlauf des Empfangs- und Oszillatorkreises beim Überlagerungsempfänger	37
--	----

Brynich, H.

Lichtblitzstroboskop für die Tonmeßtechnik	432
--	-----

C

Cumme, G., und Siegmund, M.

Einfaches Demonstrationsmodell für Ziffernrechnautomaten	356
--	-----

D

Dabrock, F. Wolfgang

Bauanleitung: Ein ökonomischer Gegentaktsverstärker	411
Bauanleitung für ein Tonbandabhörgerät	507
Ein Mischpult für den Tonbandamateuer	576
Bauanleitung: Ein Nachhallgerät für den Tonbandamateuer	709

Dannowski, Klaus

Transistorverstärker mit sehr hohem Eingangswiderstand	172
Leistungsfähiger Transistorverstärker für Kristallmikrofone	548

Drachsel

Wir lernten kennen: Automatischer Plattenspieler „Ziphona A 30“	506
---	-----

Dubrau, Joachim

Geregeltes Hochspannungsgerät hoher Konstanz	290
--	-----

Duda, W.

Netzanschluß für den Tascheneempfänger „Sternchen“	382
--	-----

E

Ebert, Claus-Günther

Einige Begriffsbestimmungen der Standardisierung in der Nachrichtentechnik	527
--	-----

Eckert, K.

Zweibasistransistoren und ihre Anwendung	206
--	-----

Epp

9. Jahrestagung der Elektrotechniker in Weimar	459
--	-----

F

Faßbender, Gerd

Halbleiterinformationen	
Germanium-Flächengleichrichter	11

Fekas, S.

Funktionsprinzipien der digitalen Spannungsmessung	27
--	----

Fischer, E.

Bericht über die IMEKO und IMIS in Budapest 1961	691
--	-----

Fischer, Hans-Joachim

Anwendungsmöglichkeiten von Silizium-Zenerdioden in der Elektronik	83
Physik und Nachrichtentechnik	167
Erfolge der sowjetischen Elektronik	363
Neues aus der sowjetischen Elektronik	
Transistorschaltungen mit erhöhtem Eingangswiderstand	374

Franke, Horst

Strom-Spannungsverhalten von Thermistoren	639
Eine Möglichkeit zur Kompensation des positiven Temperaturkoeffizienten mit Thermistoren	755

Frey, Horst

Modulationsvorgänge bei Eintauch-, Gegentakts- und Ringmodulatoren	144
--	-----

Fugmann, Friedrich

elatron — ein Blitzgerät mit Transistoren	184
---	-----

G

Gärtner, R.

Linearverstärker in der Kerntechnik	24, 94, 161, 226, 293, 360
Bauanleitung: Ein einfacher Zeitmarkengenerator	43
Verbesserung der Kurzzeitkonstanz elektronisch stabili-sierter Netzgeräte	128
Ersatzschaltbilder von Verstärkern mit Elektronenröhren	413, 451, 487
Englische Bezeichnungen für Wechselstromwiderstände	783

Galow, Manfred, und Heise, Siegfert

Halbleiterinformationen	
O 4 A 657, Diodenquartett für Ringmodulatoren	597
OA 626, Videodiode	598

Gasse, Hans-Joachim

Ein gegengekoppelter Gleichstrommeßverstärker	572
---	-----

Glück, Gerhard

Wirkungsweise und Dimensionierung der Schmitt-Trigger-Schaltung	402
---	-----

Göschel, Karl

Bauanleitung: Mischpult mit Transistorverstärker	638
--	-----

Götz, Wolfgang, und Günther, Helmut

Impulsdichtemesser VA-D-40 mit verbesserter Schreiberanpassung 461

Green, Bert, und Roddy, Charles

Die Hochfrequenz-Plasmafackel 419

Grofelüschen, Gerd

Rundfunkübertragungsverfahren für Stereophonie 495; 552; 574

Günther, Helmut, und Götz, Wolfgang

Impulsdichtemesser VA-D-40 mit verbesserter Schreiberanpassung 461

Günther, Klaus

Probleme der Kühlung bei Transistoren 569

H

Härtling, Wolfgang

„Sternchen“ mit äußerer Stromquelle 46

Hahn, Günther

Tantalkondensatoren 731

Hanisch, Hans-Joachim

Halbleiterinformationen
OC 810 . . . OC 823, Grenzdaten und Streuwerte der NF-Transistoren 89
OC 830, Germanium-pnp-Flächentransistor 151
ZL 910/6 . . . ZL 910/16, Silizium-Leistungszenerdioden 152, 210
OY 120, OY 122, OY 123, Germanium-Leistungsgleichrichter 209, 288
OC 870, Germanium-pnp-Flächentransistor 287
OC 871, Germanium-pnp-Flächentransistor 288, 338
OC 872, Germanium-pnp-Flächentransistor 337
OC 835 . . . OC 838, Germanium-pnp-Flächentransistoren 338

Hanke, Klaus

Bauanleitung: Ein universelles Kleingerät für den Fernsehservice 370

Havemann, Robert

Die Grundvoraussetzung 231

Heise, Siegfried, und Galow, Manfred

Halbleiterinformationen
O 4 A 657, Diodenquartett für Ringmodulatoren 597
OA 626, Videodiode 598

Hempel, Eberhard

Gleichstrom-Dehnungsmeßgerät mit Transistoren für Ohmsche Geber 153

Henkler, O.

Schwankt bei der Amplitudenmodulation die Amplitude des Trägers? 694

Henniger, Hagen, und Henniger, Herbert

HF-Baustein für einen Amateur-Doppelsuperhet 15, 56, 86

Henniger, Herbert, und Henniger, Hagen

HF-Baustein für einen Amateur-Doppelsuperhet 15, 56, 86

Henschel, Siegmur

Bauanleitung: Ein-NF-Verstärker guter Qualität 280
Bauanleitung für einen Transistorvorverstärker mit Ferritantenne 663

Hermann, Albrecht

Tonbandgerät „Tonmeister“ — selbst verbessert 645

Hermann, Albrecht, und Lechtenfeld, Werner

Ein praktischer Impedanz-Rechner 352

Herrfurth, Joachim

Bauanleitung für einen Rechteckwellengenerator 146
Bauanleitung für einen Tastkopf 443
Arbeitspunktstabilisierung bei Transistorendstufen mit Gefächengleichrichter 481

Hess, Bruno

Einfaches Klimagerät für Temperaturen zwischen —40 und +65 °C 194

Hess, Otto Andreas

Synchronisation verschiedener Fotoblitzgeräte miteinander 323

Hielscher, Johannes

Ein Transistor-Beta-Gamma-Radiometer 512

Hirsch, C., und Bechfel, H.-J.

Batteriegespeistes, digitales Meßgerät für radioaktive Strahlung 216

Höringer, Clemens

Eisenloser Gegentakt-AB-Verstärker mit den Transistoren OC 831 331

Hohmuth, Gerhard

Probleme der Messung des Frequenzganges eines Schallplattenabtasters 282

Hossner, Gerhard

Erfurt IV — ein Rundfunkempfänger mit eisenloser Endstufe 73

Huneck, Marlin

Die Dimensionierung von Eintakt-A-Endstufen mit Transistoren 156, 177

I

Irmiler, Rudolf, und Bless, Maximilian

Die neuen typisierten Mittelstufen der VVB RFT Rundfunk und Fernsehen 723

J

Jakubaschk, Hagen

Nachlaufsteuerung zur Frequenz-Konstanthaltung bei Einankerumformern 61
Bauanleitung: Transistorgleichspannungswandler für den Amateur 211
Über einige Probleme des „Bastelns“ 559
Transistormultivibrator als periodischer Zeitschalter 741
Transistor-Mikrofonübertragungsanlage in Kleinstausführung 759

Jakubaschk, Hagen, und Kifte, Karl-Ernst

Bauanleitung: Stereo-Bandgerät für den Amateur 473, 501, 540

Jancke, Horst

Wir lernten kennen: Transistorblitzgerät „elgatron“ 322
Probleme der Ersatzteilversorgung importierter TV-Empfänger 708

Jancke, Horst, und Orlik, Oswald

Reparaturdienst — Entwicklung, Perspektiven und Probleme 199

Jancke/Schäffer

Ständige Ausstellung elektronischer Bauelemente der RFT 779

Jaszcz, T.

Die Standardisierung auf dem Gebiet der Halbleitertechnik in der DDR 427

K

Kalusniak, Berthold

Bauanleitung: L-Meßgerät für Hochfrequenzspulen 468

Kaplan, I., und Slepjan, J.

Der sowjetische Transistorempfänger „Minsk“ 36

Kautsch, Rudi

Hochfrequente Messung kleiner Flüssigkeitsstandunterschiede 650

Kieckbusch, Hans

Mehrnormenempfang bei TV-Überreichweiten 10

Kifte, Karl-Ernst, und Jakubaschk, Hagen

Bauanleitung: Stereo-Bandgerät für den Amateur 473, 501, 540

Klaschig

Roller und Radio 334

Klawitter, M.

Halbleiter mit veränderlicher Kapazität 603

Kleeberg, H., und Reichel, R.

Ein sägezahnmodulierter Impuls-generator für Linearitätsmessungen an Verstärkern 592

Kliizke, J.

4-W-Transistor-Stereoverstärker in gedruckter Schaltung 498

Kneschke, Fritz

Gesichtspunkte zur Entwicklung leistungsfähiger AM-Koffereempfänger 301, 344
Leistungsfähiger AM-Koffereempfänger 406

Köhler, K.

„Sternchen“ mit Flachbatterien 476

Köhler, R. G.

Die Vierschichtdiode — Ein interessantes elektronisches Bauelement 462

König, Edmund

Selbstbau einer Kondensatormikrofonkapsel 550

Köpnick, Hans-Joachim

Tonbandgerät mit Batterieantrieb 289

Korfum, Peter

Wenn das Brummen stört 309

Kubitza, Reinhard

Praktische Hinweise zum Bau eines Synchrodetektors 584
TV-Weitempfängsbeobachtungen 1961 720
Verbesserung des TV-Empfängers „Alex“ 772

Kuckelt

Dimensionierungshinweise zum Transistoraudion 637

Kühn, Udo

Poznań-Kolberg, eine Meßstrecke bei 1200 MHz 391

Kullmann, Joachim

Schaltungserweiterung am „Oszi 40“ 171

Kunz, Alfred

Physikalische Interpretation der Exponentialfunktion 765

Kunze, Fritz

Röhreninformation PC 86 325, 389
Eine neue Bildröhre mit scharfen Ecken und 47 cm Diagonale 399
UHF-Triode EC 88 und PC 88 400
Neue Röhren für TV-Empfänger 465
Neue westdeutsche Abstimm-anzeigeröhren 542
Röhreninformation EC 360, EC 86, PCF 82 675

L

Lange, Wolfgang

Ein Impulsformer für universelle Anwendungen 673

Langhans, Kurt, und Bendel, Friedrich

Kerntechnische Messungen
Die Maßeinheiten der Kernstrahlung 223
Rückstreuung der β -Strahlung 748

Lechtenfeld, Werner, und Hermann, Albrecht

Ein praktischer Impedanz-Rechner 352

Lehmann, Dieter

Interessante Schaltungseinheiten des sowjetischen TV-Empfängers „Rubin 102“ 367
Newa — Ein neuer sowjetischer TV-Empfänger 436
Einiges über den tschechoslowakischen TV-Empfänger „Lotos“ 563
Lehmann, Heinz
Wann Vierspurtechnik? 717

Linde, Günter

Die Berechnung von Breitbandverstärkern nach dem Impulsverhalten 19
Bauanleitung für einen Transistortaschenempfänger 335

Lingenfelder, Heinz

Phantatron-Kipperschaltung mit Röhren und Transistoren 696

Lochschmidt, Roland

Transistor-Koffergehäuse „Stern 2“ 142

Lorenz, Alfred

Netzunabhängiges Universalprüfgerät 777

Lorenz, Peter

Eine moderne Amateurstation für das 2-m-Band 599

M

Maiwald, Wolfgang

Bauanleitung für einen 12-W-Gegentaktverstärker 586

Marquardt, Heinz

Automatischer Plattenspieler „Zipfona A 30“ 504

Matauschk, K., Oertel, H., Perfermann, W., und Oertel, K. H.

Aufbau, Wirkungsweise und Eigenschaften von Vakuumröhren-Zählrohren 219, 259

Mehlich, Günter

Bildaufzeichnungsverfahren 8

Meiling, Wolfgang

Zur Dimensionierung von White-Katodenfolger-Schaltungen 746

Miskovski

Neues aus der sowjetischen Elektronik
Sowjetische industrielle Fernsehantennen 378

**Miškovský, Ilja, und
Stráskrabová, Olivie**

II. Internationale Messe Brno
1960 112

Moeller, Ch.

Gleichzeitige Ausnutzung eines
Netztransformatoren in einer
Zweiweg-Gleichrichterschalt-
ung und zur Hochspannungs-
gewinnung. 314

N

Naumann, Hans-Diefer

Drahtlose Funkverbindungen
durch Streuung an Meteor-
bahnen 29
Der Skineffekt 304
Grundprinzipien der Moleku-
larverstärker. 561
Tunneldioden — Wirkungs-
weise und Anwendungen. . . 656

Neidhardt, P.

Eine neue Flachröhre großen
Bildformats — die Rückstrahl-
bildröhre 137

Nogatz, I.

Die Studiomagnettontruhe
MT 605 771

Nullmeier, Hans

Halbleiterinformationen
OA 720, OA 721, OA 741,
Germanium-Golddrahtdiode 543
OA 780, Germanium-Gold-
drahtdiode. 668

O

**Oerfel, H., Perfermann, W.,
Oerfel, K. H., und
Matauscek, K.**

Aufbau, Wirkungsweise und
Eigenschaften von Vakutro-
nik-Zählrohren 219, 259

**Oerfel, K. H., Matauscek,
K., Oerfel, H., und
Perfermann, W.**

Aufbau, Wirkungsweise und
Eigenschaften von Vakutro-
nik-Zählrohren 219, 259

Orlik, Oswald

Wir lernten kennen: Heimton-
gerät BG 23 110
Wir lernten kennen: TV-Emp-
fänger „Orion“ AT 611 . . . 322
Sowjetischer TV-Empfänger
„Wolna“ 365
Die prinzipielle Wirkungsweise
der Kompensationschal-
tungen 643
Der tschechoslowakische TV-
Empfänger „Lotos“ 703

**Orlik, Oswald, und
Jancke, Horst**

Reparaturdienst — Entwick-
lung, Perspektiven und Pro-
bleme. 199

P

**Perfermann, W., Oerfel,
K. H., Matauscek, K., und
Oerfel, H.**

Aufbau, Wirkungsweise und
Eigenschaften von Vakutro-
nik-Zählrohren 219, 259

Petrich, Gerhard

Bauanleitung: Scheinwider-
standsmeßgerät für den Ton-
frequenzbereich mit direkter
Winkel-Anzeige 308

Prause, Klaus

Die Parallelschaltung von
mehreren Röhren EC 360 . . 677

Pudollek, Norbert

Farbfernsehen 742, 780

Pulvers, Manfred

Transistortechnik 47, 123, 175,
257, 315, 383, 437, 517, 567,
635, 713, 763

R

Rehahn, Gisela

Fachtagung Halbleiterbauele-
mente in der Impulstechnik . 269

Reichel, R., und Kleeberg, H.

Ein sägezahnmodulierter Im-
pulsgenerator für Linearitäts-
messungen an Verstärkern. . 592

Reichert, Erich

Bauanleitung: 15-W-NF-Ver-
stärker 254

Reichert, Rolf

Frequenzzeiger FZ 103 . . . 528

Richter, W.

Dimensionierungsprobleme
bei Leistungsstufen zur Er-
zeugung von Hochspannungen
mit der Hochfrequenzmethode 178
Probleme bei der Entwicklung
eines elektronisch stabilisierten
Netzgerätes mit Transistoren
482, 519, 545

Riebel, Ralf

Wärmeableitung bei Halb-
leiterbauelementen 415

Risch, Wolfgang

Empfindlichkeitssteigerung
bei TV-Empfängern 7

Rockfäschel, Jürgen

Eisenlose Endstufe mit 2 ×
EL 86. 70

**Roddy, Charles, und
Green, Bert**

Die Hochfrequenz-Plasma-
fackel. 419

Rohde

Bemerkungen zu den Begriffen
„Welligkeit“ oder „Stehwel-
lenverhältnis“ 397

S

Schäffer, Peter

Ein „an sich“ überflüssiger
Leitartikel 35
... und einige Gedanken zur
Messe 252
Eine sozialistische Arbeits-
gemeinschaft und gewisse
„Leitungsmethoden“ 299
Die Baustein-Gerätebauweise
im Funkwerk Dresden. 535
Schein und Wirklichkeit. . . 591
Der Vorrang der Bauelemente
623
Offener Brief. 718

Schäffer/Jancke

Ständige Ausstellung elektro-
nischer Bauelemente der RFT 779

Schick, Günther

Tonimpulsgenerator für Mes-
sungen in der Fernschreib-
technik 648

Schiller, Hans-Jürgen

Transistor-Schmitt-Trigger . 340

Schlenzig, Klaus

Bauanleitung für eine Transi-
stor-Wechselsprechanlage . . 79
Schmalspur oder Fläche? . . 135
Die Anwendung von gedruck-
ten Schaltungen durch den
Amateur 385
Nebenstellenzusatz für Wech-
selsprechanlage. 513

Schlesier, Horst

Radarechos und deren Nach-
bildung 270, 319

Schmidt, Johannes

Sendermeßgestell mit speziel-
lem Frequenzkonstanzmesser. 454

Schmidt, Klaus

Multivibrator in inverser
Schaltung für extreme Tem-
peraturen 522

Schröter, Harald

Gegentaktschaltung mit Tran-
sistoren geringer Verlustlei-
stung 381

Schubert, Rolf

Ein elektronischer Flugzeit-
analysator für die Spektro-
skopie langsamer Neutronen . 91

Schuldt, Walter

Die Stabilisierung der Röhren-
heizung mit einem Eisenwas-
serstoff-Widerstand. 148

Schulthes, Manfred

Meßverfahren zur Bestimmung
des Modulationsgrades . . . 277

Semlin, Erhard

Der Einfluß der Streuungen
der Röhrenkennwerte auf die
Eigenschaften von Rundfunk-
empfängern 678, 715

Siebers, Rolf

11-Kreis-UKW-Super im Ge-
häuse der „Minorette“ . . . 669

**Siegmund, M., und
Cumme, G.**

Einfaches Demonstrationsmo-
dell für Ziffernrechnauto-
maten. 356

Slepjan, J., und Kaplan, I.

Der sowjetische Transistor-
empfänger „Minsk“ 36

Specht, Karl-Friedrich

Universelles HF-Meßgerät zur
Messung mechanischer
Schwingungen 51

Steiner, Arno

Bauanleitung: Miniatur-Tran-
sistor-NF-Verstärker 769

Steinke, Lothar

Elektronische Zeitschalter mit
Transistoren 181
Maximale Wechselstromlei-
stung und Verlustleistung in
Röhren- und Transistorver-
stärkern. 311
Das Kühlproblem bei Halb-
leiterbauelementen mit großer
Verlustleistung. 610

Stepanek, Erhard

Parametrische Resonanz und
parametrische Verstärkung . 54
Breitbandverstärker mit Tri-
odenkopplung 510

**Stráskrabová, Olivie, und
Miškovský, Ilja**

II. Internationale Messe Brno
1960 112

Streng, Klaus K.

Einige Eigenschaften und Be-
sonderheiten der UHF . . . 4
Der „schnurlose“ Empfänger
— eine neue Entwicklungsten-
denz 67
Wir lernten kennen: Daisy
1032 78
Welche Spannung gibt eine
Antenne ab? 343
Zwei Wege beim Bau von
UHF-Fernsehsendern 368
Die Vorgänge in der Antennen-
energieleitung 594
Wir lernten kennen: Graetz-
Joker 1034 687

Strobl, Rudolf

Elektronische Messung und
Registrierung von Tempera-
turen 347

Sufaner, Hans

Aufgaben und Lösungen
58, 122, 253, 310

Nomogramme zur Berechnung
von Dämpfungsgliedern . . . 472

**Szekular, Viktor, und
Wappler, Herbert**

Halbleiterinformationen
OA 625, Germanium-
Spitzendiode. 418
OA 645, OA 665, OA 685,
OA 705, Germanium-
Spitzendiode. 479

T

Taudt, Lothar

Wiedergabeentzerrung von
Stereo-Schallplatten 139

Tewes, Albert

Interessante Transistoran-
wendungen 429
Kleinstbauelemente. 674
Der Mesa-Transistor 733
Halbleiterkühlelemente . . . 761

Tolk, Alfred

Transistoren in der Tonstudio-
technik 665

Trnka, Gerhard

Elektrische Filter, Weichen
und Entzerrer 49, 125

V

Veit, Ivar

Der halbleiterstabilisierte
Wienbrückengenerator . . . 189
Allwellenempfang mit han-
delsüblichen Tastensätzen . . 470

W

Wagner, Peter

Stabilisierung von Wech-
selspannungen durch Glühlam-
pen. 18

Walther, Horst

Nullstellen-Bandfilter mit stu-
fenloser kombinierter Band-
breiten- und Nullstellenrege-
lung 120

**Wappler, Herbert, und
Szekular, Viktor**

Halbleiterinformationen . . . 417
OA 625, Germanium-
Spitzendiode. 418
OA 645, OA 665, OA 685,
OA 705, Germanium-
Spitzendiode. 479

Weinert, Heinz

Elektrometrisches RICU-Meß-
gerät. 681

Winkler, H.

Ursache von Spannungsdurch-
schlägen an Kondensatoren . 404

Wolf

Wechselstrombrücke mit ge-
erdetem Eingang und Ausgang 380

Wornatsch, Wolfgang

Ein Röhrenprüfgerät zum
Selbstbau 448
Erfahrungen und Hinweise für
den Bau eines einfachen Mehr-
zweckprüfgerätes in Kleinst-
ausführung 578

Wunderlich, Werner

Bauanleitung: Elektronischer
Zeitgeber für fotografische
Zwecke 185

Z

Zieke

Die XXX. Internationale
Messe in Poznań 1961. . . . 624

Ziemens, Gerhard

Magnetischer Spannungskon-
stanthalter. 508

der Kontaktiervorrichtung unmittelbar neben dem betreffenden Prüfling befindet. Nach Beendigung der Messungen bleiben diese Lampen, die die fehlerhaften Transistorelemente bezeichnen, brennen, so daß diese defekten Prüflinge gekennzeichnet sind. Erst beim Entspannen der Kontaktiervorrichtung werden über eine Löscheinrichtung die Ausschußrelais in ihre Ausgangsstellung zurückgebracht, und die Anzeigelampen verlöschen.

Ein weiteres Zählwerk, ZW_1 , wird unmittelbar vom Impulsgeber betrieben und zählt die Gesamtanzahl der gemessenen Transistorelemente, so daß diese beiden Zählwerke zusammen eine Fehlerstatistik ermöglichen.

Zur Vermeidung eines zeitraubenden Umpolens der zu prüfenden Kollektor-Emitter-Strecke erfolgen die Messungen mit Wechselspannung. Der Prüfling liegt in einem Zweig

einer Wechselstrombrücke (Bild 4). Das Relais W, das die Basisstromkreise der beiden Transistoren T_1 und T_2 schaltet, arbeitet mit 50 Hz in einer genau einjustierten Phasenlage zur Eingangswechselspannung. Bei der gezeichneten Stellung des Kontaktes w ist der Punkt a gegenüber dem Punkt b positiv. Durch die Basis des Transistors T_2 fließt der Brückenstrom und öffnet diesen Transistor im Falle eines zu niederohmigen Prüfbjektivs. Ist der Prüfling dagegen hochohmig, so wird T_2 gesperrt.

Beim Vorzeichenwechsel der Eingangsspannung (a negativ gegen b) klappt Relais W in die andere Stellung um, und T_1 wird im Falle eines niederohmigen Prüflings geöffnet.

Im Kollektorkreis der beiden Transistoren der Brücke liegt je ein Relais A und B. Je nach dem, in welcher Richtung die zu prüfende

Kollektor-Emitter-Strecke zu niederohmig ist, zieht das eine oder das andere dieser Relais an. Wenn beide Relais betätigt werden (Kurzschluß), so wird durch ein zweipolig geschaltetes Zählwerk (ZW_2 im Bild 3) ein Ausschußtransistor gezählt.

Durch Umschalten eines Brückenwiderstandes kann der gewünschte Grenzwert des Widerstandes (z. B. 100 Ω) gewählt werden.

In den Schalterstellungen „Eichen“ liegt anstelle des Prüflings ein Eichwiderstand von 105 Ω bzw. 95 Ω in der Meßschaltung. Durch Umschalten von einem auf den anderen Eichwiderstand im Meßbereich „100 Ω “ läßt sich die Genauigkeit des Gerätes prüfen und nach-eichen (bei 95 Ω muß das Gerät einen schlechten und bei 105 Ω einen guten Transistor anzeigen, wofür entsprechende Kontrollampen vorgesehen sind).

Batterielose Transistorempfänger

HAGEN JAKUBASCHK

Einfache Ortsempfänger werden meist als Detektor mit NF-Verstärkerstufe oder als Transistor-Audion aufgebaut. Zur Stromversorgung des Transistors ist üblicherweise eine kleine Batterie vorgesehen, die wegen dessen geringen Strombedarfs nicht sehr viel Energie aufzubringen hat. Es liegt daher der Gedanke nahe, im Nahfeld eines Senders die von der Antenne aufgenommene HF-Energie gleichzurichten und zur Speisung des Transistors zu verwenden, wodurch eine zusätzliche Stromquelle entfällt. Begünstigt wird das durch den Umstand, daß Transistoren bereits mit sehr geringen Spannungen und Strömen betriebsfähig sind. Im folgenden soll über einige derartige Schaltungen und über die Ergebnisse der damit angestellten Empfangsversuche berichtet werden.

Zunächst ist die Feststellung notwendig, daß die von einer Antenne aufgenommene Energie mit steigender Entfernung vom Sender sehr schnell abnimmt. Das hier behandelte Schaltungsprinzip erfordert daher eine leistungsfähige Antenne — hierauf wird später noch näher eingegangen — und ist nur zum Empfang weniger nicht allzuweit entfernter Sender benutzbar. Allgemein kann gesagt werden, daß diese Schaltungen zur Erhöhung der Lautstärke überall dort einsatzfähig sind, wo normale Detektorschaltungen mit Germaniumdiode ohne Nachverstärkung noch brauchbaren Empfang bringen. Darüber hinaus ist das Prinzip als solches recht interessant, zeigt es doch, welche spezifischen und mitunter originellen Schaltungslösungen die moderne Halbleitertechnik ermöglicht. Bereits vorweggenommen sei, daß Ferritstab-, Zimmer- oder ähnliche Behelfsantennen naturgemäß hier ausscheiden. Die folgenden Schaltungen wurden sämtlich auf einer Frequenz von 912 kHz erprobt, da ein Sender dieser Frequenz sich in Wohnort-nähe des Verfassers befindet. Der Schwingkreis ist daher jeweils für diese Frequenz ausgelegt und muß für den Empfang anderer Sender entsprechend dimensioniert werden, was grundsätzlich bekannt ist.

Bild 1 zeigt eine einfache Schaltung dieser Art. Der verwendete Transistor OC 813 erfüllt hier gleichzeitig die Funktion des Demodulators (Basis-Emitter-Strecke) und der NF-Nach-

verstärkung. Die Diode OA 625 sei zunächst nicht vorhanden. Dann entspricht die Schaltung — bis auf die fehlende Batterie — einem normalen Detektorempfänger. Der Demodulator ist an eine Anzapfung der Schwingkreisspule angeschlossen, um den Kreis (80 Wdg. auf üblichem Topfspulenkern, parallel 120 pF für 912 kHz) nicht zu sehr zu bedämpfen. An der gleichen Anzapfung liegt über einen — vom Schaltungsprinzip her entbehrlichen — Schutzkondensator von etwa 2,5 nF die Antenne.

Die Kollektorspannung für den Transistor wird durch Gleichrichtung der Schwingkreis-Resonanzspannung gewonnen. Um eine möglichst hohe Spannung zu erhalten, kann die Gleichrichterdioden OA 625 nicht an eine Anzapfung des Schwingkreises, sondern nur an dessen „heißes“ Ende angeschlossen werden. Mittels des Spulenkernes wird der Kreis auf Resonanz mit der Frequenz des Senders gebracht. Die leichte Bedämpfung des Kreises durch die Diode muß hier in Kauf genommen werden. Als Ladekondensator genügt ein Wert von 0,1 μ F, der Kopfhörer ist eine normale 2-k Ω -Ausführung.

Die von der Antenne aufgenommene Energie wird hier nur zur Hälfte ausgenutzt, wie leicht einzusehen ist, da ja die Diode nur eine Halbwelle gleichrichtet. Durch Verwendung von zwei Dioden können jedoch beide Halbwellen ausgenutzt und durch Aufbau einer Spannungsverdopplerschaltung kann gleichzeitig

eine höhere Betriebsspannung für den Transistor erzielt werden. Die entsprechende Schaltung zeigt Bild 2. Diese Schaltung entspricht in ihrer Wirkungsweise prinzipiell dem Bild 1. Die beiden Dioden bilden mit dem Vorkondensator von 50 pF und dem Ladekondensator von 0,1 μ F eine Spannungsverdopplerschaltung. Die Demodulation und NF-Nachverstärkung erfolgt im Transistor. Hier, wie auch im Bild 1, erhält die Transistorbasis keine besondere Vorspannung, was angesichts der geringen an der Basis anliegenden Steuerspannung nicht erforderlich ist. Der Transistor wird daher stromarm im Bereich des Kollektorreststromes betrieben (Voraussetzung, um ein Zusammenbrechen der Speisespannung zu vermeiden!). Trotzdem blieben die theoretisch zu erwartenden Verzerrungen auch bei größeren Lautstärken in minimalen Grenzen. Diese Schaltung lieferte bereits erstaunlich gute Ergebnisse. Zu beachten ist hier aber, daß der Vorkondensator des Spannungsverdopplers HF-mäßig parallel zum Schwingkreiskondensator liegt, der deshalb um einen entsprechenden Betrag verringert werden muß. Der genaue Frequenzabgleich erfolgt wieder mit dem Spulenkern oder einem geeigneten Drehko. Letzterer wird aber nur selten lohnen, da ohnehin meist nur Empfang eines Senders möglich sein wird und ein Drehko unnötig Platz benötigt. In Frage kommt hier nur ein Luftdrehko oder ein hochwertiger keramischer Festkondensator, da die üblichen Hartpapier-

quetscher zu hohe Verluste aufweisen. Dies macht sich hier in einem Rückgang der verfügbaren Betriebsenergie bemerkbar, die ohnehin knapp ist.

In den Schaltungen (Bilder 1 und 2) wird der Kreis durch den Gleichrichter und den Demodulatortransistor relativ stark bedämpft, so

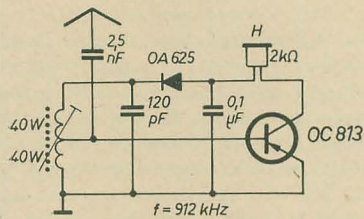


Bild 1: Einfache Schaltung zur Gewinnung der Betriebsspannung aus der Sendeenergie

daß sich keine allzu hohe Resonanzspannung ergibt. Es ist daher günstiger, für Demodulator und Betriebsspannungserzeugung getrennte Schwingkreise vorzusehen. Durch günstige Wahl der L/C-Verhältnisse in beiden Kreisen, die durch die gleiche Antenne versorgt werden, kann dann eine wesentlich höhere Betriebsspannung gewonnen werden. Diese reicht im Nahfeld stärkerer Sender u. U. sogar dazu aus, ein normales Audion zu betreiben. Eine derartige Schaltung mit einem Audion zeigt Bild 3.

Als Audiontransistor fand hier ein OC 813 „weiß“, d. h. mit relativ hoher Stromverstärkung, Verwendung. Dies ist im Hinblick auf die sehr geringe Betriebsspannung, die meist noch beträchtlich unter 1 V liegen wird, wesentlich. Der obere Schwingkreis der Spule mit C_3 (Trimmer) und 80 Windungen (Anzapfung bei der sechzigsten Windung) gehört zu einer normalen Audionschaltung. Bei dieser müssen die genaue Größe von C_1 und C_2 sowie die günstigste Lage der Anzapfung ausprobiert werden. Hierzu entfernt man zweckmäßigerweise die Dioden und schließt parallel zum 0,1-µF-Ladekondensator provisorisch eine 1,5-V-Batterie an. Das Audion wird mit dieser auf den günstigsten Betriebszustand „getrimmt“. Die Regelung der Rückkopplung erfolgt mit R_1 . Dieser Widerstand kann, wenn das Gerät ortsfest betrieben werden soll, als Festwiderstand eingesetzt werden. Anderenfalls kommt hier ein kleiner Trimmregler in Frage.

Der untere Schwingkreis mit C_4 und 120 Windungen weist ein etwas höheres L/C-Verhältnis auf, wodurch trotz der relativ starken Bedämpfung durch die Dioden eine höhere Betriebsspannung erreichbar ist. Da das Audion neben dem Kollektorstrom noch einen gewissen Basisstrombedarf hat, wird ein Anschwingen jedoch trotzdem nur erreichbar sein, wenn ein entsprechend starkes Senderfeld vorhanden ist. Immerhin ist aber zumindest eine merkliche Entdämpfung des Demodulatorkreises, die sich letztlich als weiterer Lautstärkegewinn zeigt, erreichbar. Beide Kreise werden mit C_3 und C_4 auf Resonanz abgestimmt, C_4 nach C_3 . Auch die Windungszahl der Antennenspule ist sehr sorgfältig nach Versuch zu ermitteln, da die genaue Anpassung der Antenne entscheidend zur verfügbaren Speiseenergie beiträgt. Wenn für alle Faktoren die optimalen Werte gefunden werden, ist es sogar möglich, den Audionkreis mit

C_3 durchstimmbare zu machen und dann unter Ausnutzung der Energie des Ortssenders auch andere, schwächere Sender einwandfrei zu empfangen, ohne daß der Ortssender störend „durchschlägt“. Beim Mustergerät gelang dies allerdings nur im stationären Betrieb bei konstanten Antennenverhältnissen (Hoch-

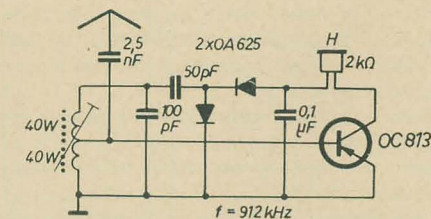


Bild 2: Durch Spannungsverdopplung erhöht sich die Betriebsspannung des Transistors

antenne). Das Gerät ist in diesem Falle praktisch ein vollwertiger Transistor-Audionempfänger für den gesamten Mittelwellenbereich. R_1 muß dann natürlich regelbar sein.

Eine ungewöhnliche Schaltung zeigt Bild 4. Wie erkennbar, wird der in der Basisleitung liegende Kondensator mit Plus an der Basis aufgeladen. Obwohl diese Schaltung der Theorie zu widersprechen scheint — z. B. wird die Basis-Emitter-Strecke in Sperrichtung vorgespannt! — ergibt sie immer noch eine merklich größere Lautstärke als ein normaler Detektorempfänger mit Germaniumdiode unter den gleichen Verhältnissen, wie die Versuche zeigten. Die Verzerrungen hielten sich auch bei größeren Feldstärken und Lautstärken in tragbaren Grenzen. Etwas kritisch ist der dem Basiskondensator parallelliegende Widerstand, dessen günstigster Wert vom Transistorexemplar abhängt. Er wird auf geringste Verzerrungen dimensioniert, lautstärkemäßig hat er relativ wenig Einfluß.

Abschließend soll über einige mit den beschriebenen vier Schaltungen angestellte Empfangsversuche berichtet werden. Es sei vorweggenommen, daß sich allgemeingültige Regeln nicht aufstellen lassen, da das Ergebnis von vielen Faktoren, die je nach Empfangsort verschieden sind, abhängt. Die nachfolgend genannten Versuchsergebnisse können aber immerhin einen gewissen Anhalt geben und sind durchaus ermutigend.

Zur Verfügung stand ein 5-kW-Mittelwellensender auf 912 kHz.

Im Sendernahfeld, wenige 100 m von der Sendeantenne entfernt, arbeiteten alle Schaltungen einwandfrei. Es genügte dort bereits, vorhandene Zäune, Eisenpfähle bzw. einen Motorradrahmen als Antenne zu benutzen, um — jeweils mit einer Eisenstange im Boden als „Erde“ — einwandfreien Empfang zu haben. Die später noch näher beschriebene Bodenantenne ergab hierbei schon starke Verzerrungen offenbar durch Übersteuerungserscheinungen.

In etwas größerer Entfernung vom Sender (4 km) brachten alle Schaltungen mit Hochantenne und Bodenantenne noch einwandfreie Ergebnisse. Bei Benutzung der Hochantenne diente das Rohr einer Wasserpumpe als Erde. Die Bodenantenne — die zu Unrecht in Amateurreisen etwas in Vergessenheit geraten ist — erwies sich für den vorliegenden Fall als fast idealer Energiespender, zumal sie im Freien leicht improvisierbar ist. Es werden

hierzu einfach zwei normale Drähte von je 20 ... 25 m Länge in einander entgegengesetzter Richtung auf dem Erdboden lang ausgelegt. Ihre Enden laufen beim Empfänger zusammen und bilden Antenne und Erde. Die günstigste Himmelsrichtung dieses überdimensionalen „offenen Dipols“ ist auszuprobieren. Insgesamt brachte diese Bodenantenne im Freien stets bessere Ergebnisse als z. B. zwischen Bäumen usw. in nicht allzugroßer Höhe improvisierte Hochantennen, Wurfantennen und ähnliche übliche Behelfe. Mit der Bodenantenne gelang es z. B. noch in über 20 km Entfernung vom Sender in einem von Wäldern umgebenen Talkessel das Audion nach Bild 3 mit einiger Geduld zum Schwingen zu bringen! Während ein einfacher Detektorempfänger handelsüblicher Ausführung mit Quetscherdrehko unter gleichen Verhältnissen nur andeutungsweisen Empfang brachte, war mit dem Audion ein klarer und lautstarker Kopfhörerempfang möglich. Auch die Schaltungen der Bilder 1 und 2 erwiesen sich dabei noch bedeutend lautstärker als der einfache Detek-

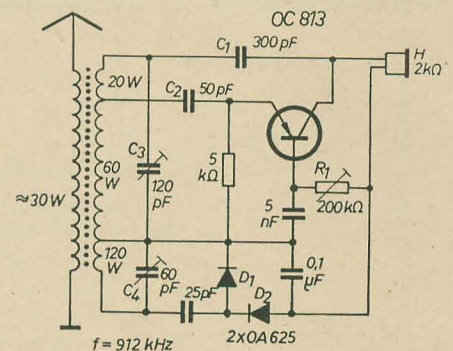


Bild 3: Spannungserzeugung durch getrennten Kreis erlaubt u. U. Audionbetrieb

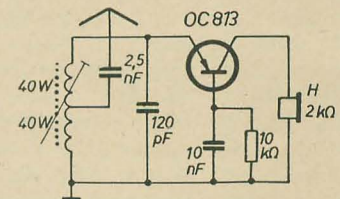


Bild 4: Einfachste Schaltung mit Transistor ohne eigene Stromquelle

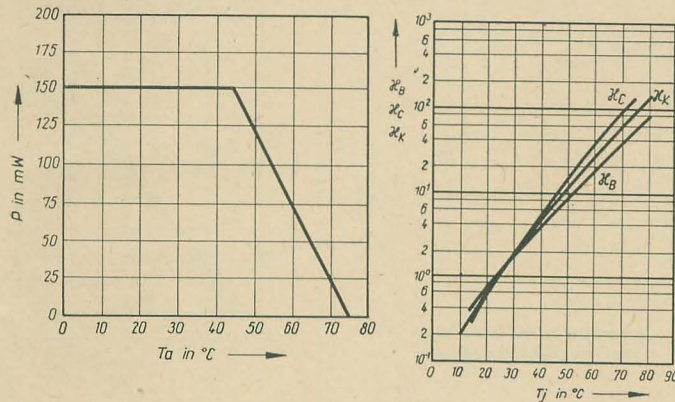
tor. Das ist letztlich ein Beweis dafür, wieviel Energie gerade in einfachen Detektorschaltungen noch „verschenkt“ wird!

Unter Großstadtverhältnissen in 15 km Entfernung vom Sender (Hochantenne 15 m lang, Wasserleitungs-Erde) zeigten alle vier Schaltungen einwandfreie Ergebnisse und waren wiederum sämtlich dem Detektor, der hier immerhin schon recht brauchbaren Empfang gab, weit überlegen. Mit dem Audion nach Bild 3 gelang der Empfang von sieben weiteren Mittelwellensendern unter Ausnutzung der Energie des Ortssenders und ohne Durchschlagen desselben.

Bedenkt man, daß der Aufwand gegenüber dem Detektor evtl. (mit Ausnahme der Schaltung im Bild 3) nicht viel höher ist, so erscheint die Anwendung dieser Schaltungen insgesamt auch vom praktischen Standpunkt aus bedeutend günstiger.

OC 825 Germanium-pnp-Flächentransistor

Fortsetzung von Heft 23 (1961)



Temperaturabhängigkeit der Kollektorrestströme

Es ist

$$\alpha_B = \frac{(I_{CB0}) T_j}{(I_{CB0}) T_j = 25^\circ \text{C}}$$

$$\alpha_C = \frac{(I_{CE0}) T_j}{(I_{CE0}) T_j = 25^\circ \text{C}}$$

$$\alpha_K = \frac{(I_{COK}) T_j}{(I_{COK}) T_j = 25^\circ \text{C}}$$

Erforderliche Reduzierung der Verlustleistung bei erhöhter Umgebungstemperatur (links)

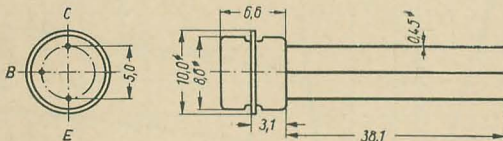
Temperaturabhängigkeit der Kollektorrestströme (rechts)

OC 826

Germanium – pnp – Flächentransistor

Verwendung

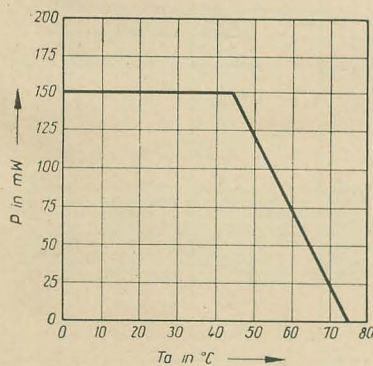
Rauscharmer Transistor für NF-Vorverstärkerstufen



Abmessungen

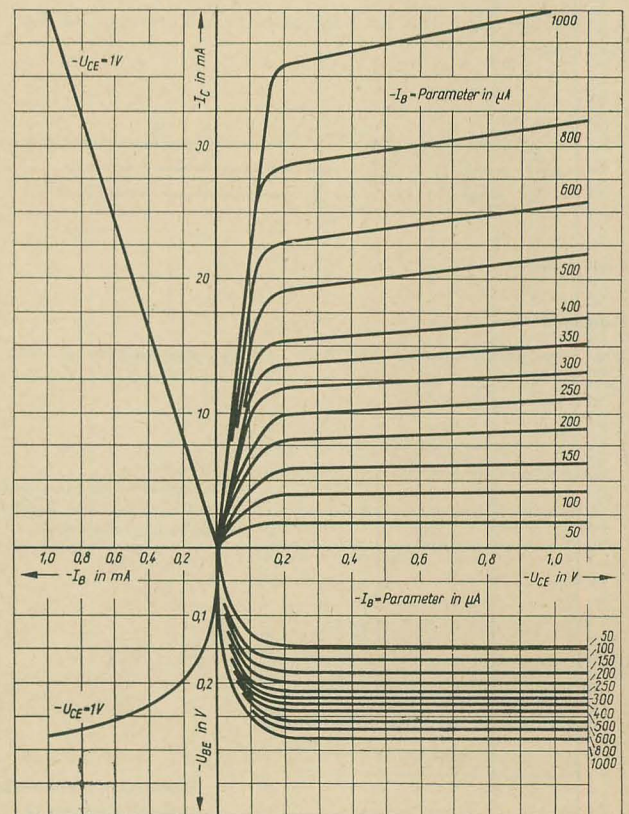
Kenndaten

Die Kenndaten werden für eine Umgebungstemperatur von $T_a = 22^\circ \text{C} \pm 2^\circ \text{C}$ angegeben.



Erforderliche Reduzierung der Verlustleistung bei erhöhter Umgebungstemperatur

Mittleres Kennlinienfeld in Emitterschaltung



Statische Meßwerte

Kollektorreststrom

$$\begin{aligned} -I_{CBO} &\leq 15 \mu A \quad (-U_{CB} = 6 V, -I_E = 0) \\ -I_{CEO} &\leq 800 \mu A \quad (-U_{CE} = 6 V, -I_B = 0) \end{aligned}$$

Dynamische Meßwerte

Grenzfrequenz in Basisschaltung

$$(U_{CB} = 6 V, I_C = 2 mA) \quad f_a = 300 kHz$$

Emitterschaltung

Meßfrequenz $f = 1 kHz$

(Arbeitspunkt $-U_{CE} = 6 V, -I_C = 2 mA$)

Eingangswiderstand

(Ausgang kurzgeschlossen)

$$h_{11e} \leq 2,5 k\Omega$$

Spannungsrückwirkung

(Eingang offen)

$$h_{12e} \leq 30 \cdot 10^{-4}$$

Stromverstärkungsfaktor

(Ausgang kurzgeschlossen)

$$h_{21e} \geq 20$$

Ausgangsleitwert

(Eingang offen)

$$h_{22e} \leq 200 \mu S$$

Mittlere Leistungsverstärkung

bei $(-U_{CE} = 6 V, -I_C = 1 mA, R_L = 20 k\Omega) G_{pmax} = 40 dB$

Rauschfaktor

bei $(-U_{CE} = 6 V, -I_C = 1 mA, f = 1 kHz,$

$\Delta f = 1 kHz, R_g = 500 \Omega) F \leq 10 dB$

Kennzeichnung der Stromverstärkungsgruppen

$$I = h_{21e} = 20 \dots 32$$

$$II = h_{21e} = 32 \dots 50$$

$$III = h_{21e} = 50 \dots 80$$

$$IIII = h_{21e} \geq 80$$

Toleranz: $\pm 10\%$ des jeweiligen Grenzwertes

Grenzwerte für $T_a = 45^\circ C$

Kollektorstrom

$$-I_{Cmax} = 150 mA$$

Kollektorspannung bei $R_{BE} = 1 k\Omega$

$$-U_{CEmax} = 20 V$$

Verlustleistung

$$P_{max} = 150 mW$$

Wärmewiderstand

$$k_1 = 0,2 \frac{^\circ C}{mW}$$

Sperrschichttemperatur

$$T_{jmax} = 75 ^\circ C$$

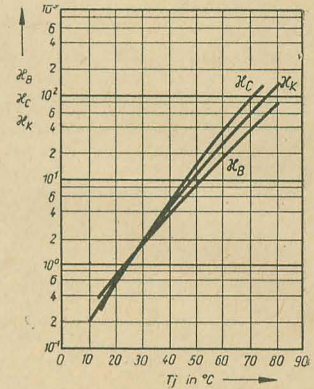
Temperaturabhängigkeit der Kollektorrestströme

Es ist

$$\alpha_B = \frac{(I_{CBO}) T_j}{(I_{CBO}) T_j = 25 ^\circ C}$$

$$\alpha_C = \frac{(I_{CEO}) T_j}{(I_{CEO}) T_j = 25 ^\circ C}$$

$$\alpha_K = \frac{(I_{COK}) T_j}{(I_{COK}) T_j = 25 ^\circ C}$$



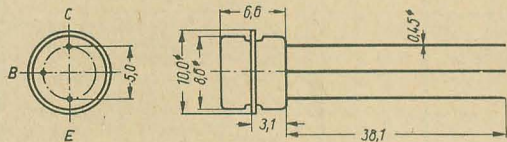
Temperaturabhängigkeit der Kollektorrestströme

OC 827

Germanium – pnp – Flächentransistor

Verwendung

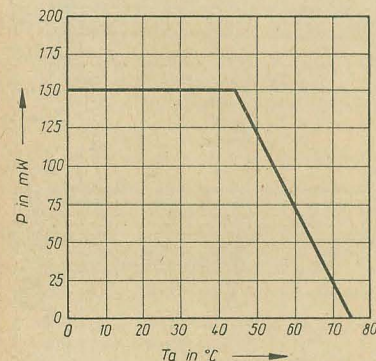
Rauscharmer Transistor für Anfangsstufen hochwertiger NF-Vorverstärker



Abmessungen

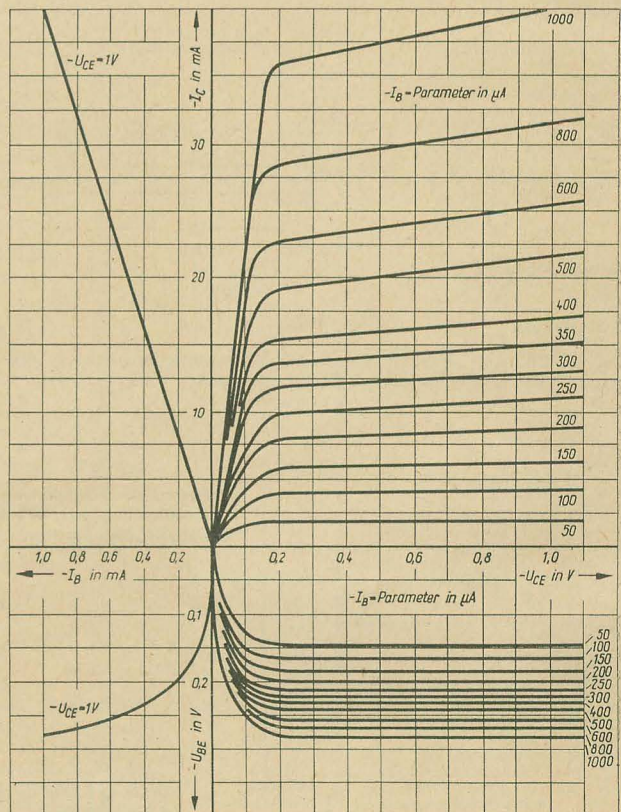
Kenndaten

Die Kenndaten werden für eine Umgebungstemperatur von $T_a = 22^\circ C \pm 2^\circ C$ angegeben.



Erforderliche Reduzierung der Verlustleistung bei erhöhter Umgebungstemperatur

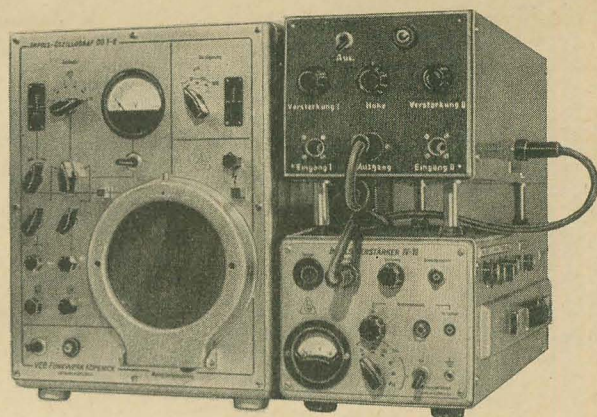
Mittleres Kennlinienfeld in Emitterschaltung



Verstärkerumschalter zur Sichtbarmachung zweier Vorgänge mit einem Einstrahloszillografen

SIEGMAR HENSCHEL

Zur Sichtbarmachung zweier verschiedener elektrischer Vorgänge auf dem Oszillografenschirm eignet sich der Zweistrahloszillograf am besten. Steht ein solcher nicht zur Verfügung, kann man durch Vorschalten eines Umschalters mit jedem Einstrahloszillografen zwei verschiedene Vorgänge sichtbar machen. Ein solcher Verstärker mit anschließendem Umschalter soll im folgenden beschrieben werden.



Der Verstärkerumschalter wurde speziell für den Impulsoszillograf OG 1-8 und den Impulsverstärker IV-10 vom VEB Funkwerk Köpenick entwickelt; er ist jedoch auch für andere Oszillografen geeignet.

Die äußeren Abmessungen wurden so gewählt, daß er auf den Impulsverstärker IV-10 aufgesetzt werden kann und somit mit dem Oszillografen und dem Impulsverstärker eine Einheit bildet.

Für die Umschaltung ergeben sich zwei Möglichkeiten; man kann einmal den Umschalter mit einem Multivibrator schalten, wobei jedoch große Nachteile auftreten. Aus Bild 1 sind diese Nachteile ersichtlich. Der Strahl wird bei jeder Umschaltung des Multivibrators unterbrochen, so daß der Teil des Strahls, mit welchem das zweite Bild geschrieben wird, dem ersten verlorengeht und umgekehrt. Diese Störung wird um so größer, je näher man mit der Meßfrequenz an die Umschaltfrequenz des Multivibrators herankommt. Für langsame Vorgänge läßt sich diese Methode anwenden, wenn die Umschaltfrequenz entsprechend hoch gewählt wird. Im Bild 2 ist eine 200-Hz- und eine 400-Hz-Schwingung dargestellt, wobei die Umschaltfrequenz etwa 100 kHz beträgt. Das Bild 3 zeigt ein Oszillogramm, bei welchem die Umschaltfrequenz gradzahlig über der Meßfrequenz liegt. Es sind deutlich die Lücken zu sehen, mit welchem Teil des Strahls die zweite Kurve geschrieben wird. Bei sehr kurzen Impulsen gehen dadurch viele Details verloren. Um alle Einzelheiten zu erkennen, wurde folgendes System verwendet:

Schaltet man den Umschalter synchron mit der Kippfrequenz des Oszillografen, so kann man während des Rücklaufimpulses die Anordnung umschalten, ohne störende Effekte auf dem Oszillografenschirm zu bemerken. Der Rücklaufimpuls der Ablenkspannung steuert eine Flip-Flop-Stufe, dadurch wird jeder Strahl voll ausgeschrieben und die Kurven erscheinen wie auf einem Zweistrahloszillograf. Mit jedem ungradzahligen Strahlenhinlauf wird Vorgang 1 geschrieben, während Vorgang 2 durch jeden gradzahligen Strahlhinlauf sichtbar wird. Im Bild 4 ist eine 100-Hz- und eine 400-Hz-Schwingung nach dem neuen Verfahren aufgetragen. Infolge der Nachleuchtzeit der Kathodenstrahlröhre und der Trägheit des Auges erscheinen beide Vorgänge gleichzeitig auf dem Schirm.

Elektrischer Aufbau

Impulsformer

Die Sägezahnimpulse, die dem Oszillografen entnommen werden, gelangen über Bu_4 zu dem monostabilen Multivibrator $Rö_1$ und $Rö_2$ (Bild 5). Beim OG 1-8 werden diese Impulse der Bu_3 in Laschenstellung 3 entnommen, wobei an dieser Buchse positive Impulse zur Verfügung stehen. An der Anode von $Rö_2$ steht ein Rechteckimpuls zur Verfügung, wobei die Vorderflanke mit der Rückflanke des Eingangsimpulses zusammenfällt. Die Arbeitsweise des monostabilen Multivibrators ist folgende: In $Rö_1$ fließt infolge der geringen Gittervorspannung ein Anodenstrom, während $Rö_2$ gesperrt ist. Wird C_1 durch einen positiven Stromstoß aufgeladen, entlädt er sich in umgekehrter Richtung, und $Rö_1$ wird gesperrt. Dadurch steigt die Anodenspannung von $Rö_1$ an, wodurch die Gitterspannung von $Rö_2$ geringer wird. $Rö_2$ wird leitend, so daß die An-

odenspannung von $Rö_2$ absinkt. Infolge der abfallenden Katodenspannung wird der Vorgang des Schließens von $Rö_2$ noch beschleunigt, wodurch die Impulsflanke vom Ausgangsimpuls wesentlich steiler wird.

Flip-Flop-Stufe

Zur Steuerung der Flip-Flop-Stufe ($Rö_3$) benötigt man nur sehr kurze Impulse, so daß man die Rechteckschwingung durch C_4/R_{12} differenziert. Die Dioden D_1 und D_2 halten die positiven Impulse von der Flip-Flop-Stufe fern, so daß nur negative Impulse an das Gitter gelangen. Ein positiver Impuls kann zwar die Flip-Flop-Stufe nicht kippen, würde jedoch die Röhre kurzzeitig aufasten und als senkrechter Strich während des Strahlhinlaufes auf dem Leuchtschirm sichtbar werden.

Die Schaltung arbeitet folgendermaßen: Für den Anfangszustand nehmen wir die Spannungen nach Bild 6 an. $Rö_{3a}$ ist gesperrt, während $Rö_{3b}$ geöffnet ist. Die Diode D_1 ist in-

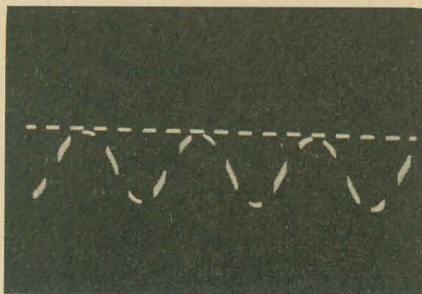


Bild 1: Elektronenstrahl bei Umschaltung durch einen Multivibrator

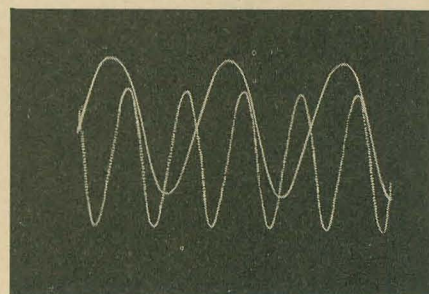


Bild 2: Elektronenstrahl bei Umschaltung durch einen Multivibrator bei hoher Umschaltfrequenz

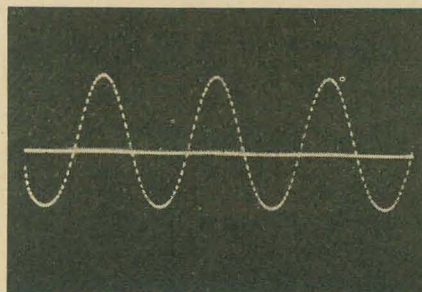


Bild 3: Umschaltfrequenz liegt gradzahlig über der Meßfrequenz

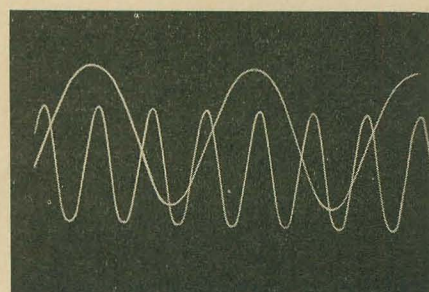


Bild 4: 100-Hz-Schwingung und 400-Hz-Schwingung mit dem Verstärkerumschalter

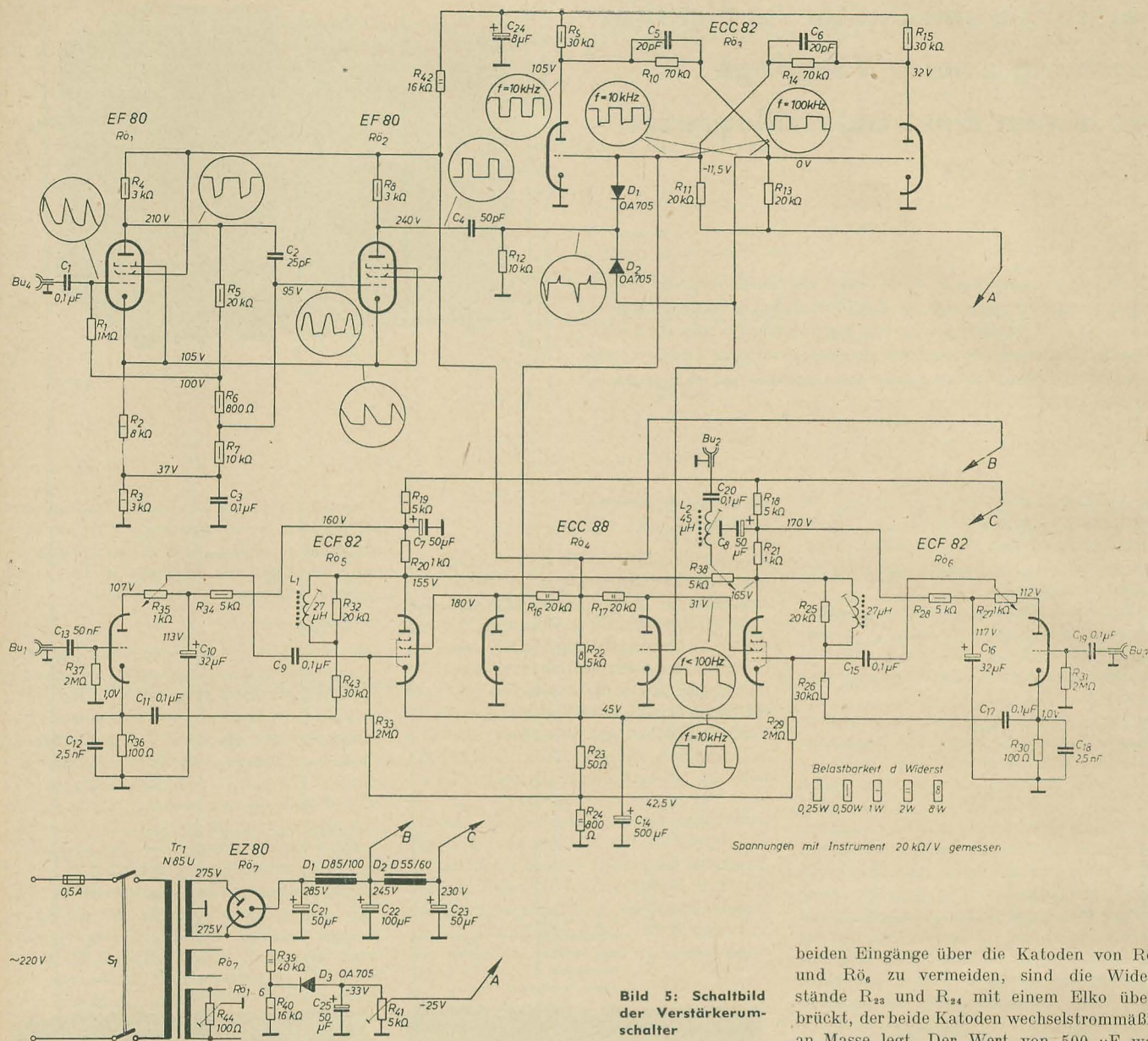


Bild 5: Schaltbild der Verstärkerumschalter

folge der negativen Vorspannung gesperrt. Tritt an R_{12} ein negativer Impuls auf, so gelangt er über D_2 an das Gitter der $Rö_{3b}$, welches negativ wird und die $Rö_{3b}$ sperrt. Die Anodenspannung von $Rö_{3b}$ steigt an, so daß durch den Spannungsteiler R_{11} , R_{14} ebenso die Gittervorspannung von $Rö_{3a}$ auf 0 V ansteigt. Durch den Stromanstieg in $Rö_{3a}$ sinkt das Anodenpotential ab. Durch den Spannungsteiler R_{10} , R_{13} wird hierdurch die Gittervorspannung an $Rö_{3b}$ negativer, so daß sie gesperrt bleibt. Die Schaltung hat die zweite stabile Lage eingenommen. Infolge der Gittervorspannung von 0 V kann ein weiterer negativer Impuls $Rö_{3a}$ wieder sperren und die Schaltung in ihre Anfangsstellung zurückkippen. Es tritt der gleiche Vorgang ein, wobei nur $Rö_{3a}$ und $Rö_{3b}$ zu vertauschen sind. Mit den an den Anoden von $Rö_{3a}$ und $Rö_{3b}$ vorhandenen Spannungssprüngen könnte man den Umschalter steuern, das Impulsdach besitzt jedoch keinen linearen Verlauf bzw. bei niedrigen Frequenzen tritt ein Überschwingen auf. Um den Impuls auf die erforderliche Rechteckform zu bringen, wurde noch eine

sehr stabile Doppeltriode nachgeschaltet, welche die Impulsflanke verbessert und das Impulsdach geradliniger verlaufen läßt. Es wurde die steile Röhre ECC 88 ($Rö_4$) gewählt, mit der sich kurze Umschaltzeiten erreichen lassen. Infolge der großen Steilheit und des hohen maximal zulässigen Anodenstromes konnten die Anodenwiderstände R_{16} und R_{17} relativ klein gewählt werden, um bei der Gittervorspannung von etwa 0 V eine geringe Anodenspannung zu erreichen, während bei einer Gittervorspannung von etwa -10 V der Anodenstrom sehr gering ist. $Rö_{4a}$ und $Rö_{4b}$ wird von den Gittern der $Rö_{3a}$ und $Rö_{3b}$ direkt gesteuert.

Umschalter und Verstärker

Der Umschalter ($Rö_{4a}$ und $Rö_{4b}$) steuert durch die Änderung der Anodenspannung die Schirmgitter der Verstärkerendröhren ($Rö_{5b}$ bzw. $Rö_{6b}$). Der Spannungsteiler R_{22} , R_{23} , R_{24} ist so bemessen, daß wenn z. B. $Rö_{4a}$ Strom zieht, die Schirmgitterspannung von $Rö_{5b}$ negativ gegenüber der Kathode ist und die Röhre somit sicher gesperrt ist. Um eine Kopplung der

beiden Eingänge über die Katoden von $Rö_5$ und $Rö_6$ zu vermeiden, sind die Widerstände R_{23} und R_{24} mit einem Elko überbrückt, der beide Katoden wechselstrommäßig an Masse legt. Der Wert von 500 μ F war erforderlich, um auch bei Frequenzen < 10 Hz eine ausreichende Entkopplung zu erreichen. Die Verstärker ($Rö_5$ und $Rö_6$) sind gleich aufgebaut. Aus diesem Grunde wird im folgenden nur ein Verstärker beschrieben. Die Eingangsspannung gelangt über C_{19} an das Gitter von $Rö_{6a}$. In dieser wird die Spannung verstärkt und von der Anode dem Außenwider-

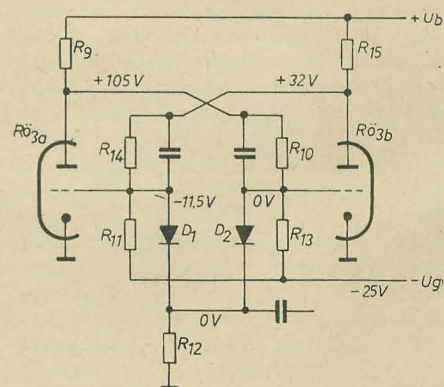


Bild 6: Flip-Flop-Stufe des Verstärkerumschalters

stand R_{27} zugeführt, welcher als Potentiometer ausgeführt ist und zur Verstärkungsregelung dient. Der Katodenwiderstand R_{30} ist mit einem kleinen Kondensator C_{18} überbrückt. Dadurch werden die hohen Frequenzen an R_{30} nicht gegengekoppelt. Die an R_{27} abgegriffene Spannung gelangt über C_{15} an das Steuergitter von $Rö_{ab}$. Diese trägt nur unwesentlich zur Verstärkung bei, da das Schirmgitter über R_{17} wechsellspannungsmäßig hoch liegt, wodurch

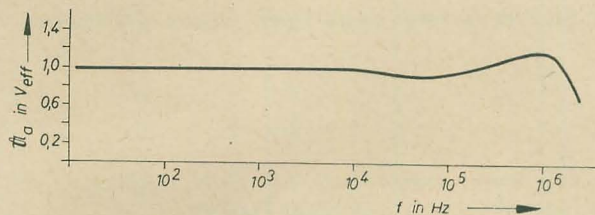


Bild 7: Frequenzgang der Vorverstärker $Rö_5$ und $Rö_6$

eine starke Gegenkopplung auftritt. Die an der Anode von $Rö_{ab}$ entstehende Wechsellspannung wird dem Potentiometer (R_{28}) zugeführt und von dessen Schleifer über L_2 (Kompensation der Kabelkapazität) und C_{20} ausgekoppelt. Das Verbindungskabel zwischen dem Verstärkerumschalter und dem nachfolgenden Oszillografen soll möglichst kurz sein, um schädliche Kapazitäten zu vermeiden, die die obere Grenzfrequenz herabsetzen. Im vorliegenden Fall wurde ein Koaxkabel von 25 cm Länge verwendet, für welches auch die Kompensationsspule L_2 bemessen wurde. Mit R_{28} läßt sich die Lage der beiden Schirmbilder verschieben. Die von der Anode von $Rö_{ab}$ zur Katode von $Rö_{aa}$ führende frequenzabhängige Gegenkopplung bewirkt eine Verbesserung des Frequenzganges an der unteren und oberen Frequenzgrenze, wodurch der Frequenzgang des Verstärkers wesentlich verbessert werden konnte (Bild 7). Durch den gleichartigen Aufbau der beiden Kanäle ist die Phasenlage in beiden Verstärkern gleich, so daß sich der Verstärkerumschalter auch zu Phasenmessungen verwenden läßt. Um ein Übersteuern der $Rö_{aa}$ bzw. $Rö_{ea}$ zu vermeiden, soll die Eingangsspannung an Bu_1 bzw. Bu_3 nicht mehr als 1 V_{ss} betragen. Zur Messung größerer Spannungen wurden Vorsteckspannteiler mit dem Teilerverhältnis 1:5, 1:10, 1:100 gebaut. Damit läßt sich ein sehr großer Spannungsbereich messen. Aus Bild 8 ist das Schaltbild des Spannungsteilers ersichtlich. Tabelle 1 enthält für die verschiedenen Teilerverhältnisse die dazugehörigen R- und C-Werte.

Aus Bild 9 erkennt man die gute Linearität der beiden Strahlen, wobei die Kippfrequenz etwa 500 Hz beträgt. Die Eingangsspannung

an Bu_1 und Bu_3 betrug bei allen Messungen etwa 0,1 V_{eff}. Bei Kippfrequenzen < 100 Hz tritt eine Krümmung der Strahlen bei hoher Verstärkung auf, welche durch das abfallende Dach der Umschaltimpulse hervorgerufen werden (Oszillogramm an der Anode von $Rö_{ab}$). Es läßt sich jedoch auch bei niedrigen Frequenzen die volle Empfindlichkeit des Oszillografen ausnutzen, jedoch muß man den Verstärkerumschalter mit einer höheren Frequenz

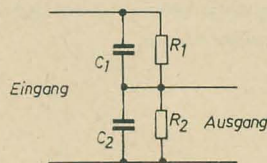


Bild 8: Spannungsteiler zur Meßbereichserweiterung

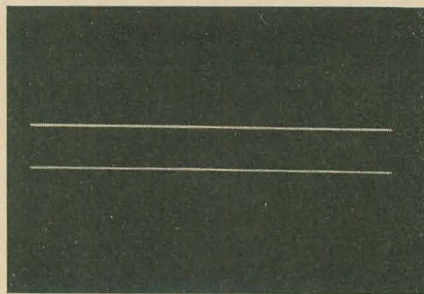


Bild 9: Linearität der beiden Strahlen

umtasten. Den Kippeingang trennt man vom Oszillografen ab, und schließt ihn an eine Fremdspeisung an. Um alle Details der Schirmbilder zu erhalten, empfiehlt es sich, die Kippfrequenz > 100 kHz zu wählen, wobei die Kurvenform keine Rolle spielt; es müssen nur die positiven Spitzen eine Spannung > 5 V besitzen, damit der monostabile Multivibrator einwandfrei schaltet.

Netzteil

Der Netzteil weist außer der relativ hohen Siebung keine Besonderheiten auf. Eine Sta-

bilisierung ist nicht vorgesehen, da die Schaltung bei Spannungsschwankungen von $\pm 10\%$ noch einwandfrei arbeitet. Als Netztrafo wurde ein Neumanntrafo vom Typ N 85 U verwendet, wobei die Anoden von $Rö_1$ (EZ 80) an die 280-V-Anschlüsse angeschlossen sind. Als Ladekondensator wurde $C_{21} = 50 \mu F$ verwendet. Zwischen Lade- und Siebkondensator (100 μF) wurde zur Glättung eine Neumanndrossel D 85/100 geschaltet. Vom Siebkondensator werden die Spannungen für $Rö_1$, $Rö_2$ und $Rö_4$ direkt abgenommen, während die Spannung für $Rö_3$ und $Rö_6$ über eine Neumanndrossel D 55/60 und einen Elko nochmals gesiebt wird. Dies ist erforderlich, um den Störabstand möglichst groß zu halten. Zur Entkopplung von $Rö_5$ und $Rö_6$ wurde in jedem Zweig noch ein Siebglied $5 k\Omega / 50 \mu F$ eingeschaltet. Die Anodenspannung für $Rö_3$ wird durch R_{42} auf den gewünschten Wert herabgesetzt. C_{24} dient zur Herabsetzung des Wechselstrominnenwiderstandes. Die negative Vorspannung für $Rö_3$ wird von der Sekundärwicklung abgenommen. Die negative Spannung wird durch C_{25} geglättet; mit R_{41} wird diese Vorspannung auf den erforderlichen Wert eingestellt.

Aufbau

Die Buchsen 2 und 4 sind Spezial-Koax-Buchsen, wie sie am OG 1-8 und IV-10 vorhanden sind, während die Buchsen 1 und 3 genormte HF-Koax-Buchsen sind.

Im Bild 10 ist die Verdrahtung zu erkennen. Um schädliche Streukapazitäten zu vermeiden, wurden die Schaltelemente direkt zwischen die Röhrenfassungen gelötet. An Punkten, an denen ein Stützpunkt erforderlich war, wurden Leitungsstützen der VEB KWH vom Typ HS 25 819, Ausführung I eingesetzt. Die Heizung ist verdreht verlegt und wird mittels eines Einstellreglers (R_{44}) symmetriert. Die Minusleitung (mindestens 1,5 mm Cu) ist nur an an $Rö_3$ und an Bu_1 und Bu_3 geerdet. Die Netzleitung zum Schalter S_1 ist in einem kleinen Kabelbaum zusammengefaßt und an der oberen Kante des Gerätes verlegt, um Störeinstrahlungen auf $Rö_5$ und $Rö_6$ zu vermeiden. Der Spannungsteiler für die negative Vorspannung sowie einige Stützpunkte des Netztes sind auf einer keramischen Lötbleiste vom Typ HS 25 759 Ausführung II der VEB KWH befestigt.

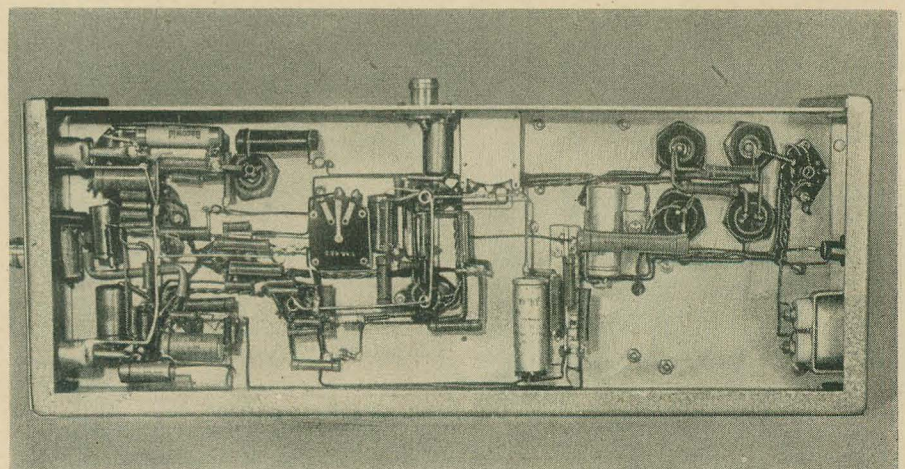
(Fortsetzung Seite 24)

Tabelle 1

Teilung	R_1	R_2	C_1	C_2
1:5	1,6 M Ω	0,4 M Ω	7,5 pF	30 pF
1:10	1,8 M Ω	0,2 M Ω	3,3 pF	30 pF
1:100	1,98 M Ω	20 k Ω	0,3 pF	30 pF

Widerstände $\pm 1\%$ 1 W
Kondensatoren abgleichen

Bild 10: Ansicht der Verdrahtung



Bauanleitung: Abstimmbarer Pentodenmultivibrator

GOTTHARD WERNER

Bei der Fehlersuche an Reparaturgeräten (Rundfunkempfänger usw.) wird häufig die Signalverfolgung angewendet. Diese gliedert sich in die Signalführung und in die Signalentnahme auf. Zur Signalführung benötigt man ein nieder- oder hochfrequentes Signal, das z. B. mit einem Multivibrator erzeugt werden kann.

Der nachfolgende Beitrag zeigt, daß mit einem Signalverfolger nicht nur Fehler gesucht werden, sondern auch Rundfunkempfänger abgeglichen werden können.

Der Multivibrator

Ein Multivibrator ist ein zweistufiger, mit einer Rückkopplung versehener Widerstandsverstärker. Die Frequenz der entstehenden Schwingung wird in erster Linie durch die Zeitkonstanten der Gitterkombinationen bestimmt und hängt von der Betriebsspannung ab. Die erzeugte Schwingung hat eine fast rechteckige Form, ist also äußerst oberwellenreich.

Bild 1 zeigt die einfachste und gebräuchlichste Schaltung eines selbstschwingenden Multivibrators.

Wirkungsweise

Gitter g_1 von $Rö_1$ sei negativ aufgeladen. $Rö_1$ wird also gesperrt, während gleichzeitig die Spannung an g_1 von $Rö_2$ schwach positiv ist, so daß Gitterstrom fließt. Der Kondensator C_1 entlädt sich über R_1 nach einer Exponentialfunktion, bis sich $Rö_1$ öffnet. An R_3 entsteht ein negativer Impuls, so daß g_1 der $Rö_2$ ebenfalls negativ wird. An R_4 entsteht aber ein positiver Impuls, durch den sich g_1 der $Rö_1$ weiter hochsteuert. Es entsteht also ein Rückkopplungsstoß, bis $Rö_2$ völlig gesperrt ist. Nun entlädt

sich der durch Gitterstrom aufgeladene Kondensator an g_1 der $Rö_2$ über R_2 , bis $Rö_2$ wieder öffnet, so daß ein umgekehrter Rückkopplungsstoß verursacht wird. Die Kondensatoren C_1 und C_2 werden also abwechselnd negativ am gitterseitigen Ende aufgeladen. Die zeitliche Folge der Aufladungen ist annähernd proportional der Zeitkonstante $C_1 R_1$ oder $C_2 R_2$. Die Sperrzeiten der Röhren sind weitgehend von den Röhrendaten abhängig. Die Schwingungsdauer ist gleich der Summe der beiden Sperrzeiten. Beim Multivibrator sind also für eine vollständige Schwingung die zwei in entgegengesetzter Richtung verlaufenden Rückkopplungsvorgänge maßgebend.

Anstelle zweier Trioden kann man auch eine Pentode verwenden. Das Steuergitter und das Schirmgitter bilden $Rö_1$, und das Bremsgitter und die Anode $Rö_2$.

Bild 2 zeigt eine einfache Schaltung eines solchen Pentodenmultivibrators. Diese Schaltung besitzt eine gewisse Schwingungsstabilität, da beide Trioden das geschlossene Röhrensystem der Pentode bilden. Mit dieser Schwingungsstabilität erhält man eine sauberere Rechteckkurve und damit wird die Schwingung ober-

wellenreicher, d. h., dieser Multivibrator erzeugt eine höhere Frequenz.

Schaltungsbeschreibung

Mit dem im Bild 3 dargestellten Pentodenmultivibrator wurden Frequenzen bis zu 12 MHz erzielt. Die Gitterkombinationen und Arbeitswiderstände sind so bemessen, daß eine möglichst hohe Frequenz erzeugt wurde. Durch Zuschalten von Vorkreisspulen eines Spulensatzes und eines AM-Drehkos wurde das Frequenzgemisch abstimbar gemacht und auf einer Skala entsprechend markiert.

Bild 4 zeigt die fertige Schaltung des Gerätes. Es wurde hier der Tastenschalter — Super-spulensatz — von Neumann benutzt (die drei Oszillatorspulen werden entfernt). Die Vorkreisspulen, der Schalter S_2 und der Saugkreis sind nun hier in einem einzigen Bauteil vereinigt.

Schalterstellungen

Schalterstellung 1: Im Bild 3 befindet sich S_2 in Stellung 1, d. h., im Bild 4 ist die TA-Taste (BB. m. ZF) gedrückt. Hierbei wird das gesamte Frequenzgemisch von 40 Hz ... 12 MHz auf den Ausgang gekoppelt. Diese Stellung dient also zur Signalführung an Reparaturgeräte.

Schalterstellung 2: Im Bild 3 befindet sich S_2 in Stellung 2, d. h., im Bild 4 ist die UKW-Taste (BB. o. ZF) gedrückt. Das Frequenzgemisch wird mit Ausnahme von 468 kHz auf den Ausgang des Multivibrators gekoppelt. Diese 468 kHz werden durch den Saugkreis gegen Erde abgeleitet. Die Stellung gilt hauptsächlich zur Fehlersuche an AM-Rundfunkgeräten. Schaltet man bei dieser Schalterstellung den Multivibrator an die Antennenbuchse des Rundfunkgerätes, so kann man sofort bestimmen, ob der Fehler im Oszillator oder in der ZF zu suchen ist. Arbeitet der Oszillator des Rundfunkgerätes nicht, so wird in dieser Stellung nichts im Lautsprecher zu hören sein, während bei Schalterstellung 1 (BB. m. ZF) trotzdem der Ton, wenn auch schwächer, zu hören ist. Bei Fehlern im ZF-Teil wird man bei beiden Schalterstellungen nur noch ein schwaches Signal hören. Bei Fehlern im NF-Teil wird bei beiden Schalterstellungen das Signal ganz schwach oder gar nicht mehr zu hören sein.

Schalterstellung 3: Im Bild 3 befindet sich S_2 in Stellung 3, d. h., im Bild 4 sind die K-M-L-Tasten gedrückt. Die Frequenzen des Kurz-, Mittel- und Langwellenbereiches sind auf der Skala geeicht.

Da hier das Frequenzgemisch an „ $Rö_1$ “ (Schirmgitter bei Pentode) bereits ausgekop-

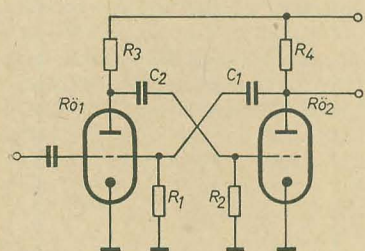


Bild 1: Grundsaltung des selbstschwingenden Multivibrators

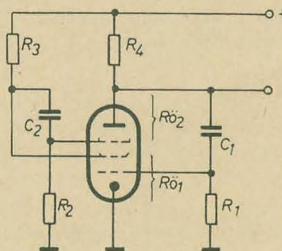


Bild 2: Grundsaltung des selbstschwingenden Pentodenmultivibrators

(Fortsetzung von Seite 23)

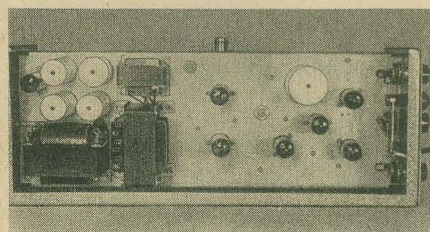


Bild 11: Anordnung der Bauelemente auf dem Chassis

Inbetriebnahme

Nachdem das Gerät fertiggestellt ist, setzt man die Röhren ein und nimmt die Inbetriebnahme vor. Mit einem Instrument von 20 k Ω /V mißt man an den aus Bild 5 ersichtlichen Meßpunkten die Spannungen, wobei die Abweichungen nicht größer als $\pm 5\%$ sein sollen. Die im Bild 5 gemessenen Spannungen wurden bei einer Netzspannung von 220 V gemessen. Während der Messungen ist es vorteilhaft, einen Spannungskonstanthalter vorzuschalten, um immer gleiche Ergebnisse zu erzielen.

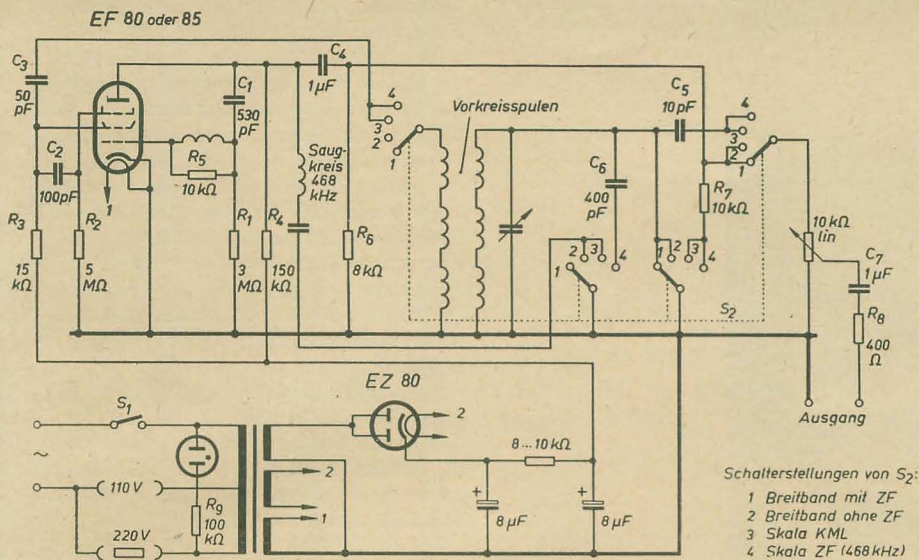


Bild 3: Schaltung des abstimmbaren Pentodenmultivibrators

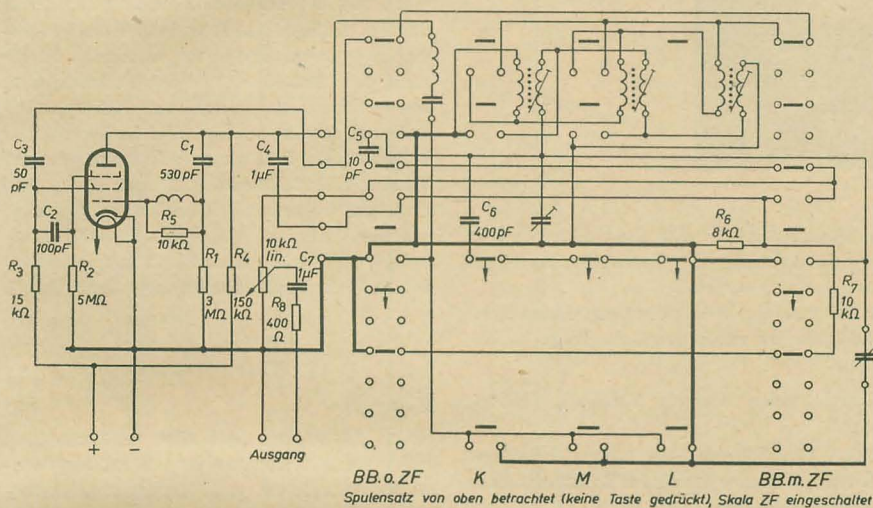


Bild 4: Schaltung des fertigen Gerätes bei Verwendung eines Neumann-Tastenschalters

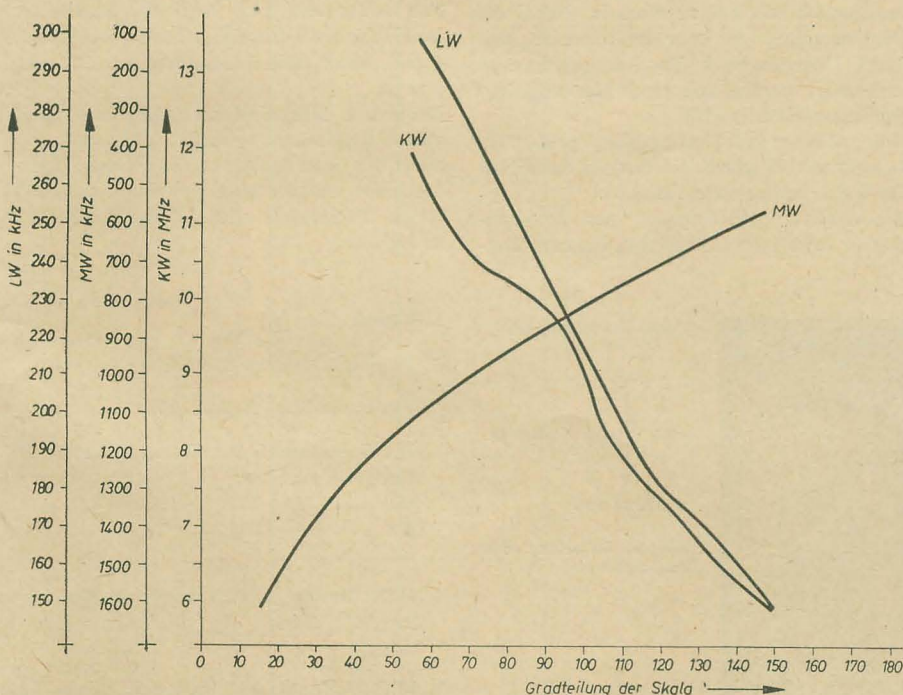


Bild 5: Eichkurven der Schalterstellungen K-M-L

pelt wird, mußte, um die Grundfrequenz wieder konstant zu halten, ein zusätzlicher Außenwiderstand (R_7) zugeschaltet werden. Dem Frequenzgemisch wurden nun die Vorkreis spulen eines Spulensatzes und ein AM-Drehko vorgeschaltet. Da am Ausgang nur noch die Frequenzen erscheinen, die mit entsprechenden Spulen abgeglichen sind, können diese mit Hilfe des Drehkos punktweise auf einer Skala festgehalten werden. Der Saugkreis liegt, um unerwünschte Resonanzfrequenzen fernzuhalten, dabei gegen Erde. In dieser Schalterstellung kann man den Multivibrator als „Prüfsender“ benutzen. Es läßt sich der gesamte Abgleich von AM-Rundfunkgeräten und der ZF-Abgleich (bis 12 MHz) von FM-Rundfunkgeräten durchführen (allerdings ZF-stufenweise nur bei leistungsstarken FM-Rundfunkgeräten).

Schalterstellung 4: Im Bild 3 befindet sich S_2 in Stellung 4, d. h., im Bild 4 ist keine Taste gedrückt. Bei dieser Schalterstellung liegen am Ausgang des Multivibrators 468 kHz an. Hierbei wird hauptsächlich der ZF-Abgleich von AM-Rundfunkgeräten vorgenommen (468 kHz befinden sich noch einmal im Langwellenbereich von Schalterstellung 3).

Der Abgleich des Gerätes in Schalterstellung 3

Bild 5 zeigt die Eichkurven des Gerätes. Es sind die Frequenzkurven der Wellenbereiche als Funktion der Gradteilung der Skala festgehalten. Der genaueste Abgleich wird natürlich mit einem Meßsender erzielt. Ist kein Meßsender vorhanden, kann man sich das Gerät in einer Rundfunkwerkstatt abgleichen lassen. Will man den Abgleich trotzdem selbst vornehmen, so ist folgender allerdings ungenauer Weg einzuschlagen: Man gleicht den Multivibrator nach einem Rundfunkgerät und der im Bild 5 dargestellten Eichkurve ab.

Mittelwelle des Gerätes: Der Multivibrator wird an die Antennenbuchse des Rundfunkgerätes gelegt und beide Geräte auf Mittelwelle geschaltet. Im Rundfunkgerät werden 1600 kHz eingestellt; den Zeiger des Multivibrators dreht man laut Eichkurve auf 15° der vorher von 0...180° geeichten Skala und gleicht nun den Vorkreis des Multivibrators auf Tonmaximum ab. Das gleiche ist auf der anderen Seite der in Grad geeichten Skala des Multivibrators mit einer bekannten Senderfrequenz des Rundfunkgerätes (etwa 143° = 575 kHz, Radio DDR 1) vorzunehmen. Dieser Vorgang wird sooft wiederholt, bis auf beiden Seiten der Multivibratorskala ein scharfes Tonmaximum vorhanden ist. Sind diese beiden Endpunkte eingestellt, so eicht man den Rest der Multivibratorskala nach der im

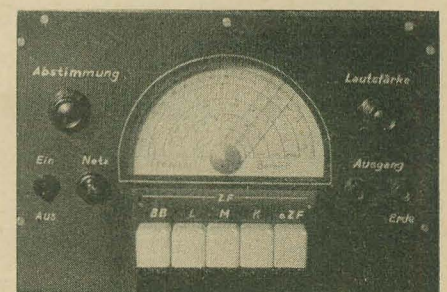


Bild 6: Frontplatte mit Tastensatz und geeichter Skala

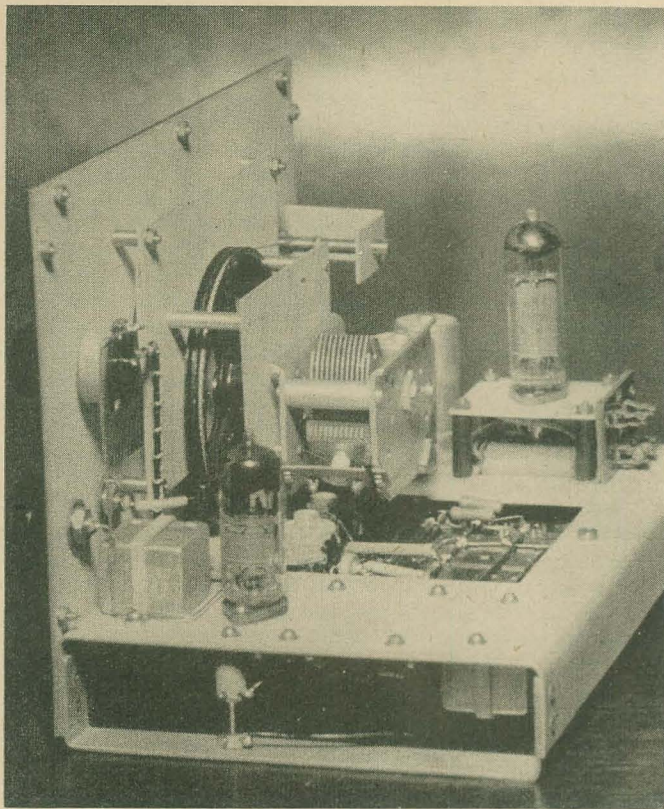


Bild 7: Mechanischer Aufbau des Gerätes

Bild 5 dargestellten Eichkurve. Das gleiche ist bei Kurzwelle und Langwelle zu wiederholen.

Im Bild 6 ist die Vorderansicht des fertigen Gerätes dargestellt. Die Bilder 7 und 8 lassen den Aufbau und die Verdrahtung des Gerätes erkennen.

Anwendungsmöglichkeiten

Wie bereits erwähnt, ist dieser Pentodenmultivibrator als „Prüfsender“ zu benutzen. AM-Rundfunkgeräte lassen sich vollkommen abgleichen, während bei FM-Rundfunkgeräten nur die ZF abgeglichen werden kann. Da die Oberwellen bei 10,7 MHz langsam abklingen, ist keine große Lautstärke bei diesen hohen Frequenzen zu erwarten. Es ist deswegen vorteilhaft, beim ZF-Abgleich von FM-Rundfunkgeräten nicht stufenweise, sondern die gesamte ZF mit einem Male abzugleichen. Bei Prüfungen von NF-Stufen wurde ein Kondensator von 250 pF, und bei HF-Stufen ein Kondensator von 5 pF dem Ausgang des Multivibrators in Reihe geschaltet. Bei FM-

Rundfunkgeräten ist dies nicht nötig, da hier durch das Abklingen der Oberwellen das Signal sowieso schwächer ist.

Die zweckmäßigste Vorschaltung dieser Kondensatoren ist durch folgende Wege zu erreichen:

1. Durch einen kleinen Tastkopf (Bild 9) und
2. durch verschiedene Meßleitungen, bei denen der Kondensator jeweils im Bananenstecker untergebracht ist.

Die Vorschaltung dieser Kondensatoren ist ebenfalls wichtig beim Abgleichen von Rundfunkgeräten, da bei zu starkem Signal die Regelspannung des Gerätes einsetzt und durch Übersteuerung die Resonanzmaxima verbreitert werden und somit das Abgleichergebnis verfälscht wird.

Sehr gut lassen sich Tonbandgeräte prüfen. Da hier nur mit NF gearbeitet wird, ist das Signal des Multivibrators sehr lautstark.

Bei defekter „Wiedergabe“ des Tonbandgerätes kann man stufenweise, bis zum Ton-

kopf selbst, ein Signal zuführen und somit den Fehler sehr schnell einkreisen. Bei defekter „Aufnahme“ des Tonbandgerätes ist es ebenso, nur daß man hier beim Tonkopf anfängt und „rückwärts“ bis zum Rundfunkgerät dem Tonkopf ein Signal zuführt, eine Probeaufnahme von Stufe zu Stufe macht und somit den Fehler ebenfalls sehr schnell einkreisen kann. Ferner läßt sich ein „Testband“ mit Hilfe des Multivibrators anfertigen, wonach man den Tonkopf „eintaumeln“ kann. Bei einiger Übung lassen sich Verzerrungsfehler auch bei der Signalführung an Rundfunkgeräten, vor allem bei NF-Stufen, erkennen.

Hiermit sind die hauptsächlichsten Anwendungsmöglichkeiten des „abstimmbaren Pentodenmultivibrators“ erwähnt. Beim Fernseh-Service beschränkt sich die Fehlersuche nur auf den NF-Teil (beim Paralleltonverfahren noch auf die Ton-ZF).

Mechanischer Aufbau

Beim mechanischen Aufbau wurde besonderer Wert auf die Übersichtlichkeit gelegt. Das Chassis, die Frontplatte und alle Befestigungswinkel wurden aus 1 mm Alu-Blech hergestellt. Der Ausschnitt für den Tastenschalter wurde nach oben gebogen und bildet die Befestigung für den Drehko. Auf die Frontplatte ist noch eine Deckplatte aus 1 mm starkem Vinidur aufgeschraubt. Zwischen Deck- und Frontplatte wurde ein Stück Zellophan gelegt, um die dahinter, auf einem gesondert befestigten Blech, liegende Skala zu schützen. Die äußeren Geräteabmessungen betragen:

Länge	280 mm
Höhe	185 mm
Tiefe	165 mm

Hinweis

Beim „Arbeiten“ mit dem abstimmbaren Pentodenmultivibrator ist es ratsam, denselben etwa 50 cm vom Reparaturgerät entfernt aufzustellen, um Einstrahlungen auf das Reparaturgerät zu vermeiden (besonders beim Abgleich). In der Bauanleitung wird immer nur schlechthin vom Abgleich gesprochen. Dabei war die Kenntnis über den richtigen Abgleich eines Rundfunkempfängers vorausgesetzt.

Mit diesem Gerät wird seit einigen Jahren mit guten Ergebnissen gearbeitet. Es soll vor allem mit dazu beitragen, die „Nasse-Finger-Methode“ abzuschaffen und durch systematische Fehlersuche den Fehler einkreisen zu helfen.

Literatur

- [1] Funk und Ton 11 (1951) S. 585 ... 599
- [2] Funktechnik 9 (1952) S. 242
- [3] Rint: Handbuch für Hochfrequenz- und Elektro-Techniker; Bd. 2, S. 671 ... 673
Bd. 4, S. 695 ... 696
Bd. 5, S. 477
- [4] Horst Hewel: „Einführung in die Fernseh-Praxis“; Verlag für Radio-Foto-Kinotechnik
- [5] Winfrid Knobloch: „Prüfen — Messen — Abgleichen“

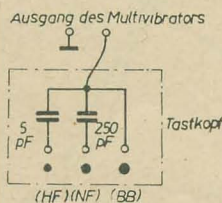
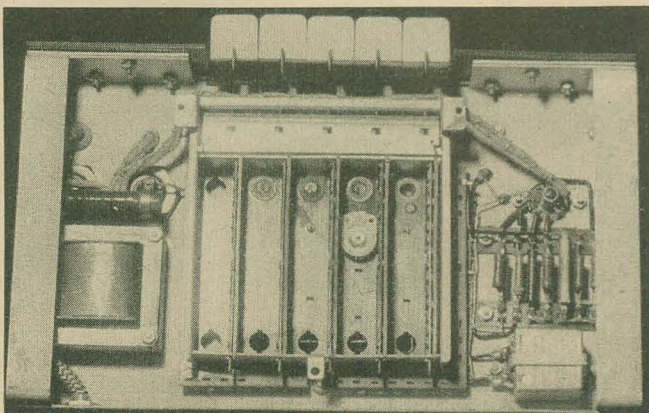


Bild 9: Schaltung des Tastkopfes

Bild 8: Untere Geräteansicht

Berechnung eines einfachen Siebgliedes mit hohem Siebfaktor

PETER FAHRENBERG

Im folgenden wird ein Siebglied beschrieben, das gegenüber der herkömmlichen LC-Siebschaltung eine wesentlich höhere Siebwirkung aufweist [1].

Vielfach kommt es darauf an, bei Netzteilen mit Gleichrichtern und Siebgliedern einen möglichst niedrigen und nahezu belastungs-unabhängigen Innenwiderstand zu erreichen. Man läßt dazu unter bestimmten Bedingungen den Ladekondensator fortfallen [2]. Darunter leidet natürlich die Siebung, und es ist nur mit größerem Aufwand möglich, die unerwünschten Brummspannungen genügend klein zu halten. Der große Vorzug der zu behandelnden

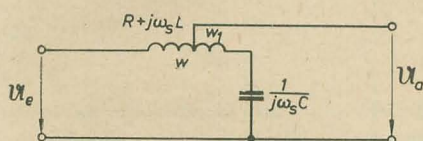


Bild 1: Schaltung des Siebgliedes mit Drosselabgriff

Siebschaltung liegt nun darin, auch bei geringem Aufwand eine extrem hohe Siebwirkung zu besitzen. Um das zu erreichen, wird die Induktivität an einer bestimmten Stelle angezapft (Bild 1) [2].

Die günstigste Stelle für die Anzapfung liegt

	Gleichrichter mit	
	C-Eingang	L-Eingang
Ausgangs-Gleichspannung	belastungsabhängig	oberhalb eines Mindeststromes weitgehend belastungs-unabhängig
Stromflußwinkel	klein (belastungsabhängig)	groß, etwa π
thermische Belastung der Gleichrichterstreifen bei einem bestimmten Gleichstrom	hoch, wegen des im Vergleich zum Gleichstrom-mittelwert hohen Effektivwertes des Stromes	niedrig, daher bei gleicher Erwärmung höherer Gleichstrom entnehmbar
bei kurzzeitigen Netzspannungsschwankungen	Gleichrichter durch Stromspitzen gefährdet	Gleichrichter nicht gefährdet
Gleichstrom-Innenwiderstand	hoch, belastungsabhängig	nur durch Wicklungswiderstände des Transformators und der Drossel sowie Bahnwiderstände der Gleichrichterstreifen bestimmt
der Gleichspannung überlagerte Wechselspannung	niedrig, belastungsabhängig	hoch, belastungsunabhängig
erforderliche Eingangs-Wechselspannung (eff.) bei Brückenschaltung	$(0,71 \dots 0,9) U_-$	etwa $1,2 U_-$

(Fortsetzung von Seite 26)

Zusammenstellung der verwendeten Einzelteile

1 Tastenschalter — Superspulenatz	1 Keramik Kondensator 530 pF
TOV 36/1 von G. Neumann	1 AM-Drehko
1 Netztrafo 1 × 200 V; 2 × 6,3 V	1 Skalenrad 90 mm Ø
(wie im Sonata Antennenverstärker	1 Glimmlampe
ATV 100 verwendet wurde)	1 Kippschalter 1—2 polig
1 EZ 80	1 Sicherungsbrettchen 110/220 V
1 EF 80	2 Knöpfe
2 Elko 8 μ F 500 V	2 Telefonbuchsen für Tastkopf oder Meßleitung
2 MP-Kondensatoren 1 μ F	1 Keramik Kondensator 5 pF
1 KW-Drossel 25 Wdg 0,75 CuL	1 Keramik Kondensator 250 pF
(Selbstanfertigung)	1 Deckplatte
1 Potentiometer 10 kΩ lin.	1-mm-Vinidur o. ä. 280 × 184 mm
1 Drahtwiderstand 8 ... 10 kΩ 6 ... 8 W	1 Frontplatte
1 Schichtwiderstand 100 kΩ 0,05 W	1-mm-Alu-Blech 280 × 180 mm
1 Schichtwiderstand 3 MΩ 0,25 W	1 Chassis
1 Schichtwiderstand 5 MΩ 0,25 W	1-mm-Alu-Blech 280 × 220 mm
1 Schichtwiderstand 8 kΩ 0,25 W	2 Chassisfüße
2 Schichtwiderstände 10 kΩ 0,25 W	1-mm-Alu-Blech 220 × 20 mm
1 Schichtwiderstand 400 Ω 0,25 W	1 Skalenrückwand
1 Schichtwiderstand 15 kΩ 0,5 W	1-mm-Alu-Blech 150 × 95 mm
1 Schichtwiderstand 150 kΩ 0,5 W	1 Winkel für Skalenantrieb
1 Keramik Kondensator 10 pF	1-mm-Alu-Blech 120 × 20 mm
1 Keramik Kondensator 50 pF	1 Platte für Gleichrichterröhre
1 Keramik Kondensator 400 pF	1-mm-Alu-Blech 55 × 55 mm
1 Keramik Kondensator 400 pF	

dicht am kondensatorseitigen Ende der Drosselwicklung. Mit w_1 soll die Windungszahl zwischen diesem Ende und der Anzapfung, mit w die Gesamtwindungszahl der Drossel bezeichnet werden.

Bild 2a zeigt die Brummspannung am Ausgang eines herkömmlichen LC-Siebgliedes.

Das gleiche Siebglied (Kapazität, Induktivität und Belastung blieben unverändert) zeigt bei Anzapfung der Wicklung ein gänzlich anderes Verhalten (Bild 2b). Von der Grundfrequenz ist so gut wie nichts mehr vorhanden, und auch die höheren Harmonischen sind stark gedämpft.

Die Anwendung der vorgeschlagenen verbesserten Siebschaltung beim Gleichrichter mit L-Eingang ergibt eine Gleichrichterschaltung, die den herkömmlichen Gleichrichterschaltungen mit C-Eingang in vielen Punkten überlegen ist [2]. Vergleicht man die Eigenschaften der Gleichrichter mit C- und mit L-Eingang miteinander, so erkennt man, daß die Anwendung des L-Einganges fast nur Vorteile gegenüber dem meist verwendeten C-Eingang aufweist (siehe obenstehende Tabelle).

Die bei L-Eingang etwas höhere erforderliche Eingangs-Wechselspannung ist kein großer Nachteil, da Netzteile ohne Transformator bei diesem Vergleich nicht berücksichtigt werden sollen.

Die der Gleichspannung überlagerte relativ hohe Wechselspannung ist wahrscheinlich die Ursache dafür, daß der L-Eingang bisher so „stiefmütterlich“ behandelt und wenig angewandt wurde.

Durch die angezapfte Drossel wird der Umfang der erforderlichen Siebmittel erheblich reduziert.

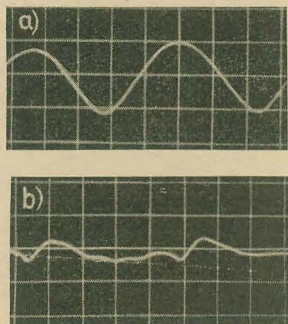


Bild 2: Brummspannungsverlauf am Siebglied, a) ohne angezapfte Wicklung, b) mit angezapfter Wicklung

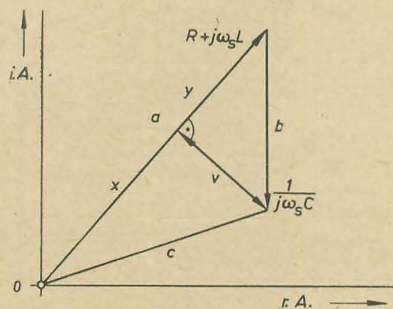


Bild 3: Zeigerdiagramm des Siebgliedes mit angezapfter Wicklung

Das Zeigerdiagramm nach Bild 3 zeigt die vorliegenden Verhältnisse, jedoch nur stark verzerrt, da der kapazitive Widerstand bei üblichen Siebgliedern sehr klein gegenüber dem induktiven Widerstand ist.

Bild 3 gilt für eine Schaltung mit einer verlustbehafteten Induktivität $R + j\omega_s L$ und einer in Reihe dazu liegende Kapazität $\frac{1}{j\omega_s C}$, deren Verluste vernachlässigbar sein sollen. Sind diese nicht vernachlässigbar klein, wie z. B. beim Elektrolytkondensator mit $\tan \delta \approx 0,2$, so können sie durch eine gedachte Schwenkung des Zeigerdiagramms berücksichtigt werden; dann ist ϱ_L entsprechend der Summe der Verlustwinkel zu wählen. Dies ändert jedoch nichts an den prinzipiellen Überlegungen.

In der herkömmlichen Weise wurde die Schaltung als Wechselspannungsteiler benutzt, d. h. man griff die gesiebte Spannung mit dem Betrag b an der Kapazität ab. Zapft man im Gegensatz dazu die Induktivität an und greift zwischen Anzapfpunkt und Kapazität ab — wie es die Bilder 1 und 3 zeigen — so hat die gesiebte Spannung den Betrag v . Trotz der verzerrten Darstellung des Zeigerdiagramms ist ohne weiteres einzusehen, daß $v < b$ ist und für den Fall, wo v senkrecht auf a steht, ein Minimum darstellt.

Bei bekannten Zeigerbeträgen kann man damit das optimale Anzapfverhältnis $\frac{w}{w_1}$ bestimmen, da sich die Widerstandsoperatoren wie die Spannungen und diese wie die Windungszahlen verhalten.

Die bekannten Zeigerbeträge sind:

$$a = \sqrt{R^2 + \omega_s^2 L^2} \quad (1)$$

$$b = \frac{1}{\omega_s C} \quad (2)$$

und

$$c = \sqrt{R^2 + \left(\omega_s L - \frac{1}{\omega_s C}\right)^2} \quad (3)$$

Berechnung des Anzapfverhältnisses

Nach Bild 3 ist:

$$x + y = a$$

und

$$\frac{a}{y} = \frac{w}{w_1}$$

Weiterhin ist, wenn v auf a senkrecht steht:

$$-y^2 + (a - y)^2 + b^2 = c^2$$

Daraus folgt:

$$y = \frac{a^2 + b^2 - c^2}{2a}$$

Mit

$$\frac{a}{y} = \frac{w}{w_1}$$

wird dann:

$$\frac{w}{w_1} = \frac{2a^2}{a^2 + b^2 - c^2}$$

und nach Einsetzen der bekannten Zeigerbeträge:

$$\begin{aligned} \frac{w}{w_1} &= \frac{2(R^2 + \omega_s^2 L^2)}{R^2 + \omega_s^2 L^2 + \frac{1}{\omega_s^2 C^2} - R^2 - \left(\omega_s L - \frac{1}{\omega_s C}\right)^2} \\ &= \frac{R^2 + \omega_s^2 L^2}{\frac{L}{C}} \end{aligned} \quad (4)$$

bzw.

$$\frac{w}{w_1} = R^2 \frac{C}{L} + \omega_s^2 LC \quad (5)$$

Setzt man

$$\frac{\omega_s L}{R} = \varrho_L, \quad (6)$$

so erhält man aus (4) bzw. (5)

$$\frac{w}{w_1} = \omega_s^2 LC \frac{1 + \varrho_L^2}{\varrho_L^2} \quad (7)$$

Im Bild 4 ist die Funktion

$$\frac{w}{w_1} \omega_s^2 LC = f(\varrho_L)$$

grafisch dargestellt. Man erkennt, daß man für

$$\varrho_L > 10 \text{ mit } \frac{w}{w_1} \omega_s^2 LC$$

schon ziemlich nahe bei 1 liegt. Mit dieser Vernachlässigung läßt sich (7) vereinfachen zu

$$\frac{w}{w_1} = \omega_s^2 LC \quad (8)$$

Die Abweichung vom exakten Wert ist für $\varrho_L > 10$ kleiner als 1%.

Für $f = 50 \text{ Hz}$ (Einweggleichrichtung) ergibt sich aus (8) als zugeschnittene Größen-gleichung

$$\frac{w}{w_1} \approx \frac{L \cdot C}{10,1} \quad (9)$$

mit L in Henry und C in μF . Analog dazu kann man für $f = 100 \text{ Hz}$ (Doppelweg- oder Graetzgleichrichtung) schreiben:

$$\frac{w}{w_1} \approx \frac{L \cdot C}{2,53} \quad (10)$$

ebenfalls mit L in Henry und C in μF . Der Verlauf der Funktionen nach den Gleichungen (9) und (10) für verschiedene Werte ist im Bild 5 grafisch dargestellt.

Ist z. B. ein Siebglied von einer 50-Hz-Schaltung in eine 100-Hz-Schaltung umzurechnen (Einweg- in Zweiweggleichrichtung), bei dem das Anzapfverhältnis unverändert bleiben soll, so ist

$$\frac{G_{\text{bei } 100 \text{ Hz}}}{G_{\text{bei } 50 \text{ Hz}}} = \frac{1}{4} \quad (11)$$

Sollen dagegen die Bauelemente und die Gesamtwindungszahl gleichbleiben, so verhält sich analog:

$$\frac{w_1 \text{ bei } 100 \text{ Hz}}{w_1 \text{ bei } 50 \text{ Hz}} = \frac{1}{4} \quad (12)$$

Berechnung des Siebfaktors bei optimalem Anzapfverhältnis

Der Siebfaktor S eines Siebgliedes kennzeichnet den Wert dieser Schaltung. Er beträgt:

$$S = \frac{|u_c|}{|u_a|} \quad (13)$$

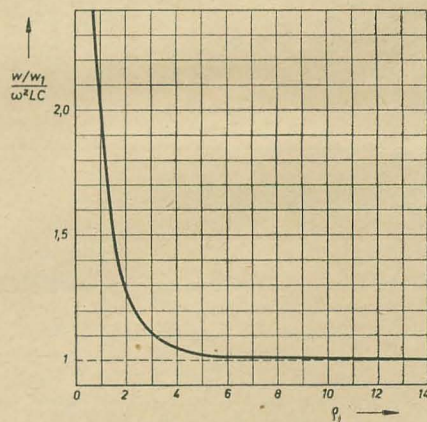


Bild 4: Der Ausdruck $\frac{w}{w_1} \omega_s^2 LC$ in Abhängigkeit von der Spulengüte

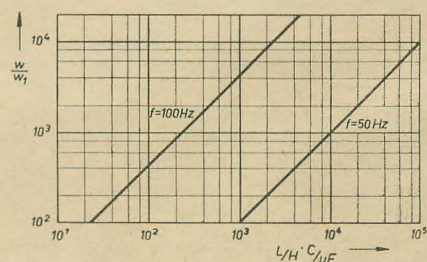


Bild 5: Abhängigkeit des Windungsverhältnisses von w und w_1 von dem Produkt L und C , Parameter: auszusiebbende Frequenz

Bei optimal angezapfter Induktivität ergibt sich also

$$S_{\text{opt}} = \frac{c}{v}$$

Weiterhin ergibt sich bei diesem Zustand entsprechend Bild 3

$$x^2 + y^2 = c^2$$

Mit $x = a - y$ ist weiterhin

$$a^2 - 2ay + y^2 + v^2 = c^2$$

und mit $y^2 = b^2 - v^2$

$$a^2 = 2a\sqrt{b^2 - v^2} + b^2 - v^2 + v^2 = c^2$$

Daraus folgt

$$b^2 - v^2 = \left(\frac{a^2 + b^2 - c^2}{2a} \right)^2$$

und

$$v = \sqrt{b^2 - \frac{(a^2 + b^2 - c^2)^2}{4a^2}}$$

Mit den entsprechenden Beträgen für a , b und c ist dann:

$$v = \sqrt{\frac{1}{\omega_s^2 C^2} - \frac{L^2}{C^2} \cdot \frac{1}{R^2 + \omega_s^2 L^2}} \quad (15)$$

Damit und mit (3) ist nach (14) der Siebfaktor

$$S_{\text{opt}} = \sqrt{\frac{R^2 + \left(\omega_s L - \frac{1}{\omega_s C} \right)^2}{\frac{1}{\omega_s^2 C^2} - \frac{L^2}{C^2} \cdot \frac{1}{R^2 + \omega_s^2 L^2}}} = \sqrt{\frac{\left[R^2 + \left(\omega_s L - \frac{1}{\omega_s C} \right)^2 \right] [R^2 + \omega_s^2 L^2]}{R^2 \omega_s^2 C^2}} = \frac{\omega_s C}{R} \cdot \sqrt{\left[R^2 + \left(\omega_s L - \frac{1}{\omega_s C} \right)^2 \right] [R^2 + \omega_s^2 L^2]} \quad (16)$$

Mit

$$\frac{\omega_s L}{R} = \varrho_L$$

läßt sich (16) umformen zu:

$$S_{\text{opt}} = \omega_s C R \cdot \sqrt{\left[1 + \left(\varrho_L - \frac{1}{\omega_s R C} \right)^2 \right] [1 + \varrho_L^2]} \quad (17)$$

Aus (16) läßt sich für $\omega_s L \gg \frac{1}{\omega_s C}$ als Näherung schreiben (diese Näherung ist in der Praxis immer erfüllt):

$$S_{\text{opt}} \approx \frac{\omega_s C}{R} (R^2 + \omega_s^2 L^2) \quad (18)$$

bzw.

$$S_{\text{opt}} \approx R^2 \frac{C}{L} \cdot \varrho_L (1 + \varrho_L^2) \quad (19)$$

oder

$$S_{\text{opt}} \approx \omega_s^2 L C \cdot \frac{1 + \varrho_L^2}{\varrho_L} \quad (20)$$

Der Verlauf von Gleichung (20) ist im Bild 6 grafisch dargestellt. Für $\varrho_L \gg 1$ findet man für S_{opt} eine weitere Näherung:

$$S_{\text{opt}} \approx \varrho_L \cdot \omega_s^2 L C$$

bzw.

$$S_{\text{opt}} \approx R^2 \frac{C}{L} \cdot \varrho_L^2 \quad (22)$$

oder

$$S_{\text{opt}} \approx \frac{\omega_s^2 L^2 C}{R} \quad (23)$$

Der prozentuale Fehler für $\varrho_L = 10$ bei der Vernachlässigung beträgt 1%. Für höhere Spulengüten kann man also ohne weiteres mit den Gleichungen (21) ... (23) rechnen.

Mit Gleichung (8) läßt sich (21) auch schreiben:

$$S_{\text{opt}} \approx \varrho_L \cdot \frac{W}{W_1} \quad (24)$$

Aus vorhandenem optimalem Windungsverhältnis und bekannter Spulengüte läßt sich der Siebfaktor sofort bestimmen. Hiernach erkennt man besonders deutlich die Notwendigkeit, den Betrag von ϱ_L und $\frac{W}{W_1}$ so hoch wie möglich zu treiben.

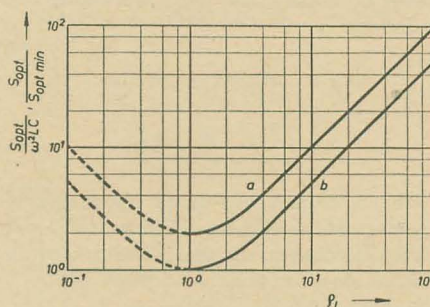


Bild 6: a) Verlauf von Gleichung 20 $\left(\frac{S_{\text{opt}}}{\omega_s^2 L C} \right)$ und b) von Gleichung 32 in Abhängigkeit von der Spulengüte

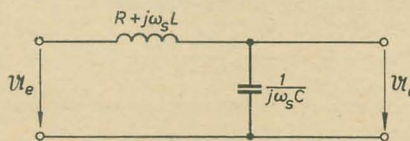


Bild 7: Allgemeines Siebglied

Vergleich der angezapften Siebschaltung mit der allgemein gebräuchlichen Siebschaltung

Der Siebfaktor der üblichen Siebschaltung (Bild 7) werde mit S_a bezeichnet und beträget:

$$S_a = \frac{|U_c|}{|U_a|} = \frac{\sqrt{R^2 + \left(\omega_s L - \frac{1}{\omega_s C} \right)^2}}{\frac{1}{\omega_s C}} \quad (25)$$

Setzt man die Siebfaktoren S_{opt} und S_a ins Verhältnis, also die Gleichungen (16) und (25), so ist

$$\frac{S_{\text{opt}}}{S_a} = \frac{\omega_s C}{R} \cdot \frac{1}{\sqrt{R^2 + \left(\omega_s L - \frac{1}{\omega_s C} \right)^2} \cdot \frac{1}{\omega_s C}} = \frac{1}{\sqrt{R^2 + \left(\omega_s L - \frac{1}{\omega_s C} \right)^2} \cdot \frac{1}{\omega_s C}} = \frac{\sqrt{R^2 + \omega_s^2 L^2}}{R} \quad (26)$$

bzw.

$$\frac{S_{\text{opt}}}{S_a} = \sqrt{1 + \varrho_L^2} \quad (27)$$

Der Siebfaktor S_{opt} ist also für die Kreisfrequenz ω_s um das $\sqrt{1 + \varrho_L^2}$ -fache größer als der Siebfaktor der üblichen Schaltung S_a . Für $\varrho_L \gg 1$ läßt sich (27) weiter vereinfachen zu

$$\frac{S_{\text{opt}}}{S_a} = \varrho_L \quad (28)$$

bzw.

$$S_{\text{opt}} = \varrho_L \cdot S_a \quad (29)$$

d. h. für die in der Praxis vorkommenden Spulengüten von $\varrho_L > 10$ ist die Siebwirkung des Siebgliebs mit entsprechender Anzapfung annähernd ϱ_L -mal größer als die der üblichen Schaltung. In Gleichung (21) zeigt sich dieses Ergebnis ebenfalls.

Der kleinste optimale Siebfaktor

Aus Gleichung (18) ist zu ersehen, daß $S_{\text{opt}} = f(R)$ ein Extrem durchläuft, wahrscheinlich ein Minimum. Dieser Extremwert soll jetzt berechnet werden. Zu diesem Zweck wird die erste Ableitung von Gleichung (18) gebildet:

$$\frac{d S_{\text{opt}}}{d R} = \omega_s C - \frac{\omega_s^3 L^2 C}{R^2}$$

Nach Nullsetzen ist

$$\omega_s C = \frac{\omega_s^3 L^2 C}{R^2}$$

bzw.

$$R = \omega_s L$$

Die Prüfung dieses Extremwertes ergibt

$$\frac{d^2 S_{\text{opt}}}{d R^2} = \frac{2 \omega_s^3 L^2 C}{R^3} > 0,$$

also ein Minimum.

Setzt man Gleichung (30) in (18) ein, so ergibt sich dann der in Abhängigkeit von der Spulengüte kleinstmögliche optimale Siebfaktor

$$S_{\text{opt min}} = 2 \omega_s^2 L C, \quad (31)$$

der immer noch doppelt so groß ist, wie der angenäherte Wert des Siebfaktors S_a der gebräuchlichen Schaltung.

Bildet man das Verhältnis

$$\frac{S_{\text{opt}}}{S_{\text{opt min}}},$$

so wird diese Tatsache noch einmal veranschaulicht

$$\frac{S_{\text{opt}}}{S_{\text{opt min}}} = \frac{\omega_s C}{R} \cdot \frac{R^2 + \omega_s^2 L^2}{2 \omega_s^2 L C}$$

bzw.

$$\frac{S_{\text{opt}}}{S_{\text{opt min}}} = \frac{R (1 + \varrho_L^2)}{2 \omega_s L}$$

oder

$$\frac{S_{\text{opt}}}{S_{\text{opt min}}} = \frac{1 + \varrho_L^2}{2 \varrho_L} \quad (32)$$

Der Verlauf von Gleichung (32) ist im Bild 6 grafisch dargestellt. Diese Funktion besitzt ein Minimum, das sich aus

$$\frac{d \left(\frac{S_{\text{opt}}}{S_{\text{opt min}}} \right)}{d \varrho_L} = 0$$

ergibt.

Hierfür gilt auch

$$\frac{u'}{v'} = \frac{u}{v} = \frac{2 \varrho_L}{2} = \frac{1 + \varrho_L^2}{2 \varrho_L},$$

so daß daraus

$$2 \varrho_L^2 = 1 + \varrho_L^2$$

bzw.

$$\varrho_L = 1 \quad (33)$$

folgt. Dieser Ausdruck ist mit (30) identisch, bedeutet daher in der gegebenen Funktion ein Minimum.

Für diesen Fall gilt

$$\frac{S_{\text{opt}}}{S_{\text{opt}_{\min}}} = 1. \quad (34)$$

Läßt man nun die Spulengüte sehr große Werte annehmen, so ist nach (32)

$$\frac{S_{\text{opt}}}{S_{\text{opt}_{\min}}} \approx \frac{\varrho_L}{2} \quad (35)$$

Untersuchung der Siebwirkung der Schaltung bei anderen Frequenzen

Die bisherigen Betrachtungen legten den optimalen Siebfaktor zugrunde. Dieser zeigte keine funktionelle Abhängigkeit vom Windungsverhältnis, da er ja schon für das optimale Anzapfverhältnis galt. Für andere Frequenzen, z. B. Oberwellen von ω_s , muß sich auf Grund der Frequenzabhängigkeit des optimalen Windungsverhältnisses der Siebfaktor verschlechtern.

Man kann nun, um den Siebfaktor für die Oberwellen zu finden, auch die Zeigerdiagramme für die weiteren Harmonischen konstruieren, wobei man den ohmschen Widerstand der Spule und das Anzapfverhältnis konstant lassen muß (Bild 8).

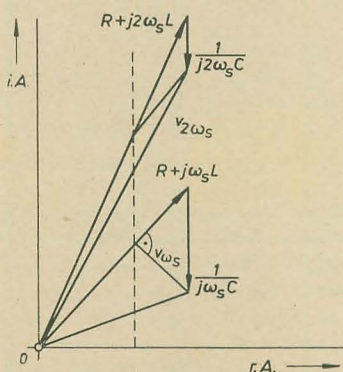


Bild 8: Konstruktion des Zeigerdiagramms der zweiten Harmonischen aus dem der ersten Harmonischen

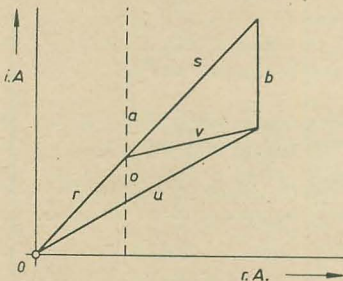


Bild 9: Hilfsdiagramm zur Berechnung von v

In analoger Weise lassen sich die Zeigerdiagramme für die folgenden Harmonischen konstruieren. Beim maßstabgerechten Konstruieren wird es jedoch schwer sein, einiger-

maßen genaue Werte für die entsprechenden Siebfaktoren zu finden.

Es soll deshalb der Siebfaktor als Funktion von $\frac{w}{w_1}$, ω , R, L und C berechnet werden.

Zu diesem Zweck wird ein Zeigerdiagramm in allgemeiner Lage benutzt (Bild 9).

Die Zeigerbeträge erhalten wieder die Bezeichnungen a, b und c; r, s und u sind Teilbeträge und der Quotient aus v und c stellt den Siebfaktor dar. Es muß daher zuerst v als Funk-

tion von a, b und c sowie $\frac{w}{w_1}$ dargestellt werden.

Zu diesem Zweck wird v aus den Abschnitten des Trapezes s, o, u, b berechnet.

Es gelten folgende Proportionen:

$$\frac{a}{s} = \frac{w}{w_1}; \quad \frac{c}{u} = \frac{w}{w_1}; \quad \frac{r}{a} = \frac{a-s}{a} = \frac{o}{b}$$

Daraus lassen sich die Teilstrecken bestimmen:

$$s = \frac{a}{w/w_1}; \quad u = \frac{c}{w/w_1}; \\ o = \frac{b}{w/w_1} \left(\frac{w}{w_1} - 1 \right).$$

Das Trapez muß nun durch Hilfsgrößen ergänzt werden (Bild 10). Hieraus lassen sich drei Gleichungen mit drei Unbekannten ableiten, aus denen sich v bestimmen läßt.

Es sind:

$$v^2 = n^2 + (b-m)^2,$$

$$s^2 = m^2 + n^2$$

und

$$u^2 = n^2 + (o+m-b)^2.$$

Nach Eliminieren der Hilfsgrößen ist:

$$v^2 = s^2 + b^2 - \frac{b(u^2 - s^2)}{o-b} + b(o-b).$$

Setzt man die vorher angeführten Werte für s, u und o ein, so ergibt sich

$$v = \sqrt{\frac{a^2}{(w/w_1)^2} + \frac{c^2 - a^2 - b^2}{w/w_1} + b^2}.$$

Mit den „elektrischen“ Werten für a, b und c ist weiterhin

$$v = \sqrt{\frac{R^2 + \omega^2 L^2}{(w/w_1)^2} - \frac{2}{w/w_1} \frac{L}{C} + \frac{1}{\omega^2 C^2}}.$$

Nach $s = \frac{c}{v}$ folgt dann für den Siebfaktor

$$s = \frac{w}{w_1} \sqrt{\frac{R^2 + \left(\omega L - \frac{1}{\omega C} \right)^2}{R^2 + \left(\omega L - \frac{w}{w_1} \cdot \frac{1}{\omega C} \right)^2}} \quad (36)$$

bzw.

$$s = \frac{w}{w_1} \sqrt{\frac{1 + \left(\varrho_L - \frac{1}{\omega RC} \right)^2}{1 + \left(\varrho_L - \frac{w}{w_1} \cdot \frac{1}{\omega RC} \right)^2}} \quad (37)$$

Die Gleichungen (36) und (37) stellen die allgemeine Form des Siebfaktors für die Siebschaltung mit Anzapfung dar. Durch Differentiation von s nach $\frac{w}{w_1}$ und Nullsetzen des

Differentialquotienten findet man für $\frac{w}{w_1}$

Gleichung (4). Dieser Wert in (36) eingesetzt ergibt dann das Maximum für s.

Mit Gleichung (36) bzw. (37) ist es nun möglich, für beliebige Frequenzen, z. B. Oberwellen von ω_s , den Siebfaktor zu bestimmen.

Zur Veranschaulichung werde ein Frequenzspektrum der Siebfaktoren als Beispiel für zwei verschiedene Spulengüten bei konstantem L und C angeführt (Bild 11).

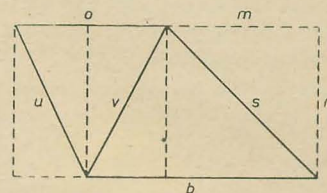


Bild 10: Hilfsdiagramm zur Berechnung von v

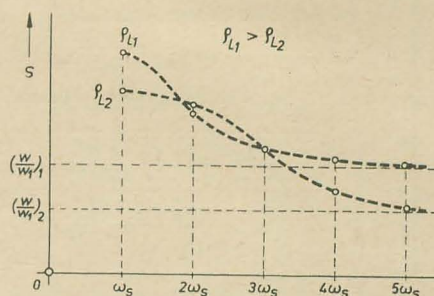


Bild 11: Frequenzspektrum der Siebfaktoren (L und C = const). Parameter: ϱ_L

Der Siebfaktor einer derartigen Schaltung nimmt in Abhängigkeit von der Ordnungszahl der Harmonischen ab und nähert sich asymptotisch dem Windungsverhältnis. Durch eine Grenzwertbetrachtung von (36) bzw. (37) ist dies leicht einzusehen. Ein hohes Windungsverhältnis ist folglich ebenso wie bei (24) erstrebenswert. Die Anzapfstelle ist daher möglichst in die Nähe des Wicklungsendes der Spule zu legen. Oft ist bei fertig gewickelten Drosseln noch so viel Wickelraum vorhanden, daß man die wenigen für w_1 erforderlichen Windungen aufbringen kann. Der Bastler kann z. B. durch Ankratzen der letzten Windungen beim vorhandenen Siebglied leicht das Optimum finden. Diese Methode ist jedoch nicht weiter zu empfehlen.

Bemerkenswert ist, daß der Abfall bei höherer Spulengüte schneller erfolgt. Das ist zu berücksichtigen, wenn ein Frequenzspektrum vorliegt, bei dem z. B. eine Oberwelle eine gleiche oder größere Amplitude als die Grundfrequenz aufweist.

Bei der Ein- und Zweiweggleichrichtung ist das jedoch nicht der Fall.

Zur Errechnung der Siebung bei den höheren Harmonischen sei nachstehende Tabelle der Amplitudenfaktoren für Ein- und Zweiweggleichrichtung angegeben [3].

Die in der Tabelle aufgeführten Werte, dividiert durch die entsprechenden Siebfaktoren und mit der Eingangsspannung der Grundfrequenz ω_s multipliziert, ergeben die verbleibenden Restspannungen der betreffenden höheren Harmonischen.

	50 Hz	100 Hz	150 Hz	200 Hz	250 Hz	300 Hz
Einweg-Gleichrichter	1 (100 %)	$\frac{4}{3}$ (42,5 %)	—	$\frac{4}{15}$ (8,5 %)	—	$\frac{4}{35}$ (3,635 %)
Zweiweg-Gleichrichter	—	1 (100 %)	—	$\frac{1}{5}$ (20 %)	—	$\frac{3}{35}$ (8,56 %)

Zusammenfassung

Es wird die Verbesserung eines LC-Siebgliedes durch eine Anzapfung der Drosselwicklung und Abgreifen der Ausgangsspannung an der Anzapfung beschrieben.

Um die Brummspannung am Ausgang auf ein vorgegebenes Maß herabzusetzen, waren bisher beim Gleichrichter mit L-Eingang umfangreiche Siebmittel erforderlich. Durch die an-

gezapfte Drossel wird der Umfang der aufzuwendenden Siebmittel erheblich reduziert, so daß Aussicht besteht, daß der L-Eingang sich ein breiteres Anwendungsgebiet als bisher erobert. Insbesondere in Verbindung mit den in neuerer Zeit immer mehr angewandten Siliziumgleichrichtern ergeben sich dadurch Gleichrichterschaltungen mit besonders geringer Lastabhängigkeit der Gleichspannung.

Anhand von Zeigerdiagrammen wurden das optimale Windungsverhältnis für die Anzapfung und die Siebfaktoren für höhere Harmonische berechnet. Näherungsformeln und Diagramme sind vorhanden.

Literatur

- [1] Patentschrift Nr. 642 384, Klasse 21 a⁴, Gruppe: 35₁₅
- [2] Rothe-Kleen: Elektronenröhren als Schwingungserzeuger und Gleichrichter; Akademische Verlagsgesellschaft Geest & Portig K.-G., Leipzig
- [3] Handbuch für Hochfrequenz- und Elektrotechnik, Band I; Verlag für Radio — Foto — Kinotechnik GmbH, Berlin-Borsigwalde

Halbleiterbauelemente in der Fernmeldetechnik

Fachtagung der KDT

Der Fachverband Elektrotechnik der KDT veranstaltete auf Anregung und unter Leitung von Prof. Dr. Falter am 8. und 9. November 1961 in Jena eine Fachtagung unter dem Thema „Halbleiterbauelemente in der Fernmeldetechnik“.

In einem ausgezeichneten Übersichtsvortrag behandelte zunächst Dipl.-Ing. Maywald (IPF Berlin) die verschiedenen Anwendungsmöglichkeiten der Halbleiter in der Fernmeldetechnik und die sich daraus ergebenden Perspektiven. Die Verwendung von Transistoren in der Vermittlungstechnik wird den Übergang von direkt gesteuerten zu indirekt gesteuerten Systemen ermöglichen. Damit ist eine Beschleunigung des Wählvorganges und eine Verkürzung der Belegungszeit von Leitungen verbunden. Bei etwa auftretenden Störungen wird die neue Technik die automatische Umschaltung auf andere Baugruppen und die Herstellung von Verbindungen auf Ausweichwegen ermöglichen. Weitere für den Fernsprechteilnehmer weniger sicht- oder fühlbare Anwendungen von Halbleiterbauelementen ergeben sich bei Rufgeneratoren ohne rotierende Teile, den Gebührenerfassungseinrichtungen, den Stromversorgungsanlagen u. ä. Die vollelektronische Fernsprechvermittlung ohne jeden elektromechanischen Kontakt befindet sich — auch im internationalen Maßstab gesehen — zur Zeit noch im Forschungsstadium.

Nicht minder große Umwälzungen deuten sich durch die Anwendung von Transistoren in der Übertragungstechnik an, obgleich zur Zeit noch eine große Diskrepanz zwischen den

hohen Anforderungen dieser Technik an die Toleranzen sowie die Konstanz der Bauelemente einerseits und den großen Streuwerten der Transistoren andererseits besteht. Transistorbestückte Trägerfrequenzverstärker haben einen um 90 % geringeren Energiebedarf als röhrenbestückte.

Zum Schluß wies der Referent darauf hin, daß von nun an der Weg der Fernmeldetechnik eng mit dem der Halbleitertechnik verbunden sei. Die daraus abzuleitende Notwendigkeit einer engen Zusammenarbeit zwischen beiden kam auch in einer am zweiten Tage gefaßten Entschließung zum Ausdruck.

Im zweiten Vortrag behandelte Herr Ing. Rumpf (ZLF Berlin): „Ein neuzeitliches Fernsprechvermittlungssystem mit Halbleitern in den Steuerstromkreisen“. Die Nachteile der bisherigen elektromechanischen Vermittlungssysteme liegen in den verhältnismäßig langen Wählzeiten und dem hohen Wartungsbedarf. Vollelektronische Vermittlungseinrichtungen sind, wenn man einmal von der noch nicht vorhandenen technischen Reife absieht, im Augenblick zu kostspielig. Die zur Zeit technisch und wirtschaftlich optimale Lösung ist der Koordinatenschalter mit Halbleiterbauelementen in den Steuerstromkreisen, wie er unter der Leitung des Vortragenden für Betriebsversuche im Großen bereits mehrfach

realisiert worden ist. Zum Schluß wies der Vortragende darauf hin, daß die Vorteile des neuen Systems hinsichtlich Verkürzung der Wählzeiten und Ausnutzung der Anlagen erst dann recht in Erscheinung treten, wenn man beim Teilnehmer die zu „langsame“ Wählscheibe durch den „schnelleren“ Tastenwählschalter ersetzt.

Anschließend erklärte Herr Ing. Pulvers (IPF Berlin) eingehend die Elementarschaltungen mit Halbleitern, die in den neuen Anlagen der Fernsprechvermittlungstechnik verwendet werden. Neben den „Und“- bzw. „Oder“-Schaltungen mit Dioden sind dies: der Negator, der bistabile, monostabile und astabile Multivibrator. Die Ausführung dieser in der neuen Vermittlungstechnik oft wiederkehrenden Elemente ist in der modernen Form der gedruckten Schaltung zunächst innerbetrieblich genormt. Ebenso haben sich für die Darstellung der Elemente in Blockschaltbildern bestimmte, sinnfällige und einfache Zeichen eingeführt, deren Normreife gemeinsam mit den Rechenmaschinentechnikern, den Regelungstechnikern und den Starkstromtechnikern, die in Verriegelungsschaltungen von Schaltwarten etwa die gleichen Halbleiteranordnungen verwenden, zu prüfen wäre. Herr Ing. Ullrich (ZLF Berlin) berichtete über Betriebserfahrungen mit Halbleiterbau-

elementen in den von den Vorrednern behandelten neuen Schaltungen und Anlagen der Fernsprechvermittlungstechnik. Die Fehlerdefinition wurde in die beiden Gruppen a) Nachlassen der Steuerfähigkeit, b) Anstieg des Reststromes aufgespalten. Während sich bei älteren Versuchsreihen mit einer aus Gründen der Anpassung an bestehende Anlagen gewählten Versorgungsspannung von 60 V noch Ausfälle bis zu 10% ergaben, gingen im gleichen Zeitraum bei der für transistorisierte Anlagen zweckmäßigeren Batteriespannung von 24 V die Ausfälle auf 3,5% zurück.

Im letzten Vortrag des ersten Tages behandelte Herr Dipl.-Ing. Grandke (IPF Berlin) „Halbleiter in vollelektronischen Vermittlungsanlagen“. Kontaktlose Schalter lassen sich sowohl mit Dioden als auch mit Transistoren bauen. Die praktische Realisierung scheitert zur Zeit jedoch noch an den Kosten.

Am zweiten Tage der Tagung behandelte zunächst Herr Dr. Leberwurst (IPF Berlin) „Anwendungen von Halbleiterbauelementen in Schaltungen der Fernmeldetechnik“. Er wies auf die Möglichkeit der Doppelausnutzung der Leitungen zwischen Amt und Teilnehmer für „Wenigsprecher“ hin. Hier ergeben sich mit Hilfe moderner Germanium- und Siliziumdioden neue betriebssichere Lösungsmöglichkeiten. Bei Betriebsversuchen von Geräten mit Transistoren in bestehenden Anlagen können als Übergangslösung auch Transverter (Gleichstrom-Gleichstrom-Umformer) von 60 V auf 24 V zweckmäßig sein. Im Fernmeldebau und -entstörungsdienst hat sich ein mit Halbleiterbauelementen ausgerüsteter Prüfer für die Bestimmung von Isolations- und Schleifenwiderständen bewährt. Zum Schluß diskutierte der Vortragende die mathematischen Grundlagen von Lebensdaueruntersuchungen und wies auf die Notwendigkeit der Schaffung von geeigneten Zeitraffermethoden für diese Zwecke hin.

Dipl.-Ing. Kleiner (WF Berlin) behandelte in dem anschließenden Vortrag die Gesichtspunkte, die beim Entwurf von transistorisierten Tf-Systemen zu beachten sind. Ein langsames Eindringen des Transistors in die Übertragungstechnik, wie man es zur Zeit z. B. in der Elatechnik oder der Tonfilmtechnik beobachtet (Teiltransistorisierung), erscheint unzweckmäßig, weil bei den derzeitigen Röhrenanlagen trotz ihres großen Volumens Geräteinnentemperaturen bis zu 80 °C vorkommen können, die nicht nur die Funktion, sondern auch die Lebensdauer von Halbleiterbauelementen ungünstig beeinflussen würden. Bewährt hat sich allerdings schon der Einsatz von Germaniumdioden anstelle von CuO-Richtleitern in Ringmodulatoren. Bei den bereits bestehenden Tf-Systemen ergibt sich dadurch ein Leistungsgewinn von etwa 33%. Beim Übergang zu wesentlich höheren Frequenzen in modernen Vielkanalsystemen muß auch die Tf-Technik besondere Anforderungen hinsichtlich geringerer Sperrträgheit der Dioden stellen. Günstigere Aspekte als für die Transistorisierung der Endstelleneinrichtungen ergeben sich für den Einsatz von Transistoren in den Verstärkern der Leitungseinrichtungen. Hierbei erscheint es zweckmäßig, den Verstärkerabstand kleiner zu wählen als bei Röhrenverstärkern, weil bei Transistoren zur Zeit aus physikalischen Gründen hohe Leistung und hohe Grenzfrequenz zwei schwer miteinander zu vereinbarende Dinge sind. Die

neue Tf-Technik muß außerdem von den Transistoren eine Lebensdauer fordern, die 4 bis 5 mal größer ist als die von Langlebensdauer-Röhren. Unter diesen Voraussetzungen ist es dann möglich, auf bemannte Verstärkerämter und die dazugehörigen Hochbauten zu verzichten. Man wird die Verstärkersätze vielmehr in Schächten von etwa 0,5 cm³ Rauminhalt unterbringen können. Eine Gleichstromfernspeisung auf Entfernungen bis zu 300 km erscheint möglich.

Dipl.-Ing. Krause (WF Berlin) sprach anschließend über schaltungstechnische Probleme von speziellen Tf-Breitbandverstärkern. Die hohen Anforderungen dieser Technik hinsichtlich der Intermodulationsverzerrungen zwingen bei den Endstufen zur Anwendung des Eintakt-A-Betriebes. Gegentakt-B, AB- und auch A-Endstufen sind nicht verwendbar. Wie bei Breitbandröhrenverstärkern erweist sich auch hier eine Staffellung der Grenzfrequenzen der einzelnen Stufen als notwendig. Während jedoch bei Röhrenverstärkern diese durch die weitgehend beherrschbaren Schaltungsdaten gegeben sind, muß man bei transistorisierten Verstärkern die Grenzfrequenzen der Transistoren selbst entsprechend staffeln. Aus diesen Gründen ist es zweckmäßig, bei der ersten Stufe eines Tf-Verstärkers mit Spannungssteuerung zu arbeiten, so daß die gegenüber f_g höhere Steilheitsgrenzfrequenz f_s ins Spiel kommt.

Im anschließenden Vortrag sprach dann Herr Ing. Bilke (Fernmeldewerk Leipzig) über die erhöhten Anforderungen, die an Halbleiterbauelemente für die Weitverkehrstechnik zu stellen sind. Es müssen für 1000 Betriebsstunden Ausfallraten von 10^{-6} bis 10^{-8} gefordert werden, wobei mit Geräteinnentemperaturen von +5 °C bis +55 °C zu rechnen ist. „Einbauen und vergessen!“ müsse vom Standpunkt der Weitverkehrstechnik gesehen mehr und mehr zur Devise der gesamten Bauelementeindustrie werden. Der Vortragende machte alsdann in Anlehnung an IEC 68-2 Vorschläge für die Prüfung von Transistoren, die in der Weitverkehrstechnik verwendet werden. Auf Grund seines — übrigens auch in publizistisch vorbildlicher Form vorgetragenen — Referates veranlaßte Herr Prof. Dr. Falter, daß diese Dinge auf einer innerbetrieblichen Konferenz im Institut für Halbleitertechnik eingehend diskutiert werden.

Im letzten Vortrag der Tagung sprach Herr Dipl.-Ing. Trnka (IPF Berlin) über Halbleiterbauelemente in Stromversorgungsanlagen der Fernmeldetechnik. Auch hier stehen die Forderungen nach hoher Lebensdauer und Konstanz im Vordergrund. Benötigt werden: Silizium- und Germaniumgleichrichter, steuerbare Gleichrichter, Zenerdioden, Schalt- und Leistungstransistoren sowie, was weniger bekannt ist, Gleichstromventile und Gegenzellen. Gegenzellen sind Gleichrichter, die nur in Durchlaßrichtung beansprucht werden. Sie überbrücken mit ihrer Schwellenspannung die Differenz zwischen der Lade- und Entladungsspannung von Sammlern.

Die gelungene Fachtagung fand ihren Abschluß mit der Annahme einer Entschließung, deren Wortlaut — ebenso wie teilweise die Vorträge selbst — in den Zeitschriften „Nachrichtentechnik“ und „Der Fernmeldepraktiker“ (VEB Verlag Technik) veröffentlicht werden wird.

Botthe

Dr. V. Fetzer

Einschwingvorgänge in der Nachrichtentechnik

Eine Einführung in ihre praktische Behandlung
Gemeinschaftsauflage zwischen dem VEB Verlag Technik und dem Porta-Verlag, München
356 Seiten, 187 Bilder, zahlr. Tafeln, DIN B 5, Ganzleiderin 34,— DM

In Breitbandverstärkern der Impulstechnik mit einem Durchlaßbereich von Null bis zu einigen MHz und allgemein in allen Systemen zur Übertragung von Impulsen spielen Einschwingvorgänge eine äußerst wichtige Rolle, da sie in starkem Maße die Übertragungsgüte beeinflussen und zu Verzerrungen führen. Andererseits ist die Lösung der hierbei auftretenden Probleme ziemlich kompliziert und erfordert die Beherrschung eines umfangreichen mathematischen Apparates. Um so begrüßenswerter ist es daher, daß hier der Versuch unternommen wird, dieses schwierige Wissensgebiet unter Verzicht auf strenge mathematische Ableitungen in eine für den Praktiker sinnvolle Form zu kleiden.

Vom Standpunkt der Systemtheorie behandelt dieses Werk mit ausführlichen Beispielen aus der drahtlosen und drahtgebundenen Nachrichtentechnik den gesamten Fragenkomplex: Frequenzspektrum, Übertragungsmaß, dessen Berechnung aus Sende- und Empfangsfunktion, lineare Übertragungsverzerrungen, Entzerrer usw. Ein wichtiges mathematisches Hilfsmittel stellt dabei die Laplace-Transformation dar, die bisher noch von vielen Ingenieuren in ihrer Bedeutung unterschätzt wurde. Der Verfasser hat sich daher besonders die Aufgabe gestellt, die Anwendung der modernen Methoden, die sich der Laplace-Transformation bedienen, zu erläutern.

Im Anhang sind Berechnungsformeln und umfangreiches numerisches Zahlenmaterial für praktische Berechnungen enthalten. Etwa 200 Literaturstellen geben Anregungen für weitere Studien.

Aus dem Inhalt

Darstellung periodischer Funktionen durch das Spektrum, Fouriersches Integral und Laplace-Transformation, Zeitfunktion und Frequenzspektrum, Frequenzspektrum und Übertragungsmaß, Entwicklungssätze zur Umkehrung der Laplace-Transformation. Beispiele für die Berechnung des Einschwingvorganges aus der Sendefunktion und dem Übertragungsmaß, Berechnung des Übertragungsmaßes bei gegebener Sende- und Empfangsfunktion. Lineare Übertragungsverzerrungen und Entzerrer, Bestimmung des Übertragungswinkels nach Bode, Bestimmung der Übertragungsverzerrung für ein beliebiges lineares Tiefpaßsystem, Empfangsspektrum und Empfangsfunktion, Anwendung des Verfahrens, Gradisches Verfahren zur Ermittlung des Einschwingvorganges, Berechnungsformeln und Tafeln.

VEB VERLAG TECHNIK BERLIN

**Keine
Kontaktschwierigkeiten
mehr!**

Unabhängig von Importlieferungen
seit 10 Jahren

**Spezial-
Wellenschalteröl »d«**

Rundfunk-Spezialist

Friedrich Granowski

Rudolstadt 2 / Thüringen

Für die Radar-Technik

A. P. Siwers

Funkmeßempfänger

Entwurf und Berechnung

Aus dem Russischen

Übersetzung und Deutsche Redaktion: Dr. W. Rohde, Berlin

17,6 x 25,0 cm, 308 S., zahlr. Abb.,

Kunstleder 30,— DM

Funkmeß-(Radar-)anlagen sind heute für jeden modernen Staat von großer Bedeutung. In der Zivil- wie in der Militärluftfahrt dienen sie der Flugplatzüberwachung und Flugstreckensicherung sowie der Landesgrenzenüberwachung. In der Hochsee, wie in der Binnenschifffahrt bieten sie Schutz vor Zusammenstößen. Die Wissenschaft wiederum braucht sie für die Meteorologie und die Radioastronomie.

In Siwers Werk nun werden nach dem Aufbau des Gesamtempfängers die Höchsthäufigkeitsbauteile für Meter-, Dezimeter- und Zentimeterwellen behandelt. Weitere Kapitel sind dem ZF-Verstärker, ZF-Gleichrichter und Videoverstärker sowie den Fragen der automatischen Frequenznachstimmung gewidmet. Die gebrachten theoretischen Grundlagen werden durch viele konstruktive Hinweise und zahlreiche, der Praxis entnommene Berechnungsbeispiele ergänzt, so daß das Werk auch großes Interesse für den UKW- und Fernsehempfängerbau gewinnt.

Nur durch den Buchhandel erhältlich.



VEB VERLAG TECHNIK · BERLIN



Wir
fertigen

**Kondensator-
Mikrofone**

Mikrofon-Kapseln
in Studioqualität

Mikrofon-Zubehör

und

Steckverbindungen
in 5- und 6poliger
Ausführung

Verkauf
nur über den Fachhandel

GEORG NEUMANN & CO
ELEKTROTECHNISCHES LABORATORIUM
Kommandit-Gesellschaft
GEFELL I.V. · RUF 185

Wir suchen

Röhren SR 291

Angebote mit Preis an:
Elektra KG, Schalkau/Thür.
Torleite 2

Achtung! Werkstätten!

Haben Sie überzählige
Meßgeräte, evtl. reparaturbedürftig?
Suche sofort oder später
Meß- und Prüfgeräte
jeder Art für Rundfunk-
und Fernsehreparaturen.
Angebote unter Nr. 5104 an
DEWAG Zwickau.

Junger

Fernsehmechaniker,
ungekündigt, selbständig
arbeitend, sucht neuen Wirkungskreis mit guten Entwicklungsmöglichkeiten.
Wohnung erwünscht.

Angebote unter Ro 989 an
Dewag-Werbung Berlin N 54

Prüf-Fix



das ideale Kontaktprüfgerät
Lieferung über den Fachhandel
PGH „ENERGIE“, Torgau

**Auch Kleinanzeigen
finden
stärkste Beachtung!**

Spulensätze
für Rundfunkempfänger
UKW, Kurzwelle, Mittelwelle, Langwelle
Komplett verdrahtet, mit Dreh- und Tastenschaltern

GUSTAV NEUMANN KG
SPEZIALFABRIK FÜR SPULEN, TRANSFORMATOREN,
DRAHTWIDERSTÄNDE · CREUZBURG/WERRA THÜR.

Für Funk- und Fernsehleute!

S. S. Arschinow

Frequenzkonstanz von Röhrengeneratoren

Aus dem Russischen

Format DIN A 5, 260 Seiten, 77 Abbildungen, 12 Tafeln, Kunstleder 22,— DM

Die Frequenzkonstanz kommerzieller Senderanlagen ist bekanntlich ein ziemlich schwieriges Problem, wenn der Sender stetig abstimmbar sein soll. Das vorliegende Werk erläutert daher in ausführlicher Weise alle bei der Dimensionierung von Oszillatoren durch Temperatureinflüsse auftretenden Probleme. Nach einer umfassenden Behandlung der infolge Temperaturänderung auftretenden Schwankungen in den technischen Werten der Bauelemente geht der Verfasser theoretisch und praktisch auf die Kompensationsmethoden ein. Die hierbei abgeleiteten zahlreichen Berechnungsformeln sind in einem besonderen Kapitel nochmals übersichtlich zusammengefaßt. Dazu wird der behandelte Stoff noch durch viele Beispiele ergänzt.

Die gründliche Darstellung aller Probleme wird nicht nur durch das Einarbeiten in den bei der Bemessung hochkonstanter Oszillatoren bestehenden Fragenkomplex erleichtert, sondern auch bei der Entwicklung und Konstruktion von Sendern eine wertvolle Hilfe sein.

Ingenieure und Techniker der Hochfrequenztechnik sowie Studierende an Hoch- und Fachschulen werden dieses Buch als guten Helfer bei Arbeit und Studium bald schätzen lernen.

W. L. Kreizer

Videoverstärker

Übersetzung aus dem Russischen

Format 17,6 × 25,0 cm, 322 Seiten, 264 Abbildungen, 4 Tafeln, Kunstleder 28,— DM

Wenngleich das Buch nach seinem Titel den Eindruck eines Fernseh-Spezialbuches macht, so geht der Inhalt und die Behandlung des Stoffes weit über den Rahmen eines speziellen Fachbuches über Fernsehprobleme hinaus. Die an einen Videoverstärker zu stellenden Grundforderungen sind bekanntlich amplituden- und phasengetreue Verstärkung über den ganzen Frequenzbereich und eine bestimmte Form der Aussteuerungskennlinie zur originalgetreuen Gradationsübertragung. Diese Anforderungen rechnerisch und praktisch verwirklichen zu helfen, hat sich Kreizer, einer der wesentlichsten Fernsehspezialisten der Sowjetunion, zur Aufgabe gemacht. Im Buch behandelt er daher eingehend die Eigenschaften, Theorie und Anwendung des RC-Breitbandverstärkers für das Gebiet der Impulstechnik. Die hier für die eigentlichen Videoverstärker gewonnenen Erkenntnisse gelten ebenso für alle anderen Breitbandverstärker, bei denen es auf Verstärkung und formgetreue Nachbildung eines vorgegebenen Signals ankommt.

Die Fachpresse urteilt:

... Es erreicht dadurch die vorteilhafte Mischung zwischen der abstrakten Theorie und ihrer praktischen Anwendung, die vielen sowjetischen Lehr- und Fachbüchern eigen ist. Das Buch ist daher eine wertvolle Hilfe sowohl für den Studierenden, als auch für den ausgebildeten Ingenieur.

„Die Technik“ — Berlin

... es darf hervorgehoben werden, daß der Verfasser m. W. erstmalig an die Berechnung von Stromkreisen herangeht, bei denen Schaltelemente durch elektronische Schalter, wie z. B. Dioden, während des Impulses kurzzeitig umgeschaltet werden.

„Deutsche Literaturzeitung“

Herausgegeben im Auftrage der Akademien der Wissenschaften zu Berlin, Göttingen, Heidelberg, Leipzig, München, Wien

... daß Ingenieure und Techniker der Fernstechnik sich dieses Buch anschaffen sollten, weil es ausgezeichnet geeignet ist, speziell über bestimmte Probleme der Videoverstärker zu unterrichten.

„Nachrichtentechnik“ — Berlin

Nur durch Buchhandlungen erhältlich!



VEB VERLAG TECHNIK · BERLIN